FACHBEREICH PHYSIK
BERGISCHE UNIVERSITAT
GESAMTHOCHSCHULE WUPPERTAL

arXiv:hep-ph/0002301v1 29 Feb 2000

# Nukleonenzerfall und Neutrinoeigenschaften in einem Massenmodell auf der Grundlage einer SO(10)-Grand Unified-Theorie

Dissertation zur Erlangung des Doktorgrades der Naturwissenschaften
am Fachbereich Physik der Bergischen Universitat
Gesamthochschule Wuppertal

vorgelegt von
Carsten Merten

WUB-DIS 99-14
Dezember 1999

FACHBEREICH PHYSIK
BERGISCHE UNIVERSITÄT
GESAMTHOCHSCHULE WUPPERTAL

# Nukleonenzerfall und Neutrinoeigenschaften in einem Massenmodell auf der Grundlage einer SO(10)-Grand Unified-Theorie

Dissertation zur Erlangung des Doktorgrades der Naturwissenschaften
am Fachbereich Physik der Bergischen Universität
Gesamthochschule Wuppertal

vorgelegt von
Carsten Merten

WUB-DIS 99-14
Dezember 1999

Wo Du das Nichts erblickst, ist eine Kraft,
Verborgen, unerreichbar allem Bosen,
Die aus sich selbst { sich und die Welt erscha t.
Und die vermag's, das Ratsel aufzulosen.

Michael Ende, Das Gauklermarchen

# Abstract

The Standard Model (SM) of elementary particle physics is a very successful theory. Its predictions have been tested experimentally to a high level of accuracy. However, the SM is not considered to be a fundamental theory of nature. It contains a lot of arbitrary parameters especially in the fermionic sector and it cannot give small neutrino masses which are indicated by recent experiments like Super-Kamiokande.

Grand Unified Theories (GUTs) can solve several weaknesses of the SM. They unify the SM interactions and lead to relations between the quark and lepton mass matrices, thus reducing the arbitrariness in the fermionic sector. Furthermore, GUT models with an intermediate symmetry breaking scale are able to produce small neutrino masses by means of the see-saw mechanism. All GUTs include baryon and lepton number violating interactions which mediate proton and bound neutron decay.

In this work a mass model based on a SO(10) GUT with a global U(1) family symmetry is discussed which leads to an asymmetric Nearest Neighbour Interaction structure for the fermionic mass matrices. As a result of the analysis one gets three solutions of the model which include several large left- and right-handed fermion mixings. Those mixings are not observable in the SM where only the CKM quark mixing matrix can be measured, but they have testable effects on the branching ratios of nucleon decays in theories beyond the SM. One finds that decay channels with $e^+$ in the final state are suppressed while channels with $^+$ and $^c$ are enhanced compared to models with small mixings. The total nucleon lifetimes obtained should be observable by future experiments. The SO(10) model also predicts the masses and mixings of the light neutrinos. They are in the right range to explain the anomalies of solar and atmospheric neutrinos by means of oscillations, preferring the small angle MSW solution for the solar neutrino deficit.

# Inhaltsverzeichnis


Einleitung 7

1 Das Standardmodell 11
- 1.1 Grundkonzepte des Standardmodells . . . 11
- 1.2 Renormierung und laufende Kopplungen . . . 13
- 1.3 Symmetriebrechung und Massenerzeugung . . . 14
- 1.4 Grenzen des Standardmodells . . . 18

2 Grand Unified-Theorien 21
- 2.1 Grundidee und allgemeine Eigenschaften . . . 21
- 2.2 SU(5) . . . 24
  - 2.2.1 Konstruktion und Teilcheninhalt . . . 24
  - 2.2.2 Protonzerfall . . . 25
  - 2.2.3 Symmetriebrechung und Fermionmassen . . . 27
  - 2.2.4 Das Hierarchieproblem . . . 27
  - 2.2.5 Zusammenfassung . . . 28
- 2.3 SO(10) . . . 29
  - 2.3.1 Spinordarstellungen der SO(n)-Gruppen . . . 29
  - 2.3.2 Teilcheninhalt und Symmetriebrechung . . . 30
  - 2.3.3 Fermionmassen . . . 33
  - 2.3.4 See-Saw-Mechanismus . . . 35
  - 2.3.5 Zusammenfassung . . . 37
- 2.4 $E_6$ . . . 38
- 2.5 Probleme und Grenzen von GUTs . . . 39

3 Neutrino-Oszillationen 41
- 3.1 Theoretische Grundlagen . . . 41
  - 3.1.1 Vakuumoszillationen . . . 41
  - 3.1.2 Oszillationen in Materie . . . 43
- 3.2 Experimentelle Situation . . . 44
  - 3.2.1 Sonnen-Neutrinos . . . 44
  - 3.2.2 Atmosphärische Neutrinos . . . 46

3.2.3 LSND und KARMEN . . . . . 48
3.2.4 Analyse für drei Neutrino-Arten . . . . . 48

4 Das SO(10)-Massenmodell 51
4.1 Bestimmung der Symmetriebrechungsskalen . . . . . 51
4.1.1 $SU(4)_C$ $SU(2)_L$ $SU(2)_R$-Modell . . . . . 52
4.1.2 $SU(4)_C$ $SU(2)_L$ $SU(2)_R$ D-Modell . . . . . 54
4.2 Schwellenkorrekturen . . . . . 55
4.3 Der Ansatz für die Massenmatrizen . . . . . 57
4.4 Numerische Lösung des Massenmodells . . . . . 63
4.5 Eigenschaften der leichten Neutrinos . . . . . 71
4.6 Baryonasymmetrie durch Neutrinozerfälle . . . . . 73

5 Zerfallsraten der Nukleonen 77
5.1 Die effektive Lagrangedichte . . . . . 77
5.2 Hadronische Übergangsmatrixelemente . . . . . 78
5.3 Berechnung der Zerfallsraten . . . . . 81
5.4 Experimenteller Status . . . . . 84

Zusammenfassung und Ausblick 87

A Gruppentheoretischer Anhang 91
A.1 Casimir-Operator und Dynkin-Index . . . . . 91
A.2 Verzweigungsregeln für SO(10)-Darstellungen . . . . . 92
A.3 Verzweigungsregeln für SU(4)-Darstellungen . . . . . 92
A.4 Schwellenkorrektur-Koeffizienten . . . . . 93

B Renormierungsgruppengleichungen 95
B.1 Standardmodell . . . . . 95
B.1.1 Renormierungsgruppengleichungen für die Eichkopplungen . . . . . 96
B.1.2 Renormierungsgruppengleichungen für die Yukawa-Matrizen . . . . . 96
B.1.3 Renormierungsgruppengleichung für die Higgs-Selbstkopplung . . . . 97
B.1.4 Renormierungsgruppengleichung für die See-Saw-Massenmatrix . . . 97
B.2 $SU(4)_C$ $SU(2)_L$ $SU(2)_R$ D-Modell . . . . . 97

C Symmetriebrechungsskalen und Eichkopplungen 99
C.1 $SU(4)_C$ $SU(2)_L$ $SU(2)_R$ D-Modell . . . . . 99
C.2 $SU(4)_C$ $SU(2)_L$ $SU(2)_R$-Modell . . . . . 99

D Eigenschaften der untersuchten Lösungen 102
D.1 Massenmatrizen, Massen und Mischungswinkel bei $M_I$ . . . . . 102
D.2 SO(10)-Higgs-Parameter bei $M_I$ . . . . . 105

D.3 Massenmatrizen, Massen und Mischungswinkel bei $M_z$ . . . . . 105
D.4 CKM-Matrix und leptonische Mischungsmatrix bei $M_z$ . . . . . 108

E Berechnung der Nukleonzerfallsraten 109
E.1 $A_i$-Koeffizienten . . . . . 109
E.2 Meson-Wellenfunktionen . . . . . 111
E.3 Phasenraumfaktoren . . . . . 112
E.4 Ubergangsamplituden . . . . . 112
E.5 Experimentelle Grenzen fur die Nukleonzerfallsraten . . . . . 114
E.6 Zerfallsraten der Nukleonen . . . . . 114

Literaturverzeichnis 118

Schlu wort 125

# Tabellenverzeichnis


1.1 Fermioninhalt des Standardmodells . . . . . 12
1.2 Eichbosonen des Standardmodells . . . . . 13
1.3 Werte für $M_Z$, $M_W$ und $\sin^2{}_W(M_Z)$ . . . . . 16
1.4 Werte für ${}_3(M_Z)$ und ${}_{em}(M_Z)$ . . . . . 16
1.5 Werte für ${}_1(M_Z)$ und ${}_2(M_Z)$ . . . . . 16
1.6 Fermionmassen bei $M_Z$ . . . . . 17

2.1 Klassifikation und Eigenschaften einfacher Lie-Algebren . . . . . 23
2.2 Intermediare Symmetriegruppen in SO(10)-GUTs . . . . . 31
2.3 Higgs-Kopplungen und Vakuumerwartungswerte in SO(10)-GUTs . . . . . 34

3.1 Sonnen-Neutrino-Experimente und deren Resultate . . . . . 44
3.2 Resultate von Kamiokande und Super-Kamiokande . . . . . 46
3.3 Neutrino-Anomalien und erlaubte $m^2$-Bereiche . . . . . 50

4.1 Fermionmassen bei $M_I$ . . . . . 63
4.2 Werte von $\tilde{y}_1=y_1$ und $z_2 \tilde{u}^{(2)}_u$ für die drei Beispiellösungen . . . . . 68
4.3 Massen und Mischungswinkel der leichten Neutrinos bei $M_Z$ . . . . . 71
4.4 Werte von $y_1 M_R$ und daraus resultierende Neutrinomassen . . . . . 72

5.1 Spinor-Amplituden der hadronischen Matrixelemente . . . . . 81
5.2 Verhältnisse ausgewählter partieller Nukleonzerfallsraten . . . . . 83
5.3 Aktuelle Resultate von Super-Kamiokande für die unteren Grenzen der Nukleonlebensdauern . . . . . 84

A.1 Dynkin-Indizes und Eigenwerte des quadratischen Casimir-Operators ausgewählter irreduzibler Darstellungen . . . . . 92
A.2 Koeffizienten für Schwellenkorrekturen durch Higgs-Teilchen bei $M_U$ . . . . 93
A.3 Koeffizienten für Schwellenkorrekturen durch Higgs-Teilchen bei $M_I$ . . . . 94

C.1 Verwendete Startwerte für $M_Z$ und die Eichkopplungen bei $= M_Z$ . . . . 99
C.2 Werte für $M_I$ und die Eichkopplungen bei $= M_I$ im $G_{PS}$ D-Modell . . . 99
C.3 $M_U$ und ${}_U(M_U)$ im $G_{PS}$ D-Modell . . . . . 100
C.4 Symmetriebrechungsskalen und Eichkopplungen im $G_{PS}$-Modell . . . . . 101

D.1 Massenmatrixelemente, Massen und Mischungswinkel der geladenen Fermionen bei $M_I$ . . . . . 103
D.2 Dirac-, Majorana- und See-Saw-Massenmatrixelemente sowie Massen und Mischungswinkel der leichten Neutrinos bei $M_I$ . . . . . 104
D.3 SO(10)-Higgs-Parameter bei $M_I$ . . . . . 105
D.4 Massenmatrixelemente, Massen und Mischungswinkel der geladenen Fermionen und der leichten Neutrinos bei $M_Z$ . . . . . 107

E.1 Wellenfunktionen der pseudoskalaren Mesonen . . . . . 111
E.2 Wellenfunktionen der Vektormesonen . . . . . 112
E.3 Phasenraumfaktoren für Proton- und Neutronzerfälle . . . . . 113
E.4 Übergangsamplituden für die Elementarprozesse der Nukleonenzerfälle . . 114
E.5 Übergangswahrscheinlichkeiten für Zerfallsprozesse der Nukleonen mit physikalischen Endzuständen . . . . . 115
E.6 Experimentelle Grenzen für die Lebensdauern $1=\ _i$ der Nukleonen . . . . . 115
E.7 Partielle Zerfallsraten $\ _i=$ des Protons . . . . . 116
E.8 Totale Zerfallsraten und Lebensdauern des Protons . . . . . 116
E.9 Partielle Zerfallsraten $\ _i=$ des Neutrons . . . . . 117
E.10 Totale Zerfallsraten und Lebensdauern des Neutrons . . . . . 117

# Abbildungsverzeichnis

2.1 Skalenabhangigkeit der inversen Eichkopplungen des Standardmodells . . . 22
2.2 Baryonzahlverletzende Vertizes der X– und Y–Bosonen . . . . . . . . . . . 26
2.3 Beispiele fur zum Protonzerfall beitragende Feynmandiagramme . . . . . . 26
2.4 Zum Hierarchieproblem beitragende Strahlungskorrektur . . . . . . . . . . 28
2.5 Baryonzahlverletzende Vertizes der $X^0$– und $Y^0$–Bosonen . . . . . . . . . . . 32

3.1 Anomalie der Sonnen-Neutrinos und mogliche Losungen . . . . . . . . . . . 45
3.2 Anomalie der atmospharischen Neutrinos und mogliche Losungen . . . . . . 47
3.3 Resultate der Beschleunigerexperimente LSND und KARMEN . . . . . . . 49

4.1 MSW–Losung 1 (gro e Mischung) im $\tilde{y}_1 = y_1 - z_2 \cdot \lambda_u^{(2)}$–Parameterraum . . . . . 68
4.2 MSW–Losung 2a (kleine Mischung) im $\tilde{y}_1 = y_1 - z_2 \cdot \lambda_u^{(2)}$–Parameterraum . . . . 69
4.3 MSW–Losung 2b (kleine Mischung) im $\tilde{y}_1 = y_1 - z_2 \cdot \lambda_u^{(2)}$–Parameterraum . . . . 69

# Einleitung

Das Standardmodell der Elementarteilchenphysik ist eine äußerst erfolgreiche Theorie. Es beschreibt auf konsistente Weise die starke, schwache und elektromagnetische Wechselwirkung, und seine Vorhersagen sind experimentell mit großer Genauigkeit bestätigt worden. Nach der Entdeckung des top-Quarks steht lediglich der Nachweis des Higgs-Bosons, dessen Existenz von der Theorie gefordert wird, noch aus.

Es gibt jedoch verschiedene Anhaltspunkte, die darauf hindeuten, daß das Standardmodell keine wirklich fundamentale Theorie darstellt, sondern vielmehr als effektive Niederenergie-Näherung einer solchen den heute experimentell zugänglichen Energiebereich beschreibt. So sind die Neutrinos im Rahmen des Standardmodells masselose Teilchen, während die Evidenz für nichtverschwindende Neutrinomassen durch Experimente wie Super-Kamiokande in den letzten Jahren deutlich zugenommen hat. Auch die beobachtete Baryonasymmetrie des Universums läßt sich nicht befriedigend erklären.

Eine weitere formale Schwäche des Standardmodells besteht in der großen Zahl freier Parameter, welche durch die Theorie nicht festgelegt sind, sondern an experimentelle Ergebnisse angepaßt werden müssen. Es gibt 18 solcher Parameter, von denen allein 13 im Fermionsektor liegen; dies sind die Fermionmassen und die Quarkmischungen. Abgesehen davon liefert das Standardmodell keine wirkliche Vereinheitlichung der drei Wechselwirkungen, da die zugehörigen Kopplungskonstanten völlig unabhängig voneinander sind.

Um diese Schwachpunkte zumindest teilweise beseitigen zu können, ist eine Reihe von Versuchen gemacht worden, das Standardmodell in eine umfassendere Theorie einzubetten. Viele von ihnen liefern jedoch kaum Vorhersagen, welche in naher Zukunft experimentell verifiziert werden können. Einen in dieser Hinsicht vielversprechenden Ansatz liefern die sogenannten Grand Unified-Theorien, deren Grundidee darin besteht, die drei Kräfte des Standardmodells in einer einzigen Wechselwirkung zu vereinheitlichen. Formal geschieht das durch die Konstruktion einer Eichtheorie mit einfacher Symmetriegruppe, welche die Standardmodell-Symmetriegruppe als Untergruppe enthält. Motivation hierfür ist in erster Linie die Tatsache, daß die skalenabhängigen Kopplungen des Standardmodells sich bei sehr großen Energien von $10^{14}$ – $10^{15}$ GeV näherungsweise in einem Punkt treffen. Mittels spontaner Symmetriebrechung erhält man aus der Grand Unified-Theorie als effektive Näherung bei niedrigen Energien wieder das Standardmodell.

Die wohl bemerkenswerteste Vorhersage von Grand Unified-Theorien besteht in der Instabilität des Protons und des gebundenen Neutrons aufgrund von baryon- und leptonzahlverletzenden Wechselwirkungen. Einerseits sind Zerfälle von Nukleonen bisher nicht beobachtet worden, andererseits ist die relevante Wechselwirkung in Grand Unified-Theorien wegen der großen Masse der zugehörigen Eichbosonen bei niedrigen Energien auch überaus schwach. Die einfachste der Grand Unified-Theorien, welche auf der Gruppe SU(5) beruht, ist experimentell ausgeschlossen worden, da sie unter anderem zu kurze Lebensdauern für die Nukleonen liefert. Modelle auf der Grundlage der SO(10) wie das hier untersuchte besitzen diesen Mangel nicht.

Da sich die laufenden Standardmodell-Kopplungen nicht exakt in einem Punkt treffen, ist eine direkte Vereinheitlichung der drei Wechselwirkungen nicht möglich; es muß eine zusätzliche intermediäre Symmetrie vorhanden sein. Die Skala, bei welcher diese Symmetrie in das Standardmodell gebrochen wird, liegt üblicherweise im Bereich $10^{10}$ – $10^{12}$ GeV und hat somit die richtige Größenordnung, damit über den See-Saw-Mechanismus sehr kleine, aber nichtverschwindende Neutrinomassen erzeugt werden können. Weitere Vorzüge von Grand Unified-Theorien sind Beziehungen zwischen den Massenmatrizen der Quarks und der Leptonen. Infolgedessen können durch Kenntnis der Massenmatrizen der geladenen Fermionen Vorhersagen für die Neutrinomassen und -mischungen gewonnen werden. Weiterhin kann im Rahmen von SO(10)-Modellen mit intermediärer Massenskala und schweren Majorana-Neutrinos die Baryonasymmetrie des Universums erklärt werden.

Ein anderer Versuch, den Fermionsektor des Standardmodells besser zu verstehen, besteht in der Untersuchung von phänomenologisch motivierten Ansätzen für die Massenmatrizen der Fermionen. Diese Ansätze zeichnen sich durch Symmetrieanforderungen oder sogenannte Texturen, das heißt Nullen als Matrixeinträge an bestimmten Stellen, aus. Auf die zugrundeliegende Theorie jenseits des Standardmodells, welche den Ansatz realisiert, wird im allgemeinen nicht weiter eingegangen. Damit will man die Zahl der freien Parameter des Standardmodells reduzieren und Beziehungen zwischen Massen und Mischungen erhalten.

Schließlich kann man beide Zugänge kombinieren und Massenmodelle auf der Grundlage von Grand Unified-Theorien konstruieren. Das eröffnet die Möglichkeit, die Vorzüge dieser Theorien gegenüber dem Standardmodell auszunutzen und die Ansätze wegen der gegebenen Beziehungen zwischen den Fermionmassenmatrizen weniger willkürlich zu machen. Ferner haben in solchen Modellen alle Fermionmischungen Einfluß auf zumindest prinzipiell observable Größen wie Nukleonzerfallsraten, während im Standardmodell lediglich eine bestimmte Kombination der linkshändigen Quarkmischungen, die CKM-Matrix, beobachtbar ist. Daraus folgen überprüfbare Konsequenzen, an denen man den Erfolg des Ansatzes messen kann.

Gegenstand dieser Arbeit wird ein Massenmodell im Rahmen einer SO(10)-Theorie sein. Es wird ein asymmetrischer „Nearest Neighbour Interaction"-Ansatz für die Massenmatrizen der Fermionen benutzt, welcher durch eine globale U(1)-Familiensymmetrie realisiert wird. Dieser Ansatz führt auf voneinander unabhängige rechts- und linkshändige Mischungen

und bietet ausdrücklich die Möglichkeit, daß diese betragsmäßig groß sind. In vielen Massenmodellen werden große Mischungen im Bereich der geladenen Fermionen mit dem Hinweis auf die relativ kleinen CKM-Mischungen der Quarks außer Acht gelassen. In der Tat besitzen alle gefundenen Lösungen des untersuchten Modells mehrere große Mischungen, was zu Verzweigungsraten der Nukleonen führt, die sich von denen im Fall verschwindender Mischungen deutlich unterscheiden. Zusätzlich sind die erhaltenen Neutrinoeigenschaften, welche ebenfalls Modellvorhersagen darstellen, in der Lage, die Anomalien der Sonnen- und atmosphärischen Neutrinos durch Oszillationslösungen zu erklären.

In den letzten Jahren hat sich die Forschungstätigkeit hauptsächlich auf supersymmetrische Grand Unified-Theorien, welche spontan in das minimale supersymmetrische Standardmodell gebrochen werden, beschränkt. Wird die Supersymmetrie, eine Symmetrie zwischen Fermionen und Bosonen, bei vergleichsweise niedrigen Energien von $\gtrsim 1$ TeV effektiv gebrochen, so treffen sich die Kopplungskonstanten des supersymmetrische Standardmodells bei etwa $10^{16}$ GeV genau in einem Punkt. Da die Massen der Superpartner dann nicht sehr viel größer als die der gewöhnlichen Teilchen sind, bietet sich die Möglichkeit, das Divergenzverhalten der Theorie zu verbessern und das Hierarchieproblem zu lösen. Allerdings läßt die Abwesenheit von experimentellen Hinweisen auf eine bei kleinen Energien gebrochene Supersymmetrie in der Natur ein solches Szenario zunehmend unwahrscheinlicher erscheinen. Auch eine für die Erzeugung von Neutrinomassen über den See-Saw-Mechanismus erforderliche intermediäre Massenskala läßt sich in supersymmetrischen Grand Unified-Theorien nicht auf natürliche Weise realisieren. Desweiteren sind supersymmetrische Modelle in ihrer Vorhersagekraft durch den Einfluß zahlreicher unbekannter Größen, wie zum Beispiel die Massen der Superpartner, stark eingeschränkt. Deshalb wird hier der Standpunkt vertreten, daß Modelle ohne Supersymmetrie weiter untersucht werden sollten. Dies schließt eine Brechung der Supersymmetrie bei sehr hohen Energien keineswegs aus.

Im ersten Kapitel wird zunächst ein Überblick über die Grundkonzepte und wichtigsten Eigenschaften des Standardmodells gegeben, auch dessen Grenzen werden genauer betrachtet. Kapitel 2 behandelt den Themenkomplex der Grand Unified-Theorien. Nach einer Schilderung der grundlegenden Ideen und der allgemeinen Vorgehensweise bei der Konstruktion solcher Modelle werden die SU(5) als Prototyp der Grand Unified-Theorien und die SO(10) als das dieser Arbeit zugrundeliegende Beispiel ausführlich diskutiert; desweiteren wird auf Vor- und Nachteile der Modelle eingegangen. Gegenstand des dritten Kapitels sind die theoretischen Grundlagen und der experimentelle Status von Neutrino-Oszillationen. Die drei bis heute beobachteten Neutrino-Anomalien und ihre möglichen Oszillationslösungen durch massive Neutrinos werden vorgestellt. Kapitel 4 beginnt mit vorbereitenden Arbeiten wie der Bestimmung der Symmetriebrechungsskalen und Kopplungen. Mittelpunkt des Kapitels ist der Ansatz für das betrachtete SO(10)-Massenmodell und dessen numerische Lösung. Als ein wichtiges Resultat erhält man daraus Voraussagen über die Eigenschaften im Neutrinosektor der Theorie, welche sich als phänomenologisch sinnvoll erweisen. In Kapitel 5 schließlich werden für die analysierten Lösungen die partiellen und totalen Zerfallsraten

der Nukleonen berechnet. Diese stellen eine wesentliche und in absehbarer Zeit experimentell uberprufbare Vorhersage des untersuchten Modells dar.

Ziel und Motivation dieser Untersuchung lassen sich abschließend mit den einleitenden Worten aus [1] sehr treffend zusammenfassen:

„The Standard Model is unlikely to be a fundamental theory; it contains 18 arbitrary parameters, 13 of which are the fermion masses and mixing angles. In a fundamental theory, these should be calculable from a few inputs just as the hydrogen spectral lines follow from Quantum Mechanics. We are very far from such a theory of fermion masses. We would be fortunate to have an analogue of Balmer's formula since it might lead us to the fundamental theory. The framework described here is, at best, an attempt to obtain such a formula.\

# Kapitel 1

# Das Standardmodell

## 1.1 Grundkonzepte des Standardmodells

Das Standardmodell (SM) der Elementarteilchenphysik [2] ist eine renormierbare Eichtheorie, welche die Theorie der starken Wechselwirkung, die Quantenchromodynamik (QCD), und das Glashow-Weinberg-Salam-Modell der elektroschwachen Wechselwirkung zusammenfat. Es basiert auf der Invarianz unter lokalen $SU(3)_C \quad SU(2)_L \quad U(1)_Y$-Eichtransformationen; die Symmetriegruppe $G_{SM}$ ist ein direktes Produkt aus drei Faktoren.

Die QCD [3] beruht auf der Eichgruppe $SU(3)_C$ und beschreibt die Wechselwirkung von Teilchen mit Farbladung, den Quarks und Gluonen. Die Quarks sind die fermionischen Grundbausteine der stark wechselwirkenden Materie und treten in drei verschiedenen Farbzustanden auf. Unter $SU(3)_C$-Transformationen verhalten sie sich wie die Fundamentaldarstellung 3. In der Natur werden allerdings nur farbneutrale Kombinationen von drei Quarks (Baryonen) bzw. Quark und Antiquark (Mesonen) beobachtet; dieses Phanomen wird als Confinement bezeichnet. Die Gluonen sind die mit den acht Generatoren der $SU(3)_C$ verbundenen Vektorbosonen und transformieren sich gema der adjungierten Darstellung. Durch den Austausch von Gluonen wird die starke Wechselwirkung zwischen den Quarks vermittelt.

Die Theorie der elektroschwachen Wechselwirkung [4] besitzt eine $SU(2)_L \quad U(1)_Y$-Eichsymmetrie, die durch den Higgs-Mechanismus spontan in die $U(1)_{em}$ der Quantenelektrodynamik (QED) gebrochen ist. Eine Grundeigenschaft dieses Modells ist die Paritatsverletzung, da das Transformationsverhalten der Fermionen von deren Chiralitat abhangt. Man zerlegt die durch Dirac-Spinoren dargestellten Fermionfelder gema

$$ {}_{L,R} = \frac{1}{2}(1 \quad {}_5) \; ; \quad = \quad {}_L + \quad {}_R \tag{1.1} $$

in ihre links- und rechtshandigen Komponenten, sogenannte Weyl-Spinoren. Die linkshandigen Quarks und Leptonen sind in $SU(2)_L$-Doubletts angeordnet, wahrend die rechtshandigen Fermionen Singuletts bilden und an der schwachen Wechselwirkung nicht teilnehmen. Die elektrische Ladung der Teilchen ergibt sich aus ihrer Hyperladung Y und der Komponente $T_3$ des schwachen Isospins ($T_a = {}_a/2$ mit $a = 1;2;3$ sind die Generatoren der $SU(2)_L$-

Lie-Algebra) aus der Beziehung

$$Q = T_3 + Y \tag{1.2}$$

In Erweiterungen des SM erweist es sich aus gruppentheoretischen Gründen als sinnvoll, statt der rechtshändigen Teilchen die linkhändigen Komponenten der Antiteilchen zu betrachten. Die Antiteilchen erhält man durch die Anwendung der Ladungskonjugation C

$$C \quad C^{1} \quad {}^{C} = C^{T} \quad \text{mit} \quad C = i_{2} \quad {}_{0}; \quad {}^{C}_{L;R} \quad ({}_{R;L})^{C} \tag{1.3}$$

Weiterhin gelten die Identitäten

$${}_{R;L} = C\,({}^{C}_{L;R})^{T} \quad \text{und} \quad {}_{R;L} = ({}^{C}_{L;R})^{T}\,C \tag{1.4}$$

Die Fermionen treten im SM in drei Familien mit jeweils gleichen Quantenzahlen auf. Jede dieser Familien transformiert sich nach der Darstellung

$$(3;2)_{\frac{1}{6}} \quad (3;1)_{\frac{2}{3}} \quad (3;1)_{\frac{1}{3}} \quad (1;2)_{\frac{1}{2}} \quad (1;1)_{1} \tag{1.5}$$

der SM-Symmetriegruppe $G_{SM}$. Der erste Eintrag bezeichnet hierbei die $SU(3)_C$-Darstellung, der zweite die $SU(2)_L$-Darstellung und der Index die $U(1)_Y$-Hyperladungsquantenzahl (die komplex konjugierte Darstellung wird durch einen Querstrich gekennzeichnet). In Tabelle 1.1 ist der fermionische Teilcheninhalt des SM aufgeführt.

| Quarks | $G_{SM}$ | Q | Leptonen | $G_{SM}$ | Q |
|---|---|---|---|---|---|
| $u_L$, $c_L$, $t_L$<br>$d_L$, $s_L$, $b_L$ | $(3;2)_{\frac{1}{6}}$ | $+\frac{2}{3}$<br>$\frac{1}{3}$ | $e_L$, $_L$, $_L$<br>$e_L$, $_L$, $_L$ | $(1;2)_{\frac{1}{2}}$ | 0<br>1 |
| $u_L^C$, $c_L^C$, $t_L^C$ | $(3;1)_{\frac{2}{3}}$ | $\frac{2}{3}$ | | | |
| $d_L^C$, $s_L^C$, $b_L^C$ | $(3;1)_{\frac{1}{3}}$ | $+\frac{1}{3}$ | $e_L^+$, $_L^+$, $_L^+$ | $(1;1)_1$ | +1 |

Tabelle 1.1: Fermioninhalt des Standardmodells

Es ist zu beachten, da im Fermionspektrum des SM keine rechtshändigen Neutrinos vorkommen, da diese sich aufgrund ihrer Farb- und Ladungsneutralität nach der $G_{SM}$-Darstellung $(1;1)_0$ transformieren würden, also an keiner SM-Wechselwirkung teilnahmen. Dies steht im Einklang mit der Tatsache, da rechtshändige Neutrinos und linkshändige Antineutrinos in Experimenten nicht beobachtet werden.

Die Eichbosonen, die als Austauschteilchen die Wechselwirkung vermitteln, transformieren sich stets wie die adjungierte Darstellung der Symmetriegruppe, im Falle des SM also gemäß $(8;1)_0$ $(1;3)_0$ $(1;1)_0$. Die Kopplungsstärken der SM-Eichbosonen an die fermionischen Ströme $j =$ werden mit $g_3$, $g_2$ und $g^0$ bezeichnet. Ferner besitzen Eichbosonen in Modellen mit nichtabelscher Symmetriegruppe auch eine Selbstwechselwirkung. In Erweiterungen des SM durch Grand Unified-Theorien (GUTs) wird statt $g^0$ im allgemeinen mit $g_1 = \sqrt{5/3}\,g^0$ gearbeitet, da $g_1$ die korrekte Normierung besitzt. Die Eigenschaften der SM-Eichbosonen sind in Tabelle 1.2 zusammengefaßt.

| Bezeichnung | $G_{SM}$ | Spin | Kopplung |
|---|---|---|---|
| Gluonen g $[SU(3)_C]$ | $(8;1)_0$ | 1 | $g_3$ |
| W-Bosonen $[SU(2)_L]$ | $(1;3)_0$ | 1 | $g_2$ |
| B-Boson $[U(1)_Y]$ | $(1;1)_0$ | 1 | $g' = \sqrt{3/5}\, g_1$ |

Tabelle 1.2: Eichbosonen des Standardmodells

## 1.2 Renormierung und laufende Kopplungen

Ein wichtiges Kriterium für die formale Konsistenz einer Eichtheorie ist ihre Renormierbarkeit. Dies bedeutet, daß bei der Berechnung von physikalischen Prozessen in höheren Ordnungen der Störungstheorie nur endlich viele qualitativ verschiedene Divergenzen auftreten. Diese können dann durch eine Redefinition der Modellparameter wie Kopplungen und Massen absorbiert werden [5].

Die Unendlichkeiten treten in Form von divergenten Impulsintegralen auf. Durch Anwendung eines Regularisierungsverfahrens werden die Integrale durch Ausdrücke ersetzt, die von einem neuen Parameter, dem Regularisierungsparameter, abhängen, und für einen bestimmten Wert desselben wieder die ursprüngliche Gestalt annehmen. Bei der dimensionalen Regularisierung zum Beispiel werden die Integrale statt in vier in $D = 4 - 2\varepsilon$ Impulsraumdimensionen gelöst; die Divergenzen gehen dann in Terme $\sim 1/\varepsilon$ über. Im anschließenden Renormierungsprozeß werden die divergenten Parameter $G_0$ in der Lagrangedichte durch Einführung von Renormierungskonstanten $Z$, welche die $1/\varepsilon$-Terme aufnehmen, in die endlichen renormierten Größen $G_R$ umgewandelt: $G_0 \to Z\, G_R$.

Im Rahmen der Regularisierung wird aus formalen Gründen zwangsläufig eine freie Massenskala $\mu$ in die Theorie eingeführt. Sowohl die Renormierungskonstanten als auch die renormierten Größen hängen von dieser Skala ab; man spricht von laufenden Größen. Die funktionalen Zusammenhänge, welche die Skalenabhängigkeit der renormierten Größen beschreiben, werden als Renormierungsgruppengleichungen bezeichnet [6]. Sie sind immer dann von Bedeutung, wenn physikalische Größen bei verschiedenen Massen- bzw. Energieskalen miteinander verglichen werden. Die in dieser Arbeit verwendeten Renormierungsgruppengleichungen sind in Anhang B angegeben. Die Energieabhängigkeit observabler Größen ist experimentell bestätigt; so hat die Kopplungsstärke $_{em} = e^2/4$ der QED bei $\to 0$ den Betrag 1/137, bei $M_Z$ ist sie etwa 1/129 größ [7].

Die Renormierbarkeit einer Eichtheorie kann durch das Auftreten von Anomalien zerstört werden. Anomalien sind Symmetrien der klassischen Lagrangedichte, die durch den Prozeß der Quantisierung gebrochen werden [8]. In Modellen mit chiralen Fermionen äußert sich dies durch das Auftreten von linear divergenten Strahlungskorrekturen in Form von fermionischen Dreiecksdiagrammen mit einer ungeraden Anzahl axialer Vertizes $_5$. Die Divergenzen verletzen die Slavnov-Taylor-Identitäten, deren Gültigkeit für die vollständige Renormierung der Theorie in allen Ordnungen der Störungsrechnung benötigt

wird. Diese Beitrage sind im wesentlichen proportional zu

$$A_{abc} = A^{L}_{abc} \quad A^{R}_{abc} = \mathrm{Tr}\ \{T_a;T_b\}T_c\ _L \quad \mathrm{Tr}\ \{T_a;T_b\}T_c\ _R\ ; \tag{1.6}$$

wobei die $T_i$ die Generatoren der zur Symmetriegruppe gehorenden Lie-Algebra sind, und zwar in der Darstellung, nach der sich die links- beziehungsweise rechtshandigen Fermionen transformieren [9, 10]. Die Renormierbarkeit ist demnach sichergestellt, wenn

$$A^{L;R}_{abc} = \mathrm{Tr}\ \{T_a;T_b\}T_c\ _{L;R} \stackrel{!}{=} 0 \tag{1.7}$$

gilt. Im Rahmen des SM fuhrt (1.7) auf die vier Bedingungen

$$\begin{aligned} \mathrm{Tr}\ \{T_a;T_b\}T_c &= 0\,; \quad \mathrm{Tr}\ T_a Y^2 = 0\,; \\ \mathrm{Tr}\ \{T_a;T_b\}Y &= 0\,; \quad \mathrm{Tr}\ Y^3 = 0 \end{aligned} \tag{1.8}$$

Die beiden oberen Gleichungen sind aufgrund der Spurfreiheit der $SU(2)_L$-Generatoren automatisch erfullt, die unteren beiden wegen der SM-Zuordnung der Hyperladungen in (1.5). Das SM ist also deshalb anomaliefrei, weil sich die Beitrage der Quarks und der Leptonen gerade aufheben.

## 1.3 Symmetriebrechung und Massenerzeugung

In Eichtheorien konnen prinzipiell zwei Arten von Massentermen vorkommen. Wenn ein Dirac-Spinor ist und $_{L;R}$ seine links- und rechtshandigen Komponenten bezeichnet, so hat der Dirac-Massenterm die Gestalt (h.c. steht fur hermitesch konjugiert)

$$m \quad = m\,(\ _L\ _R + \ _R\ _L) = m\,(\ _L\ _R + \mathrm{h.c.}) \tag{1.9}$$

Das ist derselbe Massenterm, der auch in der Dirac-Gleichung vorkommt. Unter Verwendung von (1.4) kann man $_R\ _L$ auch als $(\ ^C_L)^T C\ _L$ schreiben.
Desweiteren existieren die lorentzinvarianten Gro en

$$\frac{M_R}{2}\,(\ ^C_L\ _R + \mathrm{h.c.}) = \frac{M_R}{2}\,(\ ^C_L C\,(\ ^C_L)^T + \mathrm{h.c.}) \quad \text{und} \tag{1.10}$$

$$\frac{M_L}{2}\,(\ _L\ ^C_R + \mathrm{h.c.}) = \frac{M_L}{2}\,(\ _L C\,(\ _L)^T + \mathrm{h.c.})\,; \tag{1.11}$$

die man als Majorana-Massenterme bezeichnet, da sie nur fur Majorana-Teilchen definiert sind. Letztere werden durch Spinoren beschrieben, fur welche $^C$ gilt, das heit Teilchen und Antiteilchen sind identisch. Deswegen sind Majorana-Teilchen zwangslaufig elektrisch neutral. Majorana-Massenterme werden spater im Zusammenhang mit Neutrinomassen von Bedeutung sein.

Das Transformationsverhalten von Massentermen fur die geladenen Fermionen im SM sieht folgenderma en aus:

$$(u;c;t)\text{-Quarks:} \quad (3;2)_{\frac{1}{6}} \quad (3;1)_{\frac{2}{3}} = (1;2)_{\frac{1}{2}} \quad (8;2)_{\frac{1}{2}} \tag{1.12}$$

$$(d;s;b)\text{-Quarks:} \quad (3;2)_{\frac{1}{6}} \quad (3;1)_{\frac{1}{3}} = (1;2)_{\frac{1}{2}} \quad (8;2)_{\frac{1}{2}} \tag{1.13}$$

$$\text{geladene Leptonen:} \quad (1;2)_{\frac{1}{2}} \quad (1;1)_{1} = (1;2)_{\frac{1}{2}} \tag{1.14}$$

Die Lagrangedichte des SM kann demnach keine Fermionmassenterme enthalten, da diese nicht invariant unter $G_{SM}$-Transformationen sind. Das steht aber im Widerspruch zu der experimentellen Beobachtung massiver Teilchen.

Abgesehen davon wird in der Natur keineswegs die Symmetrie des SM, sondern eine $SU(3)_C \quad U(1)_{em}$-Symmetrie beobachtet.

Beide Probleme konnen durch die spontane Brechung lokaler Eichsymmetrien, den sogenannten Higgs-Mechanismus, gelost werden [11]. Dazu werden dem Teilchenspektrum der Eichtheorie Spin-0-Teilchen hinzugefugt. Im SM wird ein Doublett

$$= \begin{pmatrix} ^{+} \\ ^{0} \end{pmatrix} \tag{1.15}$$

dieser Higgs-Bosonen eingefuhrt, wobei $^{+}$ und $^{0}$ komplexe Skalarfelder sind; sie liegen in der $G_{SM}$-Darstellung $(1;2)_{\frac{1}{2}}$. Das Potential fur hat die Form

$$V( ) = m^{2} \; ^{y} + \; ( \; ^{y})^{2} \tag{1.16}$$

und erzeugt fur $m^{2} < 0$ einen nichtverschwindenden Vakuumerwartungswert

$$h0j \; j0i = \begin{pmatrix} 0 \\ \frac{}{\sqrt{2}} \end{pmatrix} \quad \text{mit} \quad = \sqrt{\frac{m^{2}}{}} \tag{1.17}$$

von . Den Wert von kann man in niedrigster Ordnung aus der meßbaren Fermi-Konstanten $G_F$ und der Beziehung $= (\sqrt{2}G_F)^{-1=2}$ bestimmen; er betragt $= 246{:}22$ GeV. Nun ist der Vakuumzustand nicht mehr $SU(2)_L \quad U(1)_Y$-symmetrisch; die Symmetrie der elektroschwachen Wechselwirkung wird spontan in die $U(1)_{em}$ der QED gebrochen:

$$SU(3)_C \quad SU(2)_L \quad U(1)_Y \xrightarrow{h \; i} SU(3)_C \quad U(1)_{em} \tag{1.18}$$

Durch ihre Wechselwirkung mit den Higgs-Teilchen erhalten die Eichbosonen Massenterme. Aus den vier $SU(2)_L \quad U(1)_Y$-Bosonen entstehen so die physikalischen Eichbosonen, das heißt die Masseneigenzustande

$$W \quad = \quad \frac{1}{\sqrt{2}} (W_1 \quad iW_2) \tag{1.19}$$

$$Z \quad = \quad \sin \; _W B + \cos \; _W W_3 \tag{1.20}$$

$$A \quad = \quad \cos \; _W B \quad \sin \; _W W_3 \tag{1.21}$$

$_W$ ist der Weinberg-Winkel; fur ihn gilt

$$\sin \; _W = \sqrt{\frac{g^{0}}{g^{02} + g_2^{2}}} \; ; \quad \tan \; _W = \frac{g^{0}}{g_2} \tag{1.22}$$

$A$ ist das Eichboson der $U(1)_{em}$, das masselose Photon. Seine Kopplungskonstante, die Elementarladung $e$, ergibt sich aus $e = g_2 \sin \; _W$. Die $W$- und $Z$-Bosonen erhalten die Massen

$$M_W = \frac{g_2}{2} \; ; \quad M_Z = \frac{M_W}{\cos \; _W} \; ; \tag{1.23}$$

wahrend die Gluonen masselos bleiben, da die Higgs-Teilchen farbneutral sind. Tabelle 1.3 enthalt die Werte fur die Massen und den Weinberg-Winkel:

| Groe | $M_Z$ | $M_W$ | $\sin^2{}_W(M_Z)$ |
|---|---|---|---|
| Wert | $91{:}187 \quad 0{:}007$ GeV | $80{:}41 \quad 0{:}10$ GeV | $0{:}23124 \quad 0{:}00024$ |

Tabelle 1.3: Werte fur $M_Z$, $M_W$ und $\sin^2{}_W(M_Z)$ [7]

Die experimentellmebaren Eichkopplungen der $SU(3)_C \quad U(1)_{em}$-Theorie haben bei der Skala $= M_Z$ folgende Werte ( $_3 = g_3^2=4$ und $_{em} = e^2=4$ ):

| Groe | $_3(M_Z)$ | $_{em}(M_Z)$ |
|---|---|---|
| Wert | $0{:}119 \quad 0{:}002$ | $(128{:}88 \quad 0{:}09)^{\ 1}$ |

Tabelle 1.4: Werte fur $_3(M_Z)$ und $_{em}(M_Z)$ [7]

Daraus kann man mit Hilfe der Beziehungen

$$_1(M_Z) = \frac{5 \ _{em}(M_Z)}{3\cos^2{}_W(M_Z)} \ ; \qquad _2(M_Z) = \frac{_{em}(M_Z)}{\sin^2{}_W(M_Z)} \ ; \tag{1.24}$$

die Werte der SM-Groen $_{1;2}(M_Z)$ berechnen:

| Groe | $_1(M_Z)$ | $_2(M_Z)$ |
|---|---|---|
| Wert | $(59{:}447 \quad 0{:}060)^{\ 1}$ | $(29{:}802 \quad 0{:}052)^{\ 1}$ |

Tabelle 1.5: Werte fur $_1(M_Z)$ und $_2(M_Z)$ [7]

Von den vier reellen Freiheitsgraden in ist nur einer physikalisch, er gehort zum elektrisch neutralen Higgs-Boson $H$. Es ist das einzige SM-Teilchen, das experimentell noch nicht nachgewiesen wurde. Fur seine Masse $m_H = \sqrt{\quad}$ gibt es lediglich eine Untergrenze: $m_H > 89{:}7$ GeV [12].
Die Fermionmassen werden durch Einfuhrung von Yukawa-Kopplungen zwischen den Fermionen und den Higgs-Teilchen realisiert. Diese Yukawa-Terme konnen wegen (1.12)–(1.14) und $(1;2)_{\frac{1}{2}}$ eichinvariant konstruiert werden und haben die Form

$$L_M = \sum_{a;b=1}^{3} Q_L^a \ \tilde{}(Y_u)_{ab} u_R^b + Q_L^a \ (Y_d)_{ab} d_R^b + L_L^a \ (Y_e)_{ab} e_R^b + \text{h.c.} \tag{1.25}$$

mit

$$Q_L^a = \begin{pmatrix} u_L^a \\ d_L^a \end{pmatrix} \ ; \quad L_L^a = \begin{pmatrix} {}^a_L \\ e_L^a \end{pmatrix} \ ; \quad \tilde{} = i_2 \ = \begin{pmatrix} 0 \\ (1;2)_{\frac{1}{2}} \end{pmatrix} \tag{1.26}$$

Die Indizes a und b bezeichnen die Fermionfamilien ($d_L^a \quad s_L$ für a = 2), die Elemente der (3 3)-Matrizen $Y_i$ sind die Yukawa-Kopplungen. Die Fermionmassen entstehen im Rahmen der spontanen Symmetriebrechung, wenn seinen Vakuumerwartungswert ausbildet. Dann sind die Massenmatrizen durch

$$M_u = \frac{1}{\sqrt{2}} \quad Y_u ; \quad M_d = \frac{1}{\sqrt{2}} \quad Y_d ; \quad M_e = \frac{1}{\sqrt{2}} \quad Y_e \tag{1.27}$$

gegeben; (1.25) geht über in

$$L_M = \sum_{a,b=1}^{3} (M_u)_{ab} u_L^a u_R^b + (M_d)_{ab} d_L^a d_R^b + (M_e)_{ab} e_L^a e_R^b \quad + h.c. \tag{1.28}$$

Da die Massenmatrizen beliebige komplexe (3 3)-Matrizen sein können, sind die Fermionen in Tabelle 1.1, die Eigenzustände der $SU(2)_L \quad U(1)_Y$-Wechselwirkung, im allgemeinen nicht mehr mit den physikalischen Teilchen definierter Masse identisch. Letztere erhält man, wenn man die Massenmatrizen durch biunitare Transformationen diagonalisiert:

$$U_L^y M_u U_R = M_u^{(D)} ; \quad D_L^y M_d D_R = M_d^{(D)} ; \quad E_L^y M_e E_R = M_e^{(D)} \tag{1.29}$$

Die nichtverschwindenden Elemente der Diagonalmatrizen $M_i^{(D)}$ sind die Fermionmassen; ihre Werte sind in Tabelle 1.6 aufgelistet.

| Größe: | $m_u(M_Z)$ | $m_d(M_Z)$ | $m_s(M_Z)$ |
|---|---|---|---|
| Wert: | $2{:}33^{+0{:}42}_{0{:}45}$ MeV | $4{:}69^{+0{:}60}_{0{:}66}$ MeV | $93{:}4^{+11{:}8}_{13{:}0}$ MeV |
| Größe: | $m_c(M_Z)$ | $m_b(M_Z)$ | $m_t(M_Z)$ |
| Wert: | $677^{+56}_{61}$ MeV | 3:00 0:11 GeV | 181 13 GeV |
| Größe: | $m_e(M_Z)$ | $m \quad (M_Z)$ | $m \quad (M_Z)$ |
| Wert: | 486:84727 0:00014 keV | 102:75138 0:00033 MeV | 1746:7 0:3 MeV |

Tabelle 1.6: Fermionmassen bei $M_Z$ [13]

Die Yukawa-Kopplungen sind ebenso wie die Eichkopplungen renormierte Größen und hängen somit von der Massenskala ab. Über (1.27) und (1.29) sind demnach auch die Fermionmassen und -mischungen skalenabhängig.
Die Transformationen (1.29) liefern den Zusammenhang zwischen den Eigenzuständen der SM-Wechselwirkungen, hiermit dem Index (0) bezeichnet, und den Masseneigenzuständen:

$$u_{L,R}^{a\,(0)} = U_{L,R}\, u_{L,R}^a ; \quad d_{L,R}^{a\,(0)} = D_{L,R}\, d_{L,R}^a ; \quad e_{L,R}^{a\,(0)} = E_{L,R}\, e_{L,R}^a \tag{1.30}$$

Nun ist (1.30) auch in den übrigen Termen der Lagrangedichte auszuführen, in denen Fermionfelder vorkommen. Während die neutralen Ströme, die an das Z-Boson und das Photon koppeln, invariant unter (1.30) sind, ändern sich die geladenen schwachen Ströme:

$$u_L^{a\,(0)} \quad d_L^{a\,(0)} W^+ \quad =) \quad u_L^a \quad U_L^y D_L \quad {}_{ab} d_L^b W^+ \tag{1.31}$$

$$d_L^{a\,(0)} \quad u_L^{a\,(0)} W \quad =) \quad D_L^y U_L \quad {}_{ab} d_L^b \quad u_L^a W \tag{1.32}$$

Im Experiment tritt nur die (unitare) Kombination $V = U_L^{\dagger} D_L$ der Mischungsmatrizen in Erscheinung; man nennt sie Cabibbo-Kobayashi-Maskawa-Matrix (CKM-Matrix) [14]. Alle anderen Mischungen, insbesondere die rechtshandigen, sind im SM nicht observabel. Die experimentellen Grenzen fur die Betrage der Elemente von $V$ liegen bei [7]:

$$|V| = \begin{pmatrix} 0{,}9745 & 0{,}9760 & 0{,}217 & 0{,}224 & 0{,}0018 & 0{,}0045 \\ 0{,}217 & 0{,}224 & 0{,}9737 & 0{,}9753 & 0{,}036 & 0{,}042 \\ 0{,}004 & 0{,}013 & 0{,}035 & 0{,}042 & 0{,}9991 & 0{,}9994 \end{pmatrix} \tag{1.33}$$

Die in dieser Arbeit verwendete Parametrisierung fur $V$ lautet:

$$V = \begin{pmatrix} C_{12}C_{31} & S_{12}C_{31} & S_{31}e^{-i\delta} \\ -S_{12}C_{23} - C_{12}S_{23}S_{31}e^{i\delta} & C_{12}C_{23} - S_{12}S_{23}S_{31}e^{i\delta} & S_{23}C_{31} \\ S_{12}S_{23} - C_{12}C_{23}S_{31}e^{i\delta} & -C_{12}S_{23} - S_{12}C_{23}S_{31}e^{i\delta} & C_{23}C_{31} \end{pmatrix} \tag{1.34}$$

mit $C_{ij} = \cos\theta_{ij}$ und $S_{ij} = \sin\theta_{ij}$. Als numerische Werte fur die Winkel werden $\theta_{12} = 0{,}223$, $\theta_{23} = 0{,}039$ und $\theta_{31} = 0{,}003$ benutzt. Ferner wird $\delta = 0$ gewahlt, da ein Modell mit reellen Massenmatrizen (und somit orthogonalen Mischungsmatrizen) Gegenstand der Untersuchung ist; auf das Problem der CP-Verletzung soll hier nicht naher eingegangen werden. Die Parametrisierung (1.34) mit $\delta = 0$ wird auch fur alle Mischungsmatrizen in (1.29) benutzt.

Die leptonischen Anteile der geladenen schwachen Strome andern sich im Falle masseloser Neutrinos nicht, da die linkshandigen Neutrinos derselben Transformation $E_L$ wie die geladenen Leptonen unterzogen werden konnen.

## 1.4 Grenzen des Standardmodells

Das SM ist nicht nur mathematisch konsistent, sondern auch phanomenologisch uberaus erfolgreich. Viele seiner Vorhersagen sind auf eindrucksvolle Weise experimentell bestatigt worden, zum Beispiel die Existenz der dritten Fermiongeneration, der massiven $W^{\pm}$- und $Z$-Bosonen und des neutralen schwachen Stroms. Lediglich die beobachtete Baryonasymmetrie des Universums [15] und die durch die Neutrinoexperimente der letzten Jahre implizierte Existenz massiver Neutrinos [16] lassen sich im Rahmen des SM nicht befriedigend erklaren. Davon abgesehen ist die Ubereinstimmung der theoretischen Vorhersagen des SM mit den experimentellen Ergebnissen sehr gut [17].

Es gibt allerdings auch eine Reihe von ungeklarten theoretischen Fragestellungen, die stark darauf hindeuten, da das SM keine wirklich fundamentale Theorie ist, sondern lediglich die effektive Naherung einer solchen fur niedrige Energien.

Zunachst ist die Zahl der freien Parameter im SM, deren Werte von der Theorie nicht vorhergesagt werden, sondern an experimentelle Resultate angepa t werden mussen, sehr gro :

neun Massen der geladenen Fermionen

drei Winkel und eine Phase in der CKM-Matrix

drei Eichkopplungen

die Higgs-Masse und -kopplungskonstante

zwei -Parameter in den CP-verletzenden Lagrangedichte-Termen TrFF~

Unter Berucksichtigung massiver Neutrinos kommen drei Neutrinomassen sowie drei Winkel und drei Phasen in der leptonischen Mischungsmatrix hinzu. Eine grundlegende Theorie sollte dagegen mit moglichst wenigen freien Parametern auskommen.
Weitere Aspekte, die auf eine Theorie jenseits des SM schlie en lassen, sind:

Die Symmetriegruppe $G_{SM}$ ist ein direktes Produkt, woraus die Existenz dreier voneinander unabhangiger und betragsma ig stark unterschiedlicher Kopplungskonstanten folgt; eine Vereinheitlichung der Wechselwirkungen erfolgt nicht. Ebenfalls damit verbunden ist die komplizierte Darstellung (1.5), in der die Fermionen einer Familie liegen.

Die Zuordnung der Hyperladungen zu den Fermionen ist weitgehend willkurlich und lediglich durch (1.2) und (1.8) eingeschrankt. Dies liefert aber keine Erklarung fur die Quantisierung der elektrischen Ladung in Einheiten von e=3.

Die bis heute beobachteten Fermionen liegen in drei Familien, die hinsichtlich ihrer Quantenzahlen und ihrer Wechselwirkungen vollig identisch sind, sich aber bezuglich ihrer Massen betrachtlich unterscheiden.

Der Hauptgrund fur die Einordnung der linkshandigen Fermionen in $SU(2)_L$-Doubletts und der rechtshandigen in Singuletts liegt im phanomenologischen Erfolg dieses Ansatzes.

Neutrinomassen konnen im Rahmen des SM zwar durch Einfuhrung von nichtwechselwirkenden rechtshandigen Neutrinos konstruiert werden, aber es stellt sich dann die Frage, warum ihre Massen sehr viel kleiner als die der geladenen Fermionen sein sollten.

Der Higgs-Sektor des SM ist, sowohl was die Anzahl der Higgs-Teilchen als auch die Einordnung in Darstellungen von $G_{SM}$ angeht, weitgehend willkurlich. Auch die Selbstkopplung sowie die Yukawa-Kopplungen und Massen der Higgs-Teilchen sind nicht festgelegt.

Der QCD- -Parameter ist extrem klein, . $10^{9}$. Dies folgt direkt aus den experimentellen Grenzen fur das Dipolmoment des Neutrons.

Die durch Einsteins Allgemeine Relativitatstheorie beschriebene Gravitation la t sich im Gegensatz zu den restlichen Wechselwirkungen nicht allein mit dem Prinzip der lokalen Eichinvarianz erklaren. Alle bisher entwickelten Eichtheorien der Gravitation haben sich als nichtrenormierbar erwiesen.

Zahlreiche Modifikationen des minimalen SM sind konstruiert worden, um einzelne dieser Schwachen zu beheben. So kann das Problem der CP-Verletzung in der QCD durch ein Modell mit zwei Higgs-Doubletts und einer zusatzlichen chiralen U(1)-Symmetrie gelost werden [18], wahrend Modelle mit sogenannten horizontalen Symmetrien versuchen, die Massenhierarchie zwischen den Fermionfamilien zu erklaren [19].

Im Gegensatz dazu gehen die Grand Unified-Theorien (GUTs), die im nachsten Kapitel diskutiert werden, uber eine blo e Erweiterung des SM hinaus. Es wird vielmehr der Versuch gemacht, das SM in eine umfassendere Theorie einzubetten. GUTs konnen einige, wenn auch nicht alle, der oben erwahnten Schwachen beseitigen und zum besseren Verstandnis des SM beitragen.

# Kapitel 2

# Grand Unified-Theorien

## 2.1 Grundidee und allgemeine Eigenschaften

Das Hauptziel bei der Konstruktion von Grand Unified-Theorien (GUTs) [20, 21] besteht darin, die drei qualitativ und quantitativ verschiedenen Wechselwirkungen des SM in einer einzigen zu vereinheitlichen. Formal geschieht dies durch die Einbettung der SM-Symmetriegruppe $G_{SM}$ in eine einfache Lie-Gruppe $G \supset G_{SM}$. Diese neue Theorie soll das SM als effektive Niederenergienaherung enthalten, was durch spontane Symmetriebrechung in einem oder auch mehreren Schritten erreicht werden kann.

Motiviert wird dieser Ansatz in erster Linie durch die Skalenabhangigkeit der Eichkopplungen im SM [22]. Integriert man die Renormierungsgruppengleichungen (B.7-B.9) fur die drei Groen $_i = g_i^2/4$ [23] von der Skala $M_Z$ zu hoheren Energien, erhalt man das in Abbildung 2.1 gezeigte Verhalten. Die laufenden Kopplungen treffen sich naherungsweise im Bereich $10^{14}$-$10^{15}$ GeV und $_i \quad 1/40$. Da sie sich jedoch nachweislich nicht in einem Punkt kreuzen, ist erst seit der Inbetriebnahme des Teilchenbeschleunigers LEP am CERN 1989 und der damit verbundenen Steigerung der Mewertgenauigkeit fur $_i(M_Z)$ bekannt [24].

Der erste Schritt bei der Konstruktion eines GUT-Modells besteht in der Wahl einer kompakten und einfachen Lie-Gruppe G. Man kann prinzipiell auch halbeinfache Lie-Gruppen, also direkte Produkte von einfachen Gruppen, verwenden, erhalt dann aber fur jeden Faktor eine separate Kopplungskonstante. Damit diese Kopplungen gleich sind und eine Vereinheitlichung zustande kommt, mussen zusatzliche Symmetrien eingefuhrt werden. Deshalb sind einfache Gruppen vorzuziehen, da man auf diese Weise eine Wechselwirkung mit genau einer Kopplung erhalt; die SM-Wechselwirkungen sind dann verschiedene Aspekte dieser Kraft.

Die einfachen Lie-Gruppen beziehungsweise -algebren sind vollstandig klassifiziert und ihre Eigenschaften und die ihrer Darstellungen bekannt [25, 26]; Tabelle 2.1 gibt eine Ubersicht. Es gibt neben den vier unendlichen Reihen der klassischen Lie-Gruppen die funf exzeptionellen Gruppen. Der Rang ist gleich der maximalen Anzahl miteinander

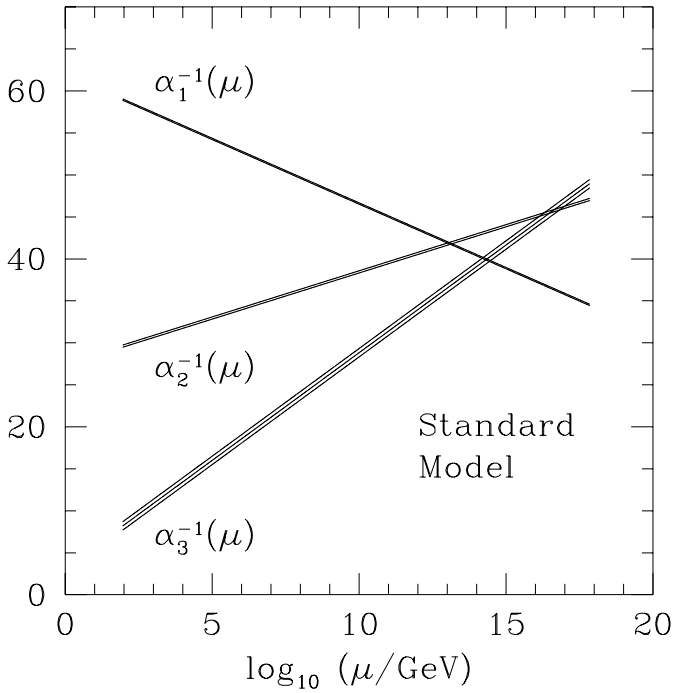


Abbildung 2.1: Skalenabhangigkeit der inversen Eichkopplungen $1=\ _i(\ )$ des SM (inklusive Fehlergrenzen) [27]

kommutierender Generatoren, die Ordnung ist die Gesamtzahl der Generatoren und somit die Dimension der adjungierten Darstellung, und Dim (f) gibt die Dimension der Fundamentaldarstellung an.

Um eine geeignete Symmetriegruppe G zu finden, sollte diese einer Reihe von Anforderungen genugen:

Zunachst mu G die SM-Symmetriegruppe $G_{SM}$ als Untergruppe enthalten. Da der Rang von $SU(3)_C \quad SU(2)_L \quad U(1)_Y$ gleich 4 ist, mu auch G mindestens vom Rang 4 sein. Andererseits ist die Forderung nach der Minimalitat des Ranges der Eichgruppe sicher sinnvoll, da mit dem Rang auch die Dimension der Darstellungen und somit der Umfang des Teilchenspektrums zunimmt.

Die Gruppe G sollte komplexe Darstellungen besitzen [28] (eine Darstellung R heit komplex, wenn sie zu ihrer komplex konjugierten Darstellung $\overline{R}$ nicht aquivalent ist; ansonsten wird sie als reell bezeichnet). Diese Forderung ist aus folgendem Grund plausibel:

Sei $R_{L,R}$ die Darstellung, nach der sich die links- beziehungsweise rechtshandigen Teilchen und Antiteilchen einer Fermionfamilie transformieren. Dann gilt wegen $_R = C(\ _L^C)^T$ die Beziehung $R_R = \overline{R}_L$. Im SM ist die $R_L$ entsprechende Darstellung (1.5) komplex, was die Paritatsverletzung und die Nichtexistenz $G_{SM}$-invarianter

| Algebra | Rang | Ordnung | Dim (f) |
|---|---|---|---|
| $SU(n+1)$, $n \geq 1$ | $n$ | $n(n+2)$ | $n+1$ |
| $SO(2n)$, $n \geq 4$ | $n$ | $n(2n-1)$ | $2n$ |
| $SO(2n+1)$, $n \geq 2$ | $n$ | $n(2n+1)$ | $2n+1$ |
| $Sp(2n)$, $n \geq 3$ | $n$ | $n(2n+1)$ | $2n$ |
| $G_2$ | 2 | 14 | 7 |
| $F_4$ | 4 | 52 | 26 |
| $E_6$ | 6 | 78 | 27 |
| $E_7$ | 7 | 133 | 56 |
| $E_8$ | 8 | 248 | 248 |

Tabelle 2.1: Klassifikation und Eigenschaften einfacher Lie-Algebren

Massenterme zur Folge hat. Um im Rahmen eines GUT-Modells eine reelle Darstellung $R_L$ verwenden zu konnen, mussen in ihr neben den SM-Fermionen zusatzlich linkshandige Fermionen liegen, die sich wie das komplex konjugierte von (1.5) transformieren. Diese neuen Teilchen werden auch als Spiegelfermionen bezeichnet. Da sie in der Natur jedoch nicht beobachtet werden, mussen ihre Massen wahrend des Symmetriebrechungsschrittes entstehen, der auf das SM fuhrt, was aufgrund von Mischungen wiederum superschwere Massen auch fur die SM-Fermionen zur Folge hat. Dieses Problem la t sich auf einfache Weise durch Verwendung komplexer Darstellungen fur die Fermionen vermeiden. Von den einfachen Lie-Gruppen enthalten jedoch nur

$$SU(n) \quad (n \geq 3); \quad SO(4n+2) \quad (n \geq 2) \quad \text{und} \quad E_6 \tag{2.1}$$

komplexe Darstellungen [29], was die Wahlmoglichkeiten fur $G$ stark einschrankt.

Damit die Renormierbarkeit der Theorie sichergestellt ist, mu sie anomaliefrei sein, also (1.7) erfullen. Wahrend die orthogonalen Gruppen (au er $SO(6) = SU(4)$) [9] und $E_6$ [30] automatisch anomaliefrei sind, gilt dies bei den $SU(n)$-Gruppen nur fur bestimmte Kombinationen irreduzibler Darstellungen [31]. Im einfachsten Fall, der hier von Interesse ist, nam lich $SU(5)$, ist die (komplexe) Summe

$$\overline{5} \quad 10 \qquad 1 \quad 16_{SO(10)} \tag{2.2}$$

anomaliefrei.

Berucksichtigt man bei der Wahl von $G$ diese Kriterien, so verbleiben folgende Moglichkeiten mit $4 \leq \text{Rang}(G) \leq 6$:

$$\text{Rang } 4\text{: } SU(5); \quad \text{Rang } 5\text{: } SU(6); SO(10); \quad \text{Rang } 6\text{: } SU(7); E_6 \tag{2.3}$$

Auf $SU(5)$, $SO(10)$ und $E_6$ basierende GUTs werden in den nachsten Abschnitten behandelt; $SU(6)$- und $SU(7)$-Theorien bieten gegenuber diesen Modellen keinerlei Vorteile, sind

aber in einigen Punkten wesentlich unhandlicher und deswegen weitgehend unbeachtet geblieben.

Hat man auf diese Weise eine Wahl für die Eichgruppe $G$ getroffen, so sind noch folgende Schritte durchzuführen:

Die Einbettung von $G_{SM}$ in $G$ und das Schema

$$G \xrightarrow{M_U} G_1 \xrightarrow{M_I^{(1)}} \cdots \xrightarrow{M_I^{(k)}} G_{SM} \xrightarrow{M_Z} SU(3)_c \times U(1)_{em} \tag{2.4}$$

für die Symmetriebrechung in das SM sind anzugeben. Der einfachste Fall, die direkte Symmetriebrechung $G \xrightarrow{M_U} G_{SM}$, kommt allerdings wegen der Tatsache, daß die laufenden SM-Kopplungen sich nicht in einem Punkt treffen (siehe Abbildung 2.1), nicht in Frage.

Für jeden Symmetriebrechungsschritt in (2.4) müssen geeignete Higgs-Darstellungen festgelegt und zugehörige Potentiale konstruiert werden, welche ihn realisieren können. Dabei ist darauf zu achten, daß die Teilchen des SM nach wie vor erst im letzten Schritt bei $M_Z$ ihre Massen erhalten, während alle zusätzlichen Teilchen sehr viel schwerer sind und deshalb mindestens Massen der Größenordnung $M_I^{(k)}$ haben. Dieser Sachverhalt wird auch als „Survival Hypothesis\" [32] bezeichnet.

Die komplexe und anomaliefreie Darstellung, in der die Fermionen liegen sollen, ist auszuwählen. Hierbei muß die Zerlegung der Fermiondarstellung unter $G_{SM}$ die Zuordnung der korrekten SM-Quantenzahlen gestatten, das heißt die SM-Darstellung (1.5) enthalten.

Ist das geschehen, so ist die formale Konstruktion der GUT abgeschlossen. Die expliziten Eigenschaften und Vorhersagen des Modells, wie zum Beispiel Vereinheitlichungsmasse $M_U$ und -kopplung $_U$, Fermionmassenrelationen oder die Rate des Protonzerfalls und daraus eventuell resultierende Widersprüche zu experimentellen Resultaten sind dann im Detail zu untersuchen.

## 2.2 SU(5)

### 2.2.1 Konstruktion und Teilcheninhalt

Die SU(5)-GUT [33] stellt gewissermaßen den Prototyp dieser Theorien dar. Wie oben gezeigt wurde, ist sie die einzige für die Konstruktion einer GUT in Frage kommende Gruppe mit Rang$(G) = 4$. Da die SM-Eichgruppe $G_{SM}$ eine maximale Untergruppe der SU(5) ist, kann nur die direkte Symmetriebrechung

$$SU(5) \xrightarrow{M_U} G_{SM} \xrightarrow{M_Z} SU(3)_c \times U(1)_{em} \tag{2.5}$$

erfolgen, was wegen des durch Abbildung 2.1 verdeutlichten SM-Kopplungsverhaltens für eine realistische Theorie nicht in Frage kommt. Dennoch sollen hier kurz die grundlegenden Eigenschaften der SU(5)-GUT zusammengefaßt werden, da sie sich zum großen Teil zumindest qualitativ auch auf andere GUT-Modelle übertragen lassen.
Betrachtet man die Verzweigungen der beiden SU(5)-Darstellungen 5 und 10 unter $G_{SM}$

$$5 \;\to\; (3,1)_{\frac{1}{3}} \quad (1,2)_{\frac{1}{2}}\,; \qquad 10 \;\to\; (3,2)_{\frac{1}{6}} \quad (\bar{3},1)_{\frac{2}{3}} \quad (1,1)_{1}\,; \tag{2.6}$$

stellt man fest, daß die reduzible Darstellung $(5 \quad 10)$ gerade alle SM-Fermionen einer Familie aufnehmen kann (siehe Tabelle 1.1). Ferner ist sie komplex und anomaliefrei, erfüllt also alle notwendigen Bedingungen. Die gemeinsame Einbettung von Quarks und Leptonen in dieselbe irreduzible Darstellung ist eine Eigenschaft aller GUTs und führt, da die Eichtransformationen diese Teilchen miteinander mischen können, zur Verletzung der Baryon- und Leptonzahlerhaltung.

An dieser Stelle wird ein wesentlicher Erfolg von GUTs deutlich, nämlich die Erklärung für die Quantisierung der elektrischen Ladung. Sie gehört zu den allgemeinen Eigenschaften von Eichtheorien mit einfacher Symmetriegruppe, da die Eigenwerte der diagonalen Generatoren solcher Gruppen im Gegensatz zu den Eigenwerten der abelschen U(1) stets diskret sind. Der Ladungsoperator $Q$ muß in der Cartan-Unteralgebra von $G$ liegen, also eine Linearkombination der diagonalen Generatoren sein. Da die Generatoren spurfrei sind, gilt dies auch für $Q$. Daraus folgt wiederum, daß die Summe der Ladungen der in den Darstellungen 5 und 10 liegenden Fermionen jeweils 0 sein muß: $Q(e) = 3Q(d)$ und $2Q(u) + Q(e) + Q(d) = 0$. Quarks haben deshalb drittelzahlige Ladungen, weil sie in drei Farben auftreten, während Leptonen farbneutral sind.

Betrachtet man $G_{SM}$ als Untergruppe von SU(5), sind die Hyperladungswerte in Tabelle 1.1 mit einem Faktor $\sqrt{5/3}$ umzunormieren. Wegen (1.22), $g' = \sqrt{3/5}\, g_1$ und $g_1(M_U) = g_2(M_U)$ gilt in GUTs mit einfacher Symmetriegruppe stets $\sin^2\theta_W(M_U) = 3/8$; der Weinbergwinkel ist kein freier Parameter mehr. Der experimentelle Wert $\sin^2\theta_W(M_Z) \approx 0{,}23$ muß durch Integration der entsprechenden Renormierungsgruppengleichungen reproduziert werden.

Die adjungierte Darstellung, nach der sich in Eichtheorien die Eichbosonen transformieren, verzweigt sich bezüglich $G_{SM}$ gemäß

$$24 \;\to\; (8,1)_{0} \quad (1,3)_{0} \quad (1,1)_{0} \quad (3,2)_{\frac{5}{6}} \quad (\bar{3},2)_{\frac{5}{6}} \tag{2.7}$$

Die ersten drei Summanden entsprechen den SM-Eichbosonen, während die Darstellungen $(3,2)_{\frac{5}{6}}$ und $(\bar{3},2)_{\frac{5}{6}}$ neue Bosonen enthalten, die mit X und Y beziehungsweise $\bar{X}$ und $\bar{Y}$ bezeichnet werden. Da diese experimentell nicht beobachtet werden, müssen sie Massen der Größenordnung $M_U$ haben.

### 2.2.2 Protonzerfall

Die X- und Y-Bosonen, welche die elektrischen Ladungen + 4/3 und + 1/3 besitzen, tragen sowohl eine Farbladung als auch schwachen Isospin und können deshalb Quarks und

Leptonen ineinander uberfuhren. Wahrend Baryon- und Leptonzahl B ;L globale U (1)-Symmetrien des (perturbativen) SM sind, werden sie in der SU (5)-Theorie wie auch in allen anderen GUTs verletzt; allerdings bleibt B L erhalten. Die direkte Konsequenz der Baryonzahlverletzung ist die Instabilitat von Proton und (gebundenem) Neutron. Der Nukleonenzerfall ist eine wichtige und experimentell uberprufbare Vorhersage von GUTs, die uber das SM klar hinausgeht [34].

Der baryonzahlverletzende Teil der Lagrangedichte fur die erste Fermionfamilie (unter Vernachlassigung von Mischungen) ergibt sich zu [20]:

$$L_{B\neq 0} = \frac{g_U}{p\,2} X \quad " \quad u_L^C \quad u_L + d_L \quad e_L^+ + d_R \quad e_R^+$$
$$+ \frac{g_U}{p\,2} Y \quad " \quad u_L^C \quad d_L \quad d_R \quad {}^C_{eR} \quad u_L \quad e_L^+ + h.c. \qquad (2.8)$$

, und sind SU (3)$_C$-Farbindizes. Das entspricht den in Abbildung 2.2 aufgefuhrten Wechselwirkungsvertizes.

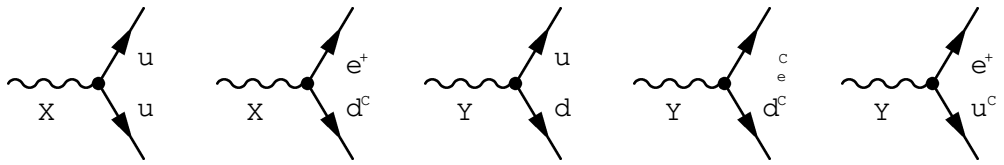


Abbildung 2.2: Baryonzahlverletzende Vertizes der X- und Y-Bosonen

Zwei typische Beispiele fur Feynmandiagramme von Protonzerfallsprozessen zeigt Abbildung 2.3:

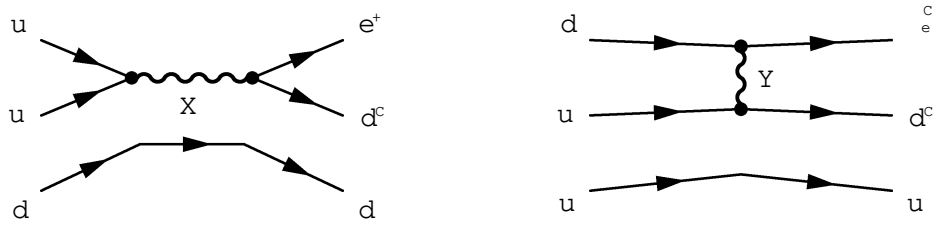


Abbildung 2.3: Beispiele fur zum Protonzerfall beitragende Feynmandiagramme

Der zugrundeliegende Proze lautet stets Quark+ Quark ! Antiquark+ Antilepton, was zu Zerfallskanalen Nukleon ! Meson+ Antilepton fuhrt. Alle anderen Elementarprozesse sind aufgrund von Phasenraumeffekten unterdruckt. Unter der Annahme kleiner Mischungen ist p ! $^0e^+$ der dominante Kanal; eine qualitative Abschatzung der Lebensdauer gema

$$_p = {}_p^1 \quad {}^2_U \frac{m_p^5}{M_{X;Y}^4} \qquad (2.9)$$

liefert mit $_U$ 1=40 und $M_{X,Y}$ $M_U$ 5 $10^{14}$ GeV für $_p$ den Wert 3 $10^{30}$ Jahre. Die neuesten experimentellen Grenzen liegen bei $_p$ 2:9 $10^{32}$ Jahre [35]. Die zu kurze Lebensdauer des Protons war die erste Vorhersage der SU(5)-GUT, die eindeutig im Widerspruch zu experimentellen Resultaten stand.

### 2.2.3 Symmetriebrechung und Fermionmassen

Um den ersten Symmetriebrechungsschritt in (2.5) zu verwirklichen, benötigt man eine Higgs-Darstellung , die ein SM-Singulett enthält; dieses bildet dann den Vakuumerwartungswert (VEW) aus. Der zweite Brechungsschritt bei $M_Z$ erfordert eine Darstellung $H$, in der ein SM-Doublett $(1;2)_{\frac{1}{2}}$ liegt. Die einfachste Wahl hierfür lautet = 24 und $H$ = 5 (siehe (2.6) und (2.7)). Der VEW $h i$ gibt allen Teilchen, die nicht zum SM-Spektrum gehören, Massen der Größenordnung $M_U$, während $hH i$ die SM-Massen erzeugt.

Betrachtet man das Transformationsverhalten von Fermionmassentermen in der SU(5)-Theorie, so ergeben sich die drei Tensorprodukte

$$\overline{5} \quad \overline{5} \quad = \quad \overline{10} \quad \overline{15} \tag{2.10}$$

$$\overline{5} \quad 10 \quad = \quad 5 \quad 45 \tag{2.11}$$

$$10 \quad 10 \quad = \quad \overline{5} \quad \overline{45} \quad \overline{50} \tag{2.12}$$

Daran erkennt man zunächst, daß keine Fermionmassen $h i$ entstehen können. Die Kopplung von $H$ an den Term $5 \quad 10$ erzeugt Dirac-Massen für die d-Quarks und die geladenen Leptonen, jene an den Term $10 \quad 10$ Massen für die u-Quarks. Majorana-Massen für die Neutrinos entstehen nicht, da $H$ nicht an $5 \quad 5$ koppelt.

Bei $M_U$ gilt die Beziehung $M_d = M_e$, während $M_u$ von den anderen Massenmatrizen unabhängig ist. Vorhersagen von Relationen zwischen den fermionischen Massenmatrizen gehören zu den typischen Eigenschaften von GUTs. In diesem Fall ist die Vorhersage $M_d(M_U) = M_e(M_U)$ nicht realistisch, da sich nach Berücksichtigung der Renormierungseffekte die Beziehung $M_d(M_Z)$ $3M_e(M_Z)$ ergibt, was im Widerspruch zu den Fermionmassen aus Tabelle 1.6 steht. Durch Einführung einer zusätzlichen 45-Higgs-Darstellung, die wegen (2.10{2.12) ebenfalls Fermionmassen erzeugen kann, ist es möglich, die Relation zwischen $M_d$ und $M_e$ so zu modifizieren, daß sie zumindest qualitativ korrekte Ergebnisse liefert [36].

### 2.2.4 Das Hierarchieproblem

Die SU(5)-GUT enthält zwei verschiedene Symmetriebrechungsskalen $M_U$ und $M_Z$. Während die SM-Teilchen nach wie vor Massen der Größenordnung $M_Z$ haben sollen, müssen die zusätzlich eingeführten Teilchen Massen $M_U$ besitzen. Das Verhältnis dieser Skalen ist extrem klein, $M_Z=M_U$ $10^{12}$. Diese Hierarchie überträgt sich zwangsläufig auf die Parameter im Higgs-Potential $V$, welches die VEW und damit die Symmetriebrechung

verursacht [37]. Das vollstandige Higgs-Potential beinhaltet neben

$$V(\Phi) = m_1^2 \mathrm{Tr}\,\Phi^2 + \lambda_1 (\mathrm{Tr}\,\Phi^2)^2 + \lambda_2 \mathrm{Tr}\,\Phi^4 \quad \text{und} \tag{2.13}$$

$$V(H) = m_2^2 H^\dagger H + \lambda_3 (H^\dagger H)^2 \tag{2.14}$$

auch Mischterme der Form

$$V(\Phi, H) = \lambda_4 \mathrm{Tr}\,\Phi^2 (H^\dagger H) + \lambda_5 H^\dagger \Phi^2 H \tag{2.15}$$

Der erste Brechungsschritt erfolgt, wenn $\Phi$ den VEW

$$\langle \Phi \rangle = v_1 \cdot \mathrm{diag}(2,2,2,-3,-3)\, m_T^2 = m_1^2/(60\lambda_1 + 14\lambda_2) \sim M_U^2 \tag{2.16}$$

ausbildet. Die X,Y-Bosonen und die physikalischen Higgs-Teilchen in $\Phi$ erhalten Massen $\sim M_U$. Der zweite Schritt verlauft analog zum SM. Berechnet man jedoch die Massen der Teilchen in H, so ergibt sich aufgrund der Potentialterme in (2.15):

$$(3,1)_H : m_T^2 = m_2^2 + (30\lambda_4 + 4\lambda_5)\lambda_1^2 \,; \quad (1,2)_H : m_D^2 = m_2^2 + (30\lambda_4 + 9\lambda_5)\lambda_1^2 \tag{2.17}$$

Sowohl $m_T$ als auch $m_D$ enthalten Terme $\sim \lambda_1$, was im Falle des Tripletts $(3,1)_H$ auch notwendig ist, da es ebenso wie die X,Y-Bosonen Protonzerfalle vermitteln kann; das SM-Doublett $(1,2)_H$ dagegen mu Massen $\sim M_Z$ haben. Dies la t sich wegen $|m_2/\lambda_1| \sim 10^{12}$ nur dann erreichen, wenn $(30\lambda_4 + 9\lambda_5) \sim 10^{-24}$ ist.

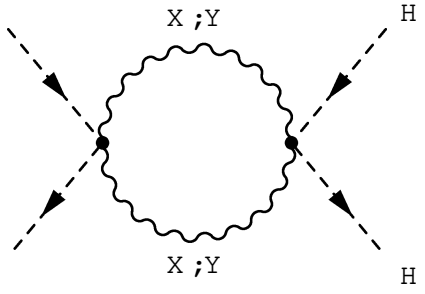


Abbildung 2.4: Zum Hierarchieproblem beitragende Strahlungskorrektur

Die nicht sehr naturlich anmutende Feineinstellung der Parameter $\lambda_{4,5}$ mit einer Genauigkeit $\sim 10^{-24}$ mu schlie lich fur jede Ordnung der Storungstheorie wiederholt werden, da sonst Strahlungskorrekturen wie zum Beispiel die in Abbildung 2.4 gezeigte Beitrage hoherer Ordnung zu $m_D$ liefern, die wieder $\sim \lambda_1$ sind [38].

Dieses Hierarchieproblem taucht grundsatzlich in allen Theorien auf, die zwei oder mehr Massenskalen stark unterschiedlicher Gro enordnung aufweisen und la t sich zumindest im Rahmen nichtsupersymmetrischer GUTs nicht befriedigend losen. Deswegen geht man im allgemeinen von der Gultigkeit der sogenannten „Extended Survival Hypothesis\" aus [39]. Sie besagt, da Higgs-Teilchen die gro tmogliche Masse erhalten, die mit dem Symmetriebrechungsschema des Modells vertraglich ist. Da in der SU(5)-GUT das Triplett $(3,1)_H$ fur den Brechungsschritt bei $M_Z$ ohne Bedeutung ist, hat es eine Masse $\sim M_U$.

### 2.2.5 Zusammenfassung

Obwohl das SU(5)-Modell aufgrund der experimentellen Fakten mittlerweile ausgeschlossen ist, besitzt es im Vergleich zum SM eine Reihe von attraktiven Eigenschaften:

- Die SM-Wechselwirkungen werden vereinheitlicht; es gibt nur noch eine Kopplungskonstante $g_U$ und eine Vorhersage für $\sin^2 {}_W(M_U)$.
- Die anomaliefreie Darstellung $\bar{5}(\quad 10)$ kann die Fermionen einer Familie aufnehmen. Obwohl nach wie vor reduzibel, hat sie eine einfachere Struktur als (1.5).
- Die Einbettung der $U(1_Y)$ in eine einfache Lie-Gruppe führt automatisch zur korrekten Quantisierung der elektrischen Ladung.
- Die Massenmatrizen der Fermionen sind nicht mehr unabhängig voneinander.

Dem stehen folgende Schwierigkeiten gegenüber:

- Die fermionische Darstellung ist reduzibel.
- Der Higgs-Sektor der Theorie ist wesentlich komplexer als im SM.
- Die Existenz zweier stark unterschiedlicher Massenskalen führt zum Hierarchieproblem.
- Die Probleme im Neutrinosektor sind weiterhin ungelöst.
- Auch in der SU(5)-GUT ist das Wechselwirkungsverhalten rechts- und linkshändiger Fermionen verschieden.
- Es gibt keine Erklärung für die Existenz dreier Fermionfamilien und die Massenhierarchie zwischen ihnen.

Einige dieser Schwächen können im Rahmen von GUTs mit größerer Eichgruppe beseitigt werden.

## 2.3 SO(10)

### 2.3.1 Spinordarstellungen der SO(n)-Gruppen

Die SO(10) ist die kleinste orthogonale Gruppe, die $G_{SM}$ als Untergruppe enthält und komplexe Darstellungen besitzt. Da $SU(5) \quad U(1)$ eine maximale Untergruppe der SO(10) ist, sind alle vorteilhaften Eigenschaften der SU(5)-GUT auch in SO(10)-Theorien vorhanden.

Die orthogonalen Lie-Gruppen unterscheiden sich in einigen wichtigen Punkten von den unitären Gruppen [25]. Alle irreduziblen Darstellungen der SU(n) können durch Reduktion von Tensorprodukten der komplexen Fundamentaldarstellung n und der zu ihr komplex konjugierten Darstellung $\bar{n}$ erhalten werden. Die orthogonalen Gruppen SO(n) dagegen besitzen neben den Tensordarstellungen, welche man durch Produktbildung aus der reellen Fundamentaldarstellung n konstruieren kann, die sogenannten Spinordarstellungen, für die das nicht gilt. Zu den Spinordarstellungen der SO(n) gelangt man über die komplexe Clifford-Algebra

$$C_n : \quad f \ {}_j; \ {}_k g = 2 \ {}_{jk} 1 \quad (j;k = 1;:::;n) \tag{2.18}$$

Aus den Generatoren von $C_n$ kann man eine Darstellung für die Generatoren der SO(n)-Lie-Algebra konstruieren:

$$_{jk} = \frac{i}{4}[\ _j;\ _k] \tag{2.19}$$

Die so definierten $_{jk}$ erfüllen die Vertauschungsrelation

$$[M_{ij};M_{kl}] = i\ _{ik}M_{jl} \quad _{il}M_{jk} \quad _{jk}M_{il} + \ _{jl}M_{ik}\ ; \tag{2.20}$$

welche die SO(n)-Algebra definiert ($M_{ij} = \ M_{ji}$ mit $i;j = 1;:::;n$). Die Generatoren $M_{ij}$ in der Fundamentaldarstellung sind durch

$$M_{ij\ ab} = \ i(_{ia\ jb} \quad _{ja\ ib}) \tag{2.21}$$

gegeben. Über die Matrixdarstellungen der komplexen Clifford-Algebra (2.18) und somit der $_{jk}$ kommt man zu den Spinoren, da diese die Elemente des entsprechenden Darstellungsraumes sind. Die Eigenschaften der irreduziblen Spinordarstellungen der SO(n) hängen vom Wert von n ab:

> Ist n ungerade, so existiert eine reelle Spinordarstellung der Dimension $2^{(n\ 1)=2}$.
>
> Ist n gerade, so existieren zwei inäquivalente Spinordarstellungen der Dimension $2^{(n=2\ 1)}$. Wenn n=2 gerade ist, so sind die beiden Darstellungen reell, während sie für ungerades n=2 komplex sind, wobei dann die eine das komplex Konjugierte der anderen ist.

Aus diesem Grunde verfügen nur die SO(4n + 2)-Gruppen über komplexe Darstellungen; im Falle der SO(10) sind dies die 16 und die $\overline{16}$.

### 2.3.2 Teilcheninhalt und Symmetriebrechung

Die Hauptmotivation für die Konstruktion von SO(10)-GUTs [40] wird deutlich, wenn man die Verzweigung der 16 bezüglich der Untergruppe SU(5) betrachtet:

$$16 \ ! \ 10 \quad 5 \quad 1 \tag{2.22}$$

In einer 16 können demnach alle Fermionen einer Familie und ein zusätzliches SU(5)-Singulett untergebracht werden. Dieses Singulett besitzt exakt die Eigenschaften und Quantenzahlen des rechtshändigen Neutrinos (beziehungsweise linkshändigen Antineutrinos), da es zur $G_{SM}$-Darstellung $(1;1)_0$ identisch ist.

Hier wird ein großer Vorteil von SO(10)-Modellen gegenüber der SU(5)-GUT deutlich, denn alle Fermionen einer Generation inklusive eines linkshändigen Antineutrinos liegen in einer irreduziblen und komplexen Darstellung der Eichgruppe. Ferner erklärt die Anomaliefreiheit der orthogonalen Gruppen auf natürliche Weise das Verschwinden der Anomalie der SU(5)-Darstellung 10 5.

SO (10)-Modelle sind uberdies zumindest im Eichboson- und Fermionsektor manifest C- und P-invariant. Da in der 16 die linkshandigen Teilchen und Antiteilchen liegen, wird sie durch Anwendung von C auf sich selbst abgebildet. Unter P wird die 16 auf die $\overline{16}$ abgebildet, in welcher die rechtshandigen Teilchen und Antiteilchen untergebracht sind. C- und P-Verletzung kann entweder explizit im Higgs-Sektor oder durch die spontane Symmetriebrechung realisiert werden.

Da der Rang der SO (10) um eins groer als der von $G_{SM}$ ist, existiert eine Vielzahl von moglichen Symmetriebrechungsschemata. Die direkte Brechung in das SM ist dabei ebenso wie die Brechung nach SU (5) [ U (1)] zwar moglich, aber wegen der in Abbildung 2.1 gezeigten SM-Kopplungsentwicklung phanomenologisch ausgeschlossen. Man benotigt demnach mindestens einen Zwischenschritt, das heit

$$SO(10) \xrightarrow{M_U} G_I \xrightarrow{M_I} G_{SM} \xrightarrow{M_Z} SU(3)_C \quad U(1)_{em} \tag{2.23}$$

Es sind Modelle mit bis zu vier aufeinander folgenden intermediaren Symmetriegruppen konstruiert und ausfuhrlich untersucht worden [41, 42], jedoch besitzen sie gegenuber Modellen mit nur einer solchen keine besonderen Vorzuge. Tabelle 2.2 gibt die verschiedenen Moglichkeiten fur den Brechungsschritt SO (10) ! $G_I$ bei $M_U$ und die dafur zu verwendende Higgs-Darstellung mit einem $G_I$-Singulett an.

| Symmetriegruppe $G_I$ | Higgs-Darstellung |
|---|---|
| $SU(4)_C \quad SU(2)_L \quad SU(2)_R$ | 210 |
| $SU(4)_C \quad SU(2)_L \quad SU(2)_R \quad D$ | 54 |
| $SU(4)_C \quad SU(2)_L \quad U(1)_R$ | 45 |
| $SU(3)_C \quad SU(2)_L \quad SU(2)_R \quad U(1)_{B \ L}$ | 45, 210 |
| $SU(3)_C \quad SU(2)_L \quad SU(2)_R \quad U(1)_{B \ L} \quad D$ | 210 |
| $SU(3)_C \quad SU(2)_L \quad U(1)_R \quad U(1)_{B \ L}$ | 210 |

Tabelle 2.2: Intermediare Symmetriegruppen in SO (10)-GUTs

Die D-Paritat [43] ist eine diskrete Symmetrie, welche $SU(2)_L$ und $SU(2)_R$ vertauscht; sie erfordert ein rechts-links-symmetrisches Teilchenspektrum. Wenn die Theorie also Teilchen in einer $SU(2)_L \quad SU(2)_R$-Darstellung $(m;n)$ enthalt, mu auch eine Darstellung $(n;m)$ vorhanden sein. Dies hat zur Folge, da die beiden Eichkopplungen $g_{2L}( )$ und $g_{2R}( )$ uberall zwischen $M_U$ und $M_I$ gleich gro sind und die Paritat erhalten ist.
Welche Symmetriegruppe $G_I$ durch die Brechung mittels einer bestimmten Darstellung realisiert wird, hangt von den jeweiligen Werten der Parameter im Higgs-Potential $V( )$ ab [44]. Die Symmetriebrechung bei $M_I$ in das SM erfolgt in allen Fallen uber einen VEW des $G_{SM}$-Singuletts einer SO (10)-Darstellung 126.

In dieser Arbeit soll ein SO (10)-Modell mit intermediarer $SU(4)_C \quad SU(2)_L \quad SU(2)_R$ $G_{PS}$-Symmetrie untersucht werden. Diese Gruppe gehort zu den maximalen Untergruppen

der SO(10) und ist von Pati und Salam für eine Erweiterung des SM durch eine rechts-links-symmetrische Theorie vorgeschlagen worden [45]. Allerdings hat sich gezeigt, da Modelle mit $G_{PS}$ D-Symmetrie für $M_U$ den Wert $10^{15}$ GeV liefern, welcher auf eine zu kurze Protonlebensdauer führt [42]. $G_{PS}$-Modelle ohne D-Paritat besitzen diesen Nachteil nicht. Der $SU(2)_L$-Faktor ist identisch mit dem in $G_{SM}$, die $SU(2)_R$ ist das rechtshandige Gegenstuck dazu, und die $SU(4)_C$ schlie lich ist eine erweiterte Farbgruppe mit der B L-Quantenzahl als „vierter Farbe\. In SO(10)-basierten Modellen ist B L bei Skalen & $M_I$ eine lokale U(1)-Symmetrie, also Teil der Eichgruppe, und keine globale Symmetrie wie in der SU(5)-GUT. Das hat zur Folge, da auch Bosonen nichtverschwindendes B L besitzen konnen.

Die Fermiondarstellung 16 verzweigt sich bezuglich $G_{PS}$ und $SU(3)_C$ $SU(2)_L$ gema

$$16 \quad ! \quad (4;2;1) \quad 4(;1;2) \qquad (2.24)$$

$$\begin{array}{cccccccc} u_1 & u_2 & u_3 & e & d_1^c & d_2^c & d_3^c & e^+ \\ d_1 & d_2 & d_3 & e_L & u_1^c & u_2^c & u_3^c & e_L^c \end{array}$$

$$! \quad (3;2) \quad (1;2) \quad 2(3;1) \quad 2(1;1) \qquad (2.25)$$

Der Operator der elektrischen Ladung ist durch $Q = T_{3L} + T_{3R} + (B \quad L)=2$ gegeben, die SM-Hyperladung durch $Y = T_{3R} + (B \quad L)=2$. Die adjungierte Darstellung 45, in der die Eichbosonen liegen, verzweigt sich bezuglich $G_{PS}$ wie

$$45 \quad ! \quad (15;1;1) \quad (1;3;1) \quad (1;1;3) \quad (2;2;6) \qquad (2.26)$$

Die ersten drei Faktoren entsprechen den $G_{PS}$-Eichbosonen. Die (2,2,6) enthalt neben den aus der SU(5)-GUT bekannten X-und Y-Bosonen die ebenfalls baryon-und leptonzahlverletzende Prozesse vermittelnden $X^0$-und $Y^0$-Bosonen (und deren Antiteilchen); sie haben die Ladungen +2=3 beziehungsweise 1=3 und Massen der Gro enordnung $M_U$. Abbildung 2.5 zeigt die zugehorigen Wechselwirkungsvertizes. In der (15,1,1) liegen die acht Gluonen der QCD, ein an B L koppelndes neutrales Boson und die $SU(3)_C$-Tripletts $X_3$ und $X_3$ mit $Q(X_3) = +2=3$.

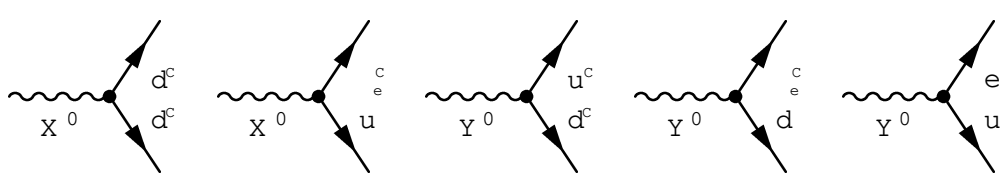


Abbildung 2.5: Baryonzahlverletzende Vertizes der $X^0$- und $Y^0$-Bosonen

Der vollstandige baryonzahlverletzende Teil der SO(10)-Lagrangedichte für die erste

Fermionfamilie und ohne Mischungen lautet [20]:

$$\begin{aligned}
L_{B\not{L}0} &= \frac{g_U}{\sqrt{2}} X \quad " \quad u_L^C \quad u_L + d_L \quad e_L^+ + d_R \quad e_R^+ \\
&+ \frac{g_U}{\sqrt{2}} Y \quad " \quad u_L^C \quad d_L \quad d_R \quad {}^C_{eR} \quad u_L \quad e_L^+ \\
&+ \frac{g_U}{\sqrt{2}} X^0 \quad " \quad d_L^C \quad d_L \quad u_L \quad {}^C_{eL} \quad u_R \quad {}^C_{eR} \\
&+ \frac{g_U}{\sqrt{2}} Y^0 \quad " \quad d_L^C \quad u_L \quad d_L \quad {}^C_{eL} \quad u_R \quad e_R^+ \\
&+ \frac{g_U}{\sqrt{2}} X_3 \quad d_L \quad e_L + d_R \quad e_R + u_L \quad {}_{eL} + u_R \quad {}_{eR} \\
&+ \text{h.c.}
\end{aligned} \tag{2.27}$$

Durch direkten $X_3$-Austausch konnen keine Nukleonenzerfalle vermittelt werden, was auch notwendig ist, da deren Massen der Groenordnung $M_I$ zu sehr groen Zerfallsraten fuhren wurden. Durch $X_3$-$X^0$-Mischung entstehen in hoheren Ordnungen $B\quad L$-verletzende Nukleonzerfalle, die aber gegenuber den Prozessen fuhrender Ordnung durch zusatzliche Faktoren $1=M_U$ unterdruckt sind [34].

### 2.3.3 Fermionmassen

Dirac-Massenterme fur die geladenen Fermionen und die Neutrinos haben die Struktur $m\,(\,{}^C_L)^T C\,{}_L$ und besitzen demnach das SO (10)-Transformationsverhalten

$$16 \quad 16 = 10 \quad 120 \quad 126 \tag{2.28}$$

Die Fermionmassen und die Symmetriebrechung $G_{SM} \xrightarrow{M_Z} SU(3)_C \quad U(1)_{em}$ kommen also zustande, wenn die farblosen und elektrisch neutralen Komponenten von Higgs-Teilchen in den Darstellungen $\overline{10}$, $\overline{120}$ oder $\overline{126}$ einen VEW der Groenordnung $M_Z$ ausbilden. Diese Darstellungen verzweigen sich folgendermaen unter $G_{PS}$ (siehe Anhang A.2):

$$10 \quad ! \quad (1;2;2) \quad (6;1;1) \tag{2.29}$$

$$120 \quad ! \quad (1;2;2) \quad (15;2;2) \quad (6;3;1) \quad (6;1;3) \quad (10;1;1) \quad \overline{(10;1;1)} \tag{2.30}$$

$$126 \quad ! \quad (15;2;2) \quad (10;3;1) \quad \overline{(10;1;3)} \quad (6;1;1) \tag{2.31}$$

Da die linkshandigen Teilchen in (4,2,1) und die linkshandigen Antiteilchen in $(4;1;2)$ liegen, wird die Erzeugung von Dirac-Massen wegen

$$(4;2;1) \quad (4;1;2) = (15;2;2) \quad (1;2;2) \tag{2.32}$$

durch die $SU(2)_L$-Doubletts in den $G_{PS}$-Darstellungen (1,2,2) der 10 und 120 sowie denen in den (15,2,2) der 120 und 126 vermittelt. Ferner konnen aufgrund von

$$(4;2;1) \quad (4;2;1) \quad \overline{(10;3;1)} = (1;1;1) \quad :::::: \tag{2.33}$$

$$(4;1;2) \quad (4;1;2) \quad (10;1;3) = (1;1;1) \quad :::::: \tag{2.34}$$

uber den Term $16 \quad 16 \quad \overline{126}$ auch Majorana-Massen fur die links- und rechtshandigen Neutrinos auftreten. Da der VEW des SM-Singuletts in (10,1,3) den Symmetriebrechungsschritt $G_{PS} \xrightarrow{M_I} G_{SM}$ realisiert, sind die Majorana-Massen der rechtshandigen Neutrinos zwangslaufig von der Groenordnung $M_I$.

Die verschiedenen Yukawa-Kopplungen und VEW der 10, 120 und 126 sind in Tabelle 2.3 zusammengefat (die Indizes numerieren mehrere Darstellungen einer Art, wenn vorhanden). Damit die beiden VEW, die zu jeder $G_{PS}$-Darstellung gehoren, verschieden sein konnen,

| Higgs-Darstellung | $(1;2;2)^{(i)}_{10}$ | $(1;2;2)^{(j)}_{120}$ | $(15;2;2)^{(k)}_{120}$ | $(15;2;2)^{(l)}_{126}$ |
|---|---|---|---|---|
| Yukawa-Kopplungsmatrix | $Y^{(i)}_{10}$ | $Y^{(j)}_{120}$ | $Y^{(k)}_{120}$ | $Y^{(l)}_{126}$ |
| Vakuumerwartungswerte | $^{(i)}_u$, $^{(i)}_d$ | $\tilde{}^{(j)}_u$, $\tilde{}^{(j)}_d$ | $\doteq^{(k)}_u$, $\doteq^{(k)}_d$ | $!^{(l)}_u$, $!^{(l)}_d$ |

Tabelle 2.3: Higgs-Kopplungen und Vakuumerwartungswerte in SO(10)-GUTs

mu diese komplex sein. Das lat sich durch Kombination zweier reeller Darstellungen $R_1; R_2$ zu $R = R_1 + iR_2$ erreichen.

Mit den in Tabelle 2.3 festgelegten Bezeichnungen fur die Kopplungen und VEW (unter Vernachlassigung der oberen Indizes) ergeben sich fur die Fermionmassenmatrizen in einer SO(10)-GUT folgende Identitaten [46]:

$$M_d = {}_dY_{10} + !_dY_{126} + (\tilde{}_d + \doteq_d)Y_{120} \tag{2.35}$$

$$M_e = {}_dY_{10} \quad 3!_dY_{126} + (\tilde{}_d \quad 3\doteq_d)Y_{120} \tag{2.36}$$

$$M_u = {}_uY_{10} + !_uY_{126} + (\tilde{}_u + \doteq_u)Y_{120} \tag{2.37}$$

$$M^{(Dir)} = {}_uY_{10} \quad 3!_uY_{126} + (\tilde{}_u \quad 3\doteq_u)Y_{120} \tag{2.38}$$

$$M^{(Maj)}_R \quad M_IY_{126} \tag{2.39}$$

$$M^{(Maj)}_L \quad \frac{!^2_u}{M_I}Y_{126} \tag{2.40}$$

Die Beziehungen (2.35-2.40) sind in SO(10)-Theorien mit intermediarer $G_{PS}$ [ D ]-Symmetrie im gesamten Bereich oberhalb von $M_I$ gultig, wahrend sie fur die anderen $G_I$ in Tabelle 2.2 nur oberhalb von $M_U$ gelten.

In (2.35-2.40) ist zu berucksichtigen, da $Y_{10}$ und $Y_{126}$ symmetrisch sind, wahrend $Y_{120}$ antisymmetrisch ist. Um Modelle mit asymmetrischen Massenmatrizen konstruieren zu konnen, mu also mindestens eine 120 an der Massenerzeugung beteiligt sein. Die Faktoren ( 3) sind Clebsch-Gordan-Koeffizienten, welche auf der nichttrivialen $SU(4)_c$-Struktur der (15,2,2) beruhen.

Wird im einfachsten Fall lediglich eine (komplexe) 10 verwendet, gilt zwischen den Massenmatrize die Beziehung

$$M_e = M_d \quad M_u = M^{(Dir)}; \tag{2.41}$$

in der die SU(5)-Vorhersage $M_e = M_d$ enthalten ist. Genauso wie dort fuhrt (2.41) aber zu falschen Werten fur die Fermionmassen bei $M_z$. Verwendet man Modelle mit

komplizierterer Higgs-Struktur, kann man Massen und Mischungen der Fermionen korrekt beschreiben.

Die beiden Majorana-Massenmatrizen der Neutrinos sind nur bis auf konstante Vorfaktoren bekannt, die wiederum von der expliziten Form des Higgs-Potentials und den Werten der Parameter in diesem abhangen. Da es fur Modelle mit nichtminimalem Higgs-Inhalt praktisch unmoglich ist, das zugehorige Potential im Detail zu analysieren, kann man lediglich plausible Annahmen uber die Vorfaktoren machen. Wir werden im folgenden davon ausgehen, da sie betragsmaig zwischen 1=100 und 100 liegen. Majorana-Massenmatrizen sind aufgrund der Spinor-Struktur (1.10-1.11) der entsprechenden Massenterme stets symmetrisch. Im Rahmen von SO(10)-Modellen konnen sie nur durch Kopplungen an 126-Darstellungen erzeugt werden.

Die Majorana-Massen der linkshandigen Neutrinos, die durch einen VEW der $(\overline{10};3;1)$ in (2.33) entstehen konnen, mussen sehr klein sein, da sie sonst zu beobachtbaren Effekten in durch neutrale schwache Strome vermittelten Prozessen fuhren wurden. Die Konstruktion eines Potentials, in dem dieser VEW verschwindet, sto jedoch auf formale Probleme, denn in hoheren Ordnungen treten Divergenzen auf, die nur dann absorbiert werden konnen, wenn der VEW der $(\overline{10};3;1)$ ungleich Null ist [47]. Es kann allerdings gezeigt werden, da er von der Groenordnung $!_u^2=M_I$ sein mu [48] und somit gegenuber den Dirac-Massen um einen Faktor $!_u=M_I$ unterdruckt ist und vernachlassigt werden kann.

Bei Skalen unterhalb von $M_I$ ist das Teilchenspektrum das des SM. Das Higgs-Doublett im SM ist eine bestimmte Linearkombination aus den $SU(2)_L$-Doubletts in den $(1;2;2)$- und $(15;2;2)$-Darstellungen, welche an der Massenerzeugung mitwirken. Die ubrigen Linearkombinationen haben Massen $M_I$ und treten im SM deshalb nicht in Erscheinung [49].

### 2.3.4 See-Saw-Mechanismus

Die Massen der linkshandigen Neutrinos mussen, wenn sie von Null verschieden sind, sehr viel kleiner als die der geladenen Fermionen sein. Die Obergrenzen aus den Experimenten zur direkten Messung von Neutrinomassen liegen bei $m_e < 15$ eV (Untersuchung des $-$Spektrums von Tritium), $m < 0{:}17$ MeV (aus $-$Zerfallen) und $m < 18{:}2$ MeV (aus $-$Zerfallen) [7]. Kosmologische Argumente schranken die Grenzen der Massenwerte weiter ein [50]; damit die kritische Dichte des Universums nicht uberschritten wird, mu fur die Summe der Massen leichter stabiler Neutrinos $\sum_i m_i < 30$ eV gelten. Rechtshandige Neutrinos dagegen mussen sehr massiv sein, da sie experimentell nicht beobachtet werden.

Der See-Saw-Mechanismus [51] liefert in Modellen mit rechtshandigen Neutrinos und einer Skala $M_I \quad M_Z$, bei der die Leptonzahlerhaltung verletzt wird, eine naturliche Erklarung fur die oben angegebenen Eigenschaften des Neutrinomassenspektrums. Seine Wirkungsweise soll zunachst am einfachen Fall einer Fermiongeneration verdeutlicht werden.

Der allgemeinste Massenterm für das Neutrino lautet:

$$\begin{aligned} L_M &= \frac{1}{2} m_R^{(Maj)} \; {}^C_L \; {}_R \quad \frac{1}{2} m_L^{(Maj)} \; {}_L \; {}^C_R \quad m^{(Dir)} \; {}_L \; {}_R + h.c. \\ &= \frac{1}{2} \; {}_L \; {}^C_L \quad M \quad \begin{matrix} {}^C_R \\ {}_R \end{matrix} + h.c. \end{aligned} \tag{2.42}$$

mit

$$M = \begin{pmatrix} m_L^{(Maj)} & m^{(Dir)} \\ m^{(Dir)} & m_R^{(Maj)} \end{pmatrix} \tag{2.43}$$

In SO(10)-GUTs mit intermediärer Symmetrie gelten die Relationen

$$\frac{m^{(Dir)}}{m_R^{(Maj)}} \quad 1 \quad \text{und} \quad \frac{m_L^{(Maj)}}{m^{(Dir)}} \quad 1 ; \tag{2.44}$$

da, wie im vorigen Abschnitt erläutert wurde, $m^{(Dir)}$ dieselbe Größenordnung wie die Masse des positiv geladenen Quarks hat und $m_R^{(Maj)}$ von der Ordnung der B L-brechenden Skala $M_I$ ist; $m_L^{(Maj)}$ wiederum ist gegenüber $m^{(Dir)}$ stark unterdrückt.

Die Diagonalisierung von M führt (abgesehen von Korrekturen $m^{(Dir)}=m_R^{(Maj)}$) auf die Masseneigenzustände

$$_1 = \frac{1}{\sqrt{2}} ( \; _L + \; ^C_R ) \quad \text{und} \quad _2 = \frac{1}{\sqrt{2}} ( \; _R + \; ^C_L ) \tag{2.45}$$

und ihre Massen

$$m \; _1 \quad m_L^{(Maj)} \quad \frac{m^{(Dir)}}{m_R^{(Maj)}} \; m^{(Dir)} \quad \frac{m^{(Dir)}}{m_R^{(Maj)}} \; m^{(Dir)} \tag{2.46}$$

$$m \; _2 \quad m_R^{(Maj)} + \frac{m^{(Dir)}}{m_R^{(Maj)}} \; m^{(Dir)} \quad m_R^{(Maj)} \tag{2.47}$$

Anstelle eines Dirac-Neutrinos $= \; _L + \; _R$ erhält man auf diese Weise zwei Majorana-Neutrinos $_1$ und $_2$ (es gilt $^C_{1;2} = \; _{1;2}$) mit Massen $m \; _{1;2}$, wobei $m \; _1 \quad M_Z \quad m \; _2$ ist. Das leichte Majorana-Neutrino $_1$ entspricht dem Neutrino des SM; das rechtshändige Antineutrino des SM ist identisch mit $_{1R} \quad ^C_{1R}$. Das schwere Neutrino $_2$ ist aufgrund seiner Masse $m \; _2 \quad M_I$ nicht beobachtbar.

Aus (2.46) und (2.47) folgt die „See-Saw\"-Relation

$$m \; _1 \quad m_2 \quad m^{(Dir)} \quad m^{(Dir)} \; . \quad M_Z^2 ; \tag{2.48}$$

je schwerer $_2$ ist, desto leichter wird $_1$.

Die Verallgemeinerung von (2.42) auf den Fall von n Fermionfamilien liefert

$$L_M = \frac{1}{2} \; _L \; ^C_L \quad M \quad \begin{matrix} {}^C_R \\ {}_R \end{matrix} + h.c. \tag{2.49}$$

mit n-dimensionalen Vektoren $_{L;R}$ und der symmetrischen (2n 2n)-Matrix

$$M = \begin{pmatrix} M_L^{(Maj)} & M^{(Dir)} \\ M^{(Dir)\ T} & M_R^{(Maj)} \end{pmatrix} \tag{2.50}$$

Hier sind die nichtverschwindenden Eintrage von $M_L^{(Maj)}$ betragsmaig sehr viel kleiner als die von $M^{(Dir)}$, und diese sind wiederum sehr viel kleiner als die von $M_R^{(Maj)}$ (siehe auch (2.38-2.40)). Indem man M auf blockdiagonale Form bringt, erhalt man n leichte Majorana-Neutrinos $_i$ mit der symmetrischen Massenmatrix

$$M \quad M_L^{(Maj)} \quad M^{(Dir)} M_R^{(Maj)\ 1} M^{(Dir)\ T} \quad M^{(Dir)} M_R^{(Maj)\ 1} M^{(Dir)\ T}; \tag{2.51}$$

der sogenannten See-Saw-Matrix, und n schwere Majorana-Neutrinos $N_i$ mit der Massenmatrix

$$M_N \quad M_R^{(Maj)} + M^{(Dir)} M_R^{(Maj)\ 1} M^{(Dir)\ T} \quad M_R^{(Maj)} \tag{2.52}$$

Die Diagonalisierung von M und $M_N$

$$N_L^y M \ N_L = M^{(D)}; \quad N_R^y M_N N_R = M_N^{(D)} \tag{2.53}$$

liefert fur n = 3 die physikalischen Neutrinos $_e$, , beziehungsweise $N_e$, N , N sowie deren Massen und Mischungen. Letztere haben nun Auswirkungen auf die leptonischen Anteile der geladenen schwachen Strome im SM, welche sich beim Ubergang von Wechselwirkungs- zu Masseneigenzustanden analog zu (1.31) gema

$$_L^{a(0)} \quad e_L^{a(0)} W^+ \quad =) \quad N_L^y E_L \ _{ab} \ _L^b \quad e_L^a W^+ \tag{2.54}$$

$$e_L^{a(0)} \quad _L^{a(0)} W \quad =) \quad e_L^a \quad E_L^y N_L \ _{ab} \ _L^b W \tag{2.55}$$

andern (a und b sind Familienindizes). Die unitare Matrix $U \quad E_L^y N_L$ entspricht der CKM-Matrix im Quarksektor und kann in Neutrino-Oszillationsexperimenten gemessen werden. Die beobachtbaren Effekte der Neutrinomassen und -mischungen werden im nachsten Kapitel erlautert.

### 2.3.5 Zusammenfassung

Im Vergleich zur SU (5)-GUT sind SO (10)-Modelle mit intermediarer Symmetriephanomenologisch sehr erfolgreich, und es sind bis heute keine experimentellen Resultate bekannt, die sie ausschlieen. Zusatzlich zu den positiven Eigenschaften, welche schon die SU (5) besa, kommen hier folgende Vorzuge:

- Alle Fermionen einer Generation, einschlielich des rechtslandigen Neutrinos, liegen in einer irreduziblen Darstellung.
- Die Eigenschaften der Neutrinos, insbesondere deren Massen und Mischungen, konnen durch den See-Saw-Mechanismus befriedigend erklart werden.

Die SO(10) ist automatisch anomaliefrei, enthält $B - L$ als lokale Symmetrie und besitzt rechts-links-symmetrische Untergruppen.

Die Probleme, welche weder in SO(10)-Modellen noch in anderen GUTs gelöst werden können, sind im letzten Abschnitt zusammengefaßt.

## 2.4 $E_6$

Die $E_6$ [30, 52] ist die einzige exzeptionelle Lie-Gruppe mit komplexen Darstellungen. Zu den maximalen Untergruppen der $E_6$ gehören die für die Symmetriebrechung nach $G_{SM}$ in Frage kommenden $SO(10) \times U(1)$ und $[SU(3)]^3$. Letztere kann man als $SU(3)_L \times SU(3)_R \times SU(3)_C$-Symmetrie interpretieren.

Die Fermionen einer Generation liegen in der komplexen Fundamentaldarstellung 27, welche sich bezüglich der $SO(10)$ und $[SU(3)]^3$ gemäß

$$27 \quad \to \quad 16 \quad 10 \quad 1 \tag{2.56}$$

$$27 \quad \to \quad (\bar{3};3;1) \quad (3;1;3) \quad (1;\bar{3};3) \tag{2.57}$$

verzweigt. Im Gegensatz zu den SU(5)- und SO(10)-Modellen enthält die $E_6$-GUT zusätzliche Fermionen, die im SM nicht beobachtet werden und somit superschwer sein müssen. In der 10 liegen ein Quark D mit Ladung $-1/3$, ein leptonisches $SU(2)_L$-Doublett $(N;E)$ sowie die zugehörigen Antiteilchen; das SO(10)-Singulett wird mit L bezeichnet.
Die adjungierte Darstellung 78 der $E_6$ enthält die Eichbosonen der Theorie. Die im Vergleich zur SO(10) neu hinzukommenden Eichbosonen koppeln sowohl an die superschweren als auch an die SM-Fermionen und liefern zu Nukleonzerfällen keine Beiträge.
Die Fermionmassen besitzen das $E_6$-Transformationsverhalten

$$27 \quad 27 = 27 \quad 351 \quad 351', \tag{2.58}$$

wobei die 351 und die $351'$ inäquivalent sind. Unter SO(10) verzweigen sich diese beiden Darstellungen wie

$$351 \quad \to \quad 1 \quad 10 \quad 126 \quad :::::: \tag{2.59}$$

$$351' \quad \to \quad 10 \quad 120 \quad :::::: \tag{2.60}$$

Die 351 kann $E_6$ in die SO(10) brechen, ohne daß die SM-Fermionen Massen der Größenordnung $M_U$ bekommen; in diesem Brechungsschritt werden nur Massen für die neuen Fermionen erzeugt. Die Brechung $G_{SM} \to SU(3)_C \times U(1)_{em}$ und die Erzeugung der SM-Massen werden durch die Higgs-Darstellung $\overline{27}$ realisiert. Um asymmetrische Massenmatrizen erhalten zu können, muß eine $351'$ vorhanden sein.

Die kleinste Darstellung, welche die Symmetriebrechung $E_6 \to [SU(3)]^3$ realisieren kann, ist die 650. In beiden Brechungsschemata ergeben sich Lebensdauern für das Proton, die weit oberhalb des experimentell zugänglichen Bereichs liegen.

Offensichtlich ist die allgemeine Struktur von $E_6$-GUTs wesentlich komplizierter als die von SO(10)-Modellen; insbesondere die Existenz exotischer superschwerer Fermionen kommt neu hinzu. Dem steht als Vorteil die Moglichkeit gegenuber, Fermionmassen und -mischungen durch Strahlungskorrekturen zu erzeugen [53].

## 2.5 Probleme und Grenzen von GUTs

Wie in diesem Kapitel dargestellt wurde, konnen GUTs viele Schwachen des SM erfolgreich beheben. Ferner liefern sie eine Reihe von zumindest grundsatzlich uberprufbaren Vorhersagen wie zum Beispiel die Instabilitat der Nukleonen oder die Neutrinomassen und -mischungen. Es gibt jedoch auch Probleme, die im Rahmen von nichtsupersymmetrischen GUT-Modellen nicht gelost werden konnen. Man kann sie in rein technische und fundamentale Probleme unterteilen.

Zu den ersteren gehoren das schon erwahnte Hierarchieproblem und die daraus resultierenden Feineinstellungen verschiedener Parameter. Diese Feineinstellungen sind bezuglich Strahlungskorrekturen instabil, so da sie fur jede Ordnung der Storungstheorie durchgefuhrt werden mussen. Das $_{QCD}$-Problem ($_{QCD} \lesssim 10^{-9}$) gehort ebenfalls in diese Kategorie.

Ungeloste fundamentale Fragestellungen sind die Abwesenheit der Gravitationswechselwirkung in GUTs, eine fehlende Erklarung fur die Existenz dreier Fermionfamilien und ein hohes Ma an Unbestimmtheit im Higgs-Sektor der Modelle. Auch der Ursprung der Massenhierarchie der Fermionen kann nicht geklart werden, obwohl es in GUTs im Gegensatz zum SM Beziehungen zwischen den Massenmatrizen der verschiedenen Fermionarten gibt.

Eine wirklich befriedigende Losung dieser Probleme im Rahmen einer fundamentaleren Theorie als den hier geschilderten GUT-Modellen steht jedoch bis heute aus.

# Kapitel 3

# Neutrino-Oszillationen

## 3.1 Theoretische Grundlagen

Neutrino-Oszillationen [16, 54] konnen auftreten, wenn die Masseneigenzustande der Neutrinos nicht mit den Wechselwirkungseigenzustanden ubereinstimmen. Dies ist in SO(10)-Modellen mit intermediarer Symmetrie im allgemeinen der Fall, da der See-Saw-Mechanismus aus Abschnitt 2.3.4 fur die leichten Majorana-Neutrinos ( = e; ; ) die ublicherweise nichtdiagonale Massenmatrix (2.51) liefert. Wenn die Mischungsmatrix $N_L \neq 1$ ist, sind die Linearkombinationen der Neutrinos $_k$ (k = 1,2,3) mit den Massen $m_k$, wobei $m_1$ $m_2$ $m_3$ gelten soll:

$$_{L;R} = \sum_{k=1}^{3} U_{k\ kL;R} \; ; \quad U \quad E_L^y N_L \tag{3.1}$$

Die schweren Neutrinos N entkoppeln bei Skalen $M_I$ und spielen fur die in diesem Kapitel geschilderten Phanomene keine Rolle.

### 3.1.1 Vakuumoszillationen

Zunachst sollen Oszillationen im Vakuum betrachtet werden. Der quantenmechanische Zustand eines zur Zeit t = 0 in einem elektroschwachen Proze erzeugten relativistischen Neutrinos mit Impuls p $m_k$ ist durch

$$j \ (x;t=0)i = \sum_k U_{k} e^{ipx} j_k(x;t=0)i \tag{3.2}$$

gegeben. Die Zeitentwicklung der Zustande $j_k(x;t=0)i$ gema der Schrodinger-Gleichung liefert unter Verwendung von

$$E = E(_k) = \sqrt{p^2 + m_k^2} \quad p + \frac{m_k^2}{2p} \quad \text{und} \quad x \quad ct \quad (c \quad 1) \tag{3.3}$$

fur $j \ (x)i$ die Beziehung

$$j \ (x)i = \sum_k U_{k} e^{\ i(m_k^2=2E)x} j_k(0)i \tag{3.4}$$

Druckt man $|\nu_k(x=0)\rangle$ als Linearkombination der $|\nu_\alpha(x=0)\rangle$ aus, so ergibt sich

$$|\nu_\alpha(x)\rangle = \sum_{k,\beta} U_{\alpha k} U^*_{\beta k} e^{-i(m_k^2/2E)x} |\nu_\beta(0)\rangle \tag{3.5}$$

Mit $P(\alpha \to \beta; L)$ sei die Wahrscheinlichkeit bezeichnet, daß ein Neutrino der Energie $E$, welches bei $x = 0$ als $\alpha$ erzeugt wurde, in einer Entfernung $L$ von der Quelle als $\beta$ detektiert wird. Dann gilt unter Berücksichtigung der Unitarität von $U$ (die in Modellen mit See-Saw-Mechanismus bis auf Korrekturen der Ordnung $M_Z/M_I$ gegeben ist):

$$P(\alpha \to \beta; L) = |\langle \nu_\beta(L)|\nu_\alpha(0)\rangle|^2 = |\delta_{\alpha\beta} + \sum_{k=2}^{3} U_{\alpha k} U^*_{\beta k} [e^{-i(m_{k1}^2/2E)L} - 1]|^2 \tag{3.6}$$

Hierbei ist $m_{k1}^2 \equiv m_k^2 - m_1^2$. Aus der CPT-Invarianz folgen ferner die Beziehungen

$$P(\alpha \to \beta; L) = P(\beta \to \alpha; L) \quad \text{und} \quad P(\alpha \to \alpha; L) = P(\beta \to \beta; L) \tag{3.7}$$

Die Übergangswahrscheinlichkeit für $\alpha \to \beta$ hängt demnach von den Elementen von $U$, von zwei unabhängigen Differenzen der Massenquadrate und vom Parameter $L/E$ ab. Sie kann dann von Null verschieden sein, wenn $U \neq 1$ ist und für mindestens ein $k$ $m_{k1}^2 \gtrsim E/L$ gilt. Ist dies der Fall, so wird ein Neutrinostrahl, welcher bei $x = 0$ nur aus $\alpha$ besteht, an einem Ort $x = L$ auch Neutrinos der Art $\beta \neq \alpha$ beinhalten. Ein nur für den Nachweis von $\beta$ geeignetes Experiment wird dann ein Neutrinodefizit feststellen.

Die Bedeutung von (3.6) wird besonders klar, wenn man den Fall zweier Neutrino-Arten betrachtet. Dann besitzt $U$ die einfache Parametrisierung

$$U = \begin{pmatrix} \cos\vartheta & \sin\vartheta \\ -\sin\vartheta & \cos\vartheta \end{pmatrix} \tag{3.8}$$

($U$ kann zwar CP-verletzende Phasen enthalten, die aber auf Neutrino-Oszillationen keinen Einfluß haben) und es gilt:

$$P(\alpha \to \beta; L) = \frac{1}{2}\sin^2 2\vartheta \left[1 - \cos(\Delta m^2 L/2E)\right] \quad (\alpha \neq \beta) \tag{3.9}$$

$$P(\alpha \to \alpha; L) = P(\beta \to \beta; L) = 1 - P(\alpha \to \beta; L) \tag{3.10}$$

Die Übergangswahrscheinlichkeit (3.9) ist eine periodische Funktion von $L/E$; dieses Phänomen wird als Neutrino-Oszillation bezeichnet. Die Amplitude der Oszillation ist gleich $\sin^2 2\vartheta$, hängt also allgemein von den Eintragen von $U$ ab, und die Oszillationslänge ist durch $L^{osc} = 4\pi E/\Delta m^2$ gegeben. Oszillationseffekte können demnach beobachtet werden, sofern $L \gtrsim L^{osc}$ ist.

Bei der Datenanalyse von Oszillationsexperimenten wird im allgemeinen von nur zwei beteiligten Neutrino-Arten ausgegangen und (3.9–3.10) verwendet. Die graphische Auswertung erfolgt dann in $\sin^2 2\vartheta$ – $\Delta m^2$-Diagrammen, wobei die Nichtbeobachtung von Oszillationen abhängig von der Nachweisempfindlichkeit des Experiments bestimmte Bereiche des Parameterraums

ausschlie t, wahrend positive Resultate zu mehr oder weniger eng begrenzten erlaubten Parameterbereichen fuhren.
Oszillationsexperimente konnen lediglich Aussagen uber die Gro en $\Delta U$ und $m^2_{jk}$ machen. Auf diese Weise lassen sich die Verhaltnisse je zweier Neutrinomassen bestimmen, nicht aber die Massenwerte selbst.

### 3.1.2 Oszillationen in Materie

Wenn Neutrinos Materie durchqueren, kann der sogenannte Mikheyev-Smirnov-Wolfenstein-Effekt (MSW-Effekt) [55,56] auftreten, welcher das Oszillationsverhalten im Vergleich zum Vakuumfall modifiziert. Ursache des MSW-Effekts ist die Tatsache, da in Materie fur die Teilchendichten $N_i$ der geladenen Leptonen $N_e \quad N \; ; \quad 0$ gilt. Wahrend alle Neutrinos die gleiche Wechselwirkung uber neutrale schwache Strome erfahren, wechselwirken nur die Elektron-Neutrinos uber geladene schwache Strome mit der Materie. Das fuhrt zu einer Flavour-Asymmetrie in der Vorwarts-Streuung von Neutrinos, die eine Phasenverschiebung zur Folge hat und sich somit auf die Zeitentwicklung des Gesamtsystems auswirkt [55].

Eine formale Analyse dieses Sachverhalts liefert fur zwei Neutrino-Arten wieder die Beziehungen (3.9–3.10), wobei allerdings die Vakuumgro en $\sin^2 2$ und $L^{osc}$ durch die neuen Gro en

$$\sin^2 2_M \quad = \quad \frac{\sin^2 2}{(\cos 2 \quad L^{osc}/L_0)^2 + \sin^2 2} \quad \text{und} \tag{3.11}$$

$$L^{osc}_M \quad = \quad \frac{L^{osc}}{\sqrt{(\cos 2 \quad L^{osc}/L_0)^2 + \sin^2 2}} \tag{3.12}$$

mit $L_0 = 2 \; /(\sqrt{2} G_F N_e)$ ersetzt werden mussen. Daraus ergeben sich folgende Spezialfalle:

$L^{osc} \quad L_0$ (geringe Elektronendichte):

$$\sin^2 2_M \quad \sin^2 2 \; ; \quad L^{osc}_M \quad L^{osc} \tag{3.13}$$

Die Materie-Effekte sind vernachlassigbar klein.

$L^{osc} \quad L_0$ (hohe Elektronendichte):

$$\sin^2 2_M \quad (L_0/L^{osc})^2 \sin^2 2 \quad 0 \; ; \quad L^{osc}_M \quad L_0 \tag{3.14}$$

Die Vakuumparameter sind stark unterdruckt; die Amplitude ist verschwindend klein und die Oszillationslange ergibt sich unabhangig von $L^{osc}$.

$L^{osc}/L_0 = \cos 2$ :

$$\sin^2 2_M \; = \; 1 \; ; \quad L^{osc}_M \; = \; L^{osc}/\sin 2 \tag{3.15}$$

Die Oszillationsamplitude ist maximal, auch wenn der entsprechende Vakuumwert $\sin^2 2$ sehr klein ist. Besitzt die Materieverteilung eine raumliche Ausdehnung der Gro enordnung $L^{osc}_M$, so kann die Ubergangswahrscheinlichkeit durchaus . 1 sein. Dieses Resonanzverhalten von (3.11) wird als MSW-Effekt bezeichnet [56].

Die Materie-Effekte auf das Oszillationsverhalten sind besonders für den Fall der im Inneren der Sonne erzeugten Elektron-Neutrinos von Bedeutung.

## 3.2 Experimentelle Situation

Die Neutrino-Oszillationsexperimente lassen sich grob in zwei Kategorien unterteilen. Die „Appearence\"-Experimente untersuchen das Erscheinen von $_{\epsilon}$ in einem Neutrinostrahl, welcher bei seiner Entstehung ausschließlich aus -Neutrinos bestand, während „Disappearence\"-Experimente nach einer Verringerung des -Flusses in einem solchen Strahl suchen. Weiterhin kann man die Experimente nach den Neutrinoquellen unterscheiden; es finden Neutrinos aus Beschleunigern, Kernreaktoren und natürlichen Quellen Verwendung. Ausführliche Referenzen zu den hier erwähnten Oszillationsexperimenten finden sich in [16]. Bis heute sind drei Indizien bekannt, die auf Neutrino-Oszillationen hindeuten.

### 3.2.1 Sonnen-Neutrinos

Struktur und Dynamik der Sonne werden durch das Standard-Sonnenmodell (SSM) [57] beschrieben und gelten als gut verstanden. Die Energie wird im Kern der Sonne über die thermonuklearen pp- und CNO-Reaktionsketten erzeugt; der zugrundeliegende Fusionsprozeß ist in beiden Fällen

$$4p \;\; ! \;\; + 2e^{+} + 2 \; _{e} + 26{:}7\,MeV \tag{3.16}$$

Das Energiespektrum der Elektron-Neutrinos ist inhomogen und reicht je nach erzeugender Reaktion von 100 keV bis zu 15 MeV. Da die Unsicherheiten in den SSM-Vorhersagen über den Neutrinofluß relativ klein sind, eignet sich dieser gut für die Suche nach Oszillationen $_{e}$ ! $\;$ ; . Alle bisher durchgeführten Messungen haben beträchtliche Differenzen zwischen tatsächlich gemessenen Ereignissen $N_{Exp}$ und den aufgrund von Monte-Carlo-Simulationen erwarteten Ereignissen $N_{SSM}$ festgestellt; die Resultate sind in Tabelle 3.1 dargestellt [16].

| Experiment | Nachweisreaktion | Energiebereich (MeV) | $R = N_{Exp}/N_{SSM}$ |
|---|---|---|---|
| Homestake | $Cl^{37}(_{e};e)Ar^{37}$ | $E > 0{:}814$ | $0{:}33 \quad 0{:}06$ |
| GALLEX | $Ga^{71}(_{e};e)Ge^{71}$ | $E > 0{:}233$ | $0{:}60 \quad 0{:}07$ |
| SAGE | $Ga^{71}(_{e};e)Ge^{71}$ | $E > 0{:}233$ | $0{:}52 \quad 0{:}07$ |
| Kamiokande | $_{e}e \;\; ! \;\; _{e}e$ | $E > 7{:}5$ | $0{:}54 \quad 0{:}07$ |
| Super-Kamiokande | $_{e}e \;\; ! \;\; _{e}e$ | $E > 6{:}5$ | $0{:}47 \quad 0{:}08$ |

Tabelle 3.1: Sonnen-Neutrino-Experimente und deren Resultate für $R = N_{Exp}/N_{SSM}$

Homestake verwendet zum Nachweis 600 t $C_2Cl_4$, GALLEX und SAGE bestehen aus 30 t Galliumchlorid beziehungsweise 60 t metallischem Gallium, Kamiokande und das

Nachfolge-Experiment Super-Kamiokande sind Wasser-Cerenkovdetektoren.

Die Analyse der Daten führt zu dem Ergebnis, daß sowohl Vakuumoszillationen auf dem Weg zwischen der Sonne und der Erde als auch der MSW-Effekt im Sonneninneren das Neutrinodefizit erklären können; es kommen $_e$ ! $$ - und $_e$ ! $$ -Übergänge in

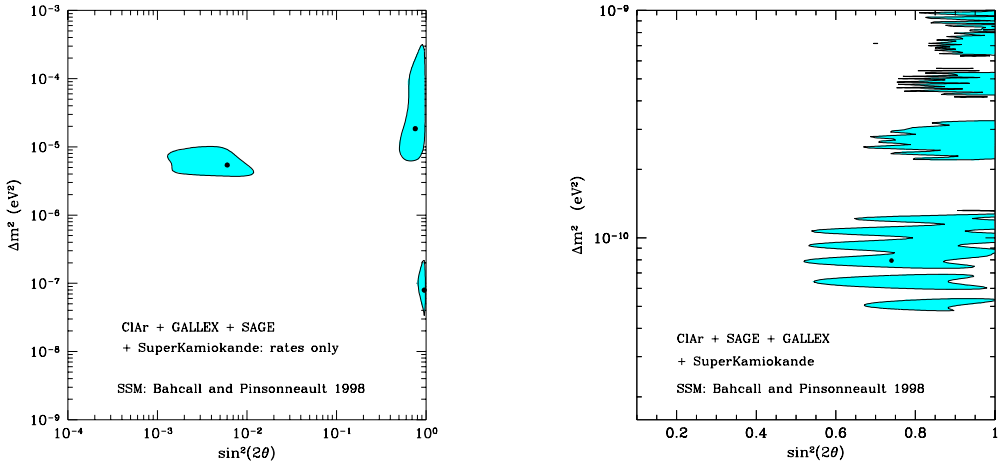


(a) MSW-Effekt (b) Vakuumoszillationen

Abbildung 3.1: Erlaubte Bereiche der Oszillationsparameter für die Lösungen des Sonnen-Neutrinoproblems (99% CL) [58]

Frage [58]. Die Abbildungen 3.1(a) und 3.1(b) geben die erlaubten Bereiche (mit einem Confidence Level (CL) von 99%) im $\sin^2 2$ $m^2$-Parameterraum an, wobei die Punkte den statistisch wahrscheinlichsten Lösungen entsprechen:

- eine MSW-Lösung mit großem Mischungswinkel bei $\sin^2 2$ 0:76 und $m^2$ $2$ $10^5$ eV$^2$.
- eine MSW-Lösung mit kleinem Mischungswinkel bei $\sin^2 2$ 6 $10^3$ und $m^2$ $5$ $10^6$ eV$^2$.
- eine MSW-Lösung mit kleinem $m^2$ bei $\sin^2 2$ 0:96 und $m^2$ 8 $10^8$ eV$^2$.
- eine Vakuumoszillations-Lösung bei $\sin^2 2$ 0:75 und $m^2$ 8 $10^{11}$ eV$^2$.

Die MSW-Lösung mit kleinem $m^2$ ist in ihrer Statistik wesentlich unwahrscheinlicher als die anderen, da sie für 95% CL nicht mehr akzeptabel ist. Damit die Vakuumoszillations-Lösung das Neutrinodefizit erklären kann, ist eine nicht sehr natürlich wirkende Feineinstellung zwischen der Oszillationslänge und dem Sonne-Erde-Abstand erforderlich. Deswegen werden in dieser Arbeit nur die ersten beiden Lösungen in Betracht gezogen.

Weitere Experimente zur Untersuchung des Sonnen-Neutrinodefizits sind in Vorbereitung. Der Nachfolger von GALLEX ist das unterirdische Gallium Neutrino Observatory (GNO) im Gran Sasso-Labor (Italien) mit angestrebten 100 t Ga im Jahre 2002. Borexino ist ein organischer Flussig-Szintillator mit einer Empfindlichkeit $E > 0{:}25$ MeV und wird ebenfalls in Gran Sasso untergebracht. Das Sudbury Neutrino Observatory (SNO) in Kanada wird ein Schwerwasser-Cerenkovdetektor aus 1000 t $D_2O$ sein, welcher fur $E > 5$ MeV sensibel ist.

### 3.2.2 Atmospharische Neutrinos

Treffen hochenergetische Protonen der kosmischen Strahlung auf die obere Erdatmosphare, so kollidieren sie mit den Kernen der Luftmolekule. In diesen hadronischen Stoprozessen entstehen zahlreiche Pionen und Kaonen, die gema

$$^{+}; K^{+} \;!\; {}^{+} + \qquad\qquad ; K \;!\; \quad +$$
$$!\; e^{+} + {}_{e} + \qquad\qquad !\; e + {}_{e} + \tag{3.17}$$

zerfallen; die dabei erzeugten Neutrinos bezeichnet man als atmospharische Neutrinos. Wegen (3.17) erwartet man fur das zahlenmaige Verhaltnis von Myon- zu Elektron-Neutrino-Ereignissen in einem Detektor in guter Naherung

$$(=e) \qquad \frac{N(\;+\;)}{N({}_{e}+\;{}_{e})} = 2 \tag{3.18}$$

Obwohl der exakte Wert von $(=e)$ von der Neutrino-Energie abhangt und von 2 abweichen kann, erlauben detaillierte Analysen mit Hilfe von Monte-Carlo-Simulationen relativ prazise Vorhersagen. Diese bieten einen weiteren Ansatzpunkt fur die Suche nach Neutrino-Oszillationen und wurden vom Kamiokande-Experiment und dem groeren Nachfolger Super-Kamiokande in Japan uberpruft. Beides sind unterirdische Wasser-Cerenkovdetektoren; Kamiokande bestand aus 3 kt und Super-Kamiokande besteht aus 50 kt reinen Wassers in 1000 m Tiefe. Als Nachweisreaktionen dienen

$${}_{e} + n \;!\; e + p; \quad {}_{e} + p \;!\; e^{+} + n; \quad + n \;!\; \quad + p; \quad + p \;!\; {}^{+} + n \tag{3.19}$$

| Experiment | Energiebereich | $R = (=e)_{data} = (=e)_{MC}$ | | |
|---|---|---|---|---|
| Kamiokande | $E < 1{:}33$ GeV | 0:60 | 0:06<br>0:05 | 0:05 |
| Kamiokande | $E > 1{:}33$ GeV | 0:57 | 0:08<br>0:07 | 0:07 |
| Super-Kamiokande | $E < 1{:}33$ GeV | 0:63 | 0:03 | 0:05 |
| Super-Kamiokande | $E > 1{:}33$ GeV | 0:65 | 0:05 | 0:08 |

Tabelle 3.2: Resultate von Kamiokande [59] und Super-Kamiokande [60] fur $R = \dfrac{(=e)_{data}}{(=e)_{MC}}$

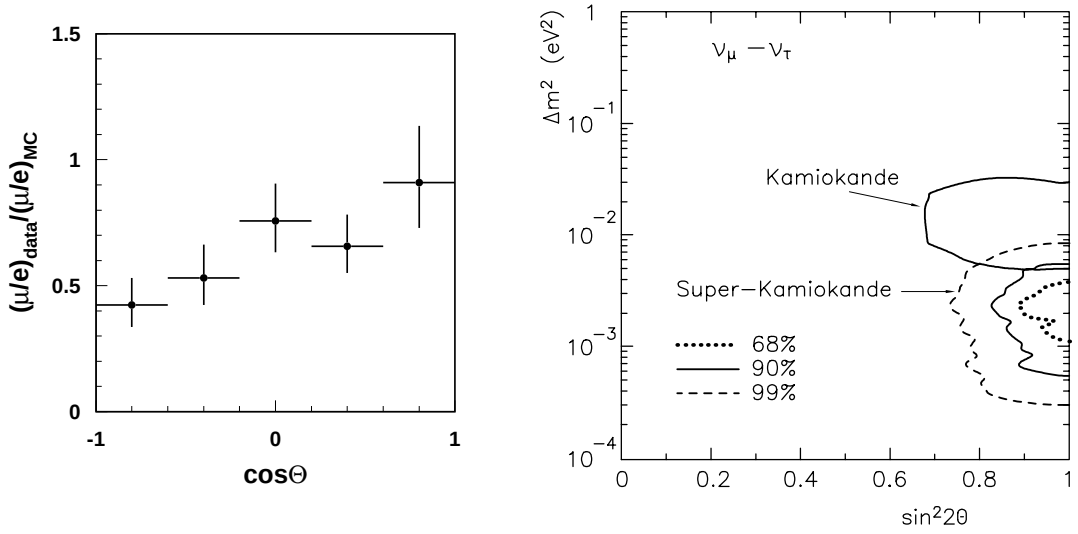


(a) Abhangigkeit des von Super-Kamiokande gemessenen ( =e)-Defizits vom Zenit-Winkel

(b) Erlaubte Bereiche der Oszillationsparameter fur Kamiokande und Super-Kamiokande

Abbildung 3.2: Anomalie der atmospharischen Neutrinos und mogliche Losungen durch -Oszillationen [59, 60]

Beide Experimente haben fur das Verhaltnis R von gemessenem $( =e)_{data}$ zu theoretisch erwartetem $( =e)_{MC}$ erhebliche Abweichungen vom Wert 1 festgestellt, die auf einem Defizit von ( ; )-Ereignissen beruhen. Tabelle 3.2 fat die Resultate zusammen, wobei der erste Fehler von R statistischen und der zweite systematischen Ursprungs ist.

Eine mogliche Erklarung fur diese Anomalie konnen -Oszillationen liefern. Die Oszillation in Elektron-Neutrinos ist aufgrund der Resulate des Reaktor-Experiments CHOOZ [61] ausgeschlossen, welches nach $_e$ ! ; -Ubergangen sucht, im Rahmen seines Mebereichs (E 3 MeV, L = 1 km) aber keine solchen gefunden hat.

Die Oszillationslosung wird durch die beobachtete Abhangigkeit des ( ; )-Defizits vom Zenit-Winkel (nicht zu verwechseln mit dem gleichnamigen Mischungswinkel) unterstutzt (Abbildung 3.2(a)). Wahrend die Neutrinos, welche den Detektor senkrecht von oben erreichen ( = 0), eine Strecke von L . 20 km zurickgelegt haben, mussen die den Detektor von unten erreichenden die gesamte Erde durchqueren, das heit L 13000 km fur = . Je gro er und somit auch L sind, desto mehr Myon-(Anti-)Neutrinos wandeln sich in Tau-(Anti-)Neutrinos um.

Abbildung 3.2(b) zeigt den erlaubten Parameterbereich fur die Oszillationslosung; die wahrscheinlichste Losung zur Erklarung der Super-Kamiokande-Resultate liegt bei $\sin^2 2 = 1{:}0$ und $m^2 = 2{:}2 \quad 10^3$ eV. Die Annahme eines hierarchischen Massenschemas

$m_1 \quad m_2 \quad m_3$ für die Neutrinos führt zu $m_3 \quad \sqrt{m^2_{atm}} \quad 0{:}05$ eV, was bedeuten würde, daß Neutrinos zur dunklen Materie keinen nennenswerten Beitrag liefern. Unter Berücksichtigung der $\quad$-Oszillationslösung für die Anomalie der atmosphärischen Neutrinos ist das Sonnen-Neutrinoproblem demnach auf $_e \quad$-Oszillationen zurückzuführen, da die erlaubten Parameterbereiche in den Abbildungen 3.1 und 3.2(b) sich in keinem Fall überlappen.

Zur Ergänzung von Super-Kamiokande, das weiterhin Daten aufnimmt, sind mehrere sogenannte „Long Baseline"-Experimente geplant. Hierbei sollen Neutrinostrahlen mit wohldefinierten Eigenschaften, die mittels Stoßprozessen an Teilchenbeschleunigern erzeugt werden, in einigen hundert km Entfernung detektiert werden. Erste Resultate sind jedoch nicht vor 2001 zu erwarten.

### 3.2.3 LSND und KARMEN

Das LSND-Beschleunigerexperiment in Los Alamos verwendet Neutrinos, die durch das Auftreffen eines relativistischen Protonenstrahls auf ein Wasser-Target entstehen. In den Stoßprozessen werden $^+$-Mesonen erzeugt, welche anschließend zerfallen; gemäß (3.17) enthält der resultierende Neutrinostrahl keine Elektron-Antineutrinos. Im 30 m entfernten Flüssig-Szintillationsdetektor werden allerdings Photonen nachgewiesen, welche aus der Reaktion $_e + p \quad e^+ + n$ und nachfolgendem $e^+ + e \quad$ beziehungsweise $n + p \quad d +$ stammen. Eine mögliche Erklärung hierfür können $\quad _e$-Oszillationen liefern. Der erlaubte Parameterbereich ist in Abbildung 3.3 dargestellt, wobei der dunkelgraue Bereich 90% CL und der hellgraue 99% CL kennzeichnet.

Eine Reihe von weiteren Reaktor- und Beschleunigerexperimenten haben $\quad _e$-Oszillationen untersucht, aber im Rahmen ihrer Meßbereiche keine entsprechenden Ereignisse gefunden. Dies führt im Raum der Oszillationsparameter zu verbotenen Bereichen, welche sich in Abbildung 3.3 rechts von den verschiedenen Linien befinden (90% CL). Insbesondere das KARMEN-Experiment und sein Nachfolger KARMEN 2 am Rutherford-Appleton-Laboratorium, welche im wesentlichen den gleichen Aufbau wie LSND haben (mit $L = 17{:}6$ m), schließen einen großen Teil des LSND-Bereichs aus. Der Grund für diese widersprüchlichen Resultate ist bis heute nicht bekannt. Allerdings wird das für 2001 am Fermilab in Planung befindliche Szintillator-Experiment MiniBooNE [63] aufgrund einer deutlich verbesserten Statistik den gesamten von LSND erlaubten Parameterbereich untersuchen und somit die Frage nach $\quad _e$-Oszillationen abschließend beantworten können.

### 3.2.4 Analyse für drei Neutrino-Arten

In Tabelle 3.3 sind die Wertebereiche von $m^2$ zusammengefaßt, welche eine Oszillationslösung der jeweiligen Neutrino-Anomalie ermöglichen. Da sich die zulässigen Wertebereiche je zweier $m^2$ in keinem Fall überlappen und $n$ verschiedene Neutrinomassen $n \quad 1$ unabhängige $m^2$ liefern, können nur dann alle drei Anomalien durch Neutrino-Oszillationen erklärt

werden, wenn es vier leichte Neutrinos gibt. Es sind verschiedene Modelle mit einem

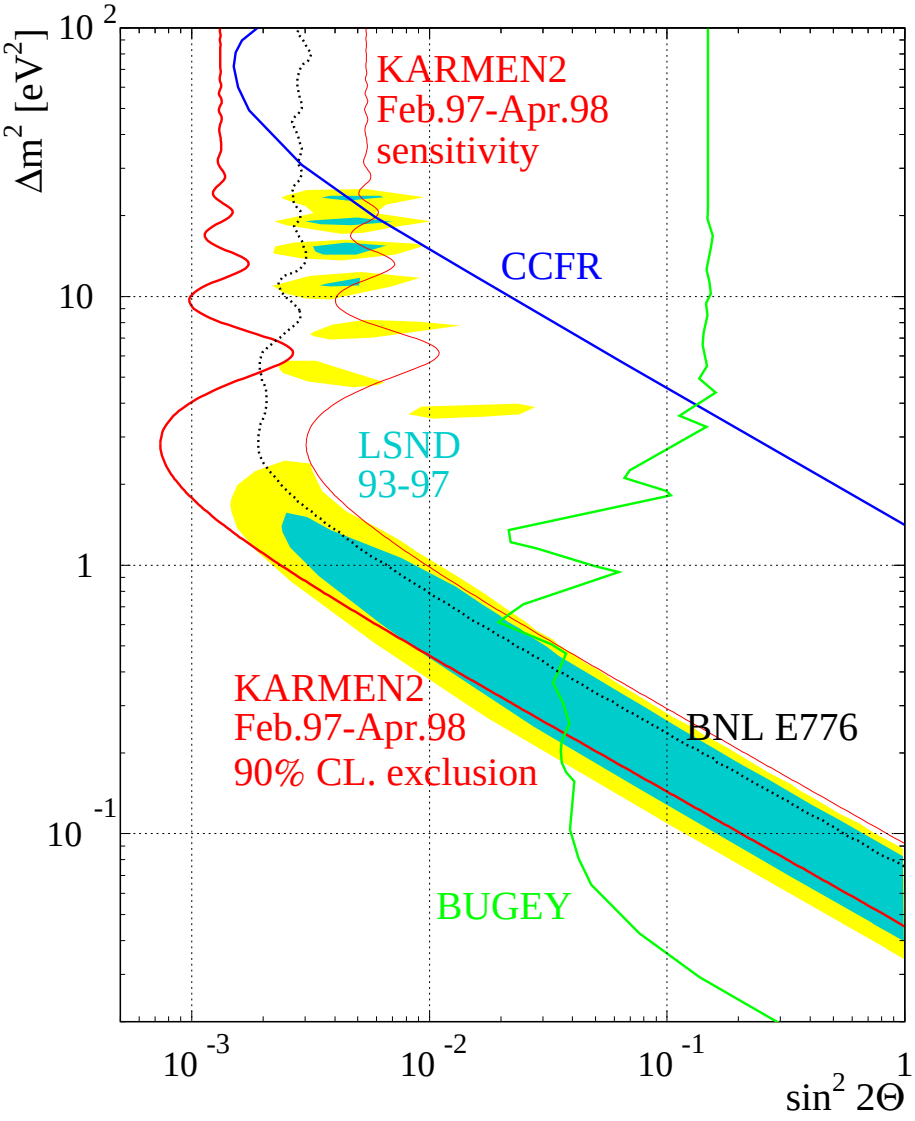


Abbildung 3.3: Erlaubte Bereiche der Oszillationsparameter fur die Erklarung der LSND-Resultate und die durch KARMEN und weitere Experimente ausgeschlossenen Parameterbereiche [62]

vierten, im Rahmen des SM nicht wechselwirkenden, Neutrino $_s$ untersucht worden (Referenzen in [16]); da aber die Resultate von LSND und KARMEN bisher widerspruchlich sind, wird in der vorliegenden Arbeit die LSND-Anomalie nicht weiter berucksichtigt und von drei leichten Neutrinos ausgegangen. Analysiert man alle Daten aus den Oszillationslosungen der ubrigen beiden Neutrinodefizite und aus den Experimenten, welche keine Hinweise auf Oszillationen liefern, unter der Annahme dreier miteinander mischender leichter Neutrinos, so erhalt man je nach Erklarung der Sonnen-Neutrino-Anomalie folgende erlaubten Bereiche

| Neutrino-Anomalie | $\Delta m^2$ ($eV^2$) | Oszillation |
|---|---|---|
| Atmospharische Neutrinos | $(0{:}4 \quad 8{:}0) \quad 10^{-3}$ | $\nu_\mu \to \nu_\tau$ |
| Sonnen-Neutrinos (MSW-Effekt) | $(0{:}4 \quad 3{:}0) \quad 10^{-5}$ | $\nu_e \to \nu_{\mu,\tau}$ |
| Sonnen-Neutrinos (Vakuum-Osz.) | $(0{:}6 \quad 1{:}1) \quad 10^{-10}$ | $\nu_e \to \nu_{\mu,\tau}$ |
| LSND | $0{:}2 \quad 10$ | $\nu_\mu \to \nu_e$ |

Tabelle 3.3: Neutrino-Anomalien und erlaubte $\Delta m^2$-Bereiche aus den Oszillations-Analysen

fur die Massen und Mischungen [16]:

MSW-Effekt (kleiner Winkel):

$$0{:}4 \quad 10^{-5}\,\mathrm{eV}^2 \;\lesssim\; \Delta m^2_{\mathrm{sun}} \;\lesssim\; 1{:}2 \quad 10^{-5}\,\mathrm{eV}^2 \tag{3.20}$$

$$0{:}4 \quad 10^{-3}\,\mathrm{eV}^2 \;\lesssim\; \Delta m^2_{\mathrm{atm}} \;\lesssim\; 8{:}0 \quad 10^{-3}\,\mathrm{eV}^2 \tag{3.21}$$

$$33 \;\lesssim\; \Delta m^2_{\mathrm{atm}} / \Delta m^2_{\mathrm{sun}} \;\lesssim\; 2000 \tag{3.22}$$

$$|U| = \begin{pmatrix} 1 & 0{:}03 & 0{:}05 \\ 0{:}02 & 0{:}05 & 0{:}71 \\ 0{:}01 & 0{:}04 & 0{:}48 \end{pmatrix} \begin{pmatrix} 0{:}87 & 0{:}49 & 0{:}71 \\ 0{:}71 & 0{:}71 & 0{:}87 \end{pmatrix} \tag{3.23}$$

MSW-Effekt (groer Winkel):

$$0{:}8 \quad 10^{-5}\,\mathrm{eV}^2 \;\lesssim\; \Delta m^2_{\mathrm{sun}} \;\lesssim\; 3{:}0 \quad 10^{-5}\,\mathrm{eV}^2 \tag{3.24}$$

$$0{:}4 \quad 10^{-3}\,\mathrm{eV}^2 \;\lesssim\; \Delta m^2_{\mathrm{atm}} \;\lesssim\; 8{:}0 \quad 10^{-3}\,\mathrm{eV}^2 \tag{3.25}$$

$$13 \;\lesssim\; \Delta m^2_{\mathrm{atm}} / \Delta m^2_{\mathrm{sun}} \;\lesssim\; 1000 \tag{3.26}$$

$$|U| = \begin{pmatrix} 0{:}87 & 0{:}94 & 0{:}35 \\ 0{:}25 & 0{:}43 & 0{:}61 \\ 0{:}17 & 0{:}35 & 0{:}42 \end{pmatrix} \begin{pmatrix} 0{:}49 & 0{:}71 \\ 0{:}82 & 0{:}71 \\ 0{:}66 & 0{:}71 \end{pmatrix} \tag{3.27}$$

Vakuumoszillationen:

$$0{:}6 \quad 10^{-10}\,\mathrm{eV}^2 \;\lesssim\; \Delta m^2_{\mathrm{sun}} \;\lesssim\; 1{:}1 \quad 10^{-10}\,\mathrm{eV}^2 \tag{3.28}$$

$$0{:}4 \quad 10^{-3}\,\mathrm{eV}^2 \;\lesssim\; \Delta m^2_{\mathrm{atm}} \;\lesssim\; 6{:}0 \quad 10^{-3}\,\mathrm{eV}^2 \tag{3.29}$$

$$3 \quad 10^{-6} \;\lesssim\; \Delta m^2_{\mathrm{atm}} / \Delta m^2_{\mathrm{sun}} \;\lesssim\; 10^{8} \tag{3.30}$$

$$|U| = \begin{pmatrix} 0{:}71 & 0{:}88 & 0{:}48 \\ 0{:}34 & 0{:}61 & 0{:}50 \\ 0{:}24 & 0{:}50 & 0{:}36 \end{pmatrix} \begin{pmatrix} 0{:}71 & 1 \\ 0{:}76 & 0{:}51 \\ 0{:}62 & 0{:}71 \end{pmatrix} \tag{3.31}$$

Ein realistisches Massenmodell fur die Fermionen mu demnach auf Neutrino-Eigenschaften fuhren, welche mit einem der drei obigen Falle innerhalb der Grenzen konsistent sind.

# Kapitel 4

# Das SO(10)-Massenmodell

## 4.1 Bestimmung der Symmetriebrechungsskalen

Gegenstand dieser Arbeit ist die detaillierte Analyse eines Modellansatzes für die fermionischen Massenmatrizen im Rahmen einer nichtsupersymmetrischen SO(10)-GUT mit dem Brechungsschema

$$SO(10) \xrightarrow{M_U} G_I \xrightarrow{M_I} G_{SM} \xrightarrow{M_Z} SU(3)_C \times U(1)_{em} \tag{4.1}$$

Als intermediäre Symmetriegruppe $G_I$ sollen zunächst sowohl $G_{PS}$ als auch $G_{PS} \times D$ in Frage kommen. Deren Vorteil gegenüber Symmetriegruppen, welche $SU(3)_C \times U(1)_{B-L}$ enthalten, besteht in der Vereinheitlichung von Quarks und Leptonen bereits bei der Skala $M_I$. Das hat unter anderem zur Folge, daß die SO(10)-Relationen (2.35–2.40) zwischen den verschiedenen Massenmatrizen nicht nur oberhalb von $M_U$, sondern auch im Energiebereich zwischen $M_I$ und $M_U$ gelten. Ferner resultiert aus dem links-rechts-symmetrischen Fermionspektrum (2.24) auf natürliche Weise die Existenz rechtshändiger Neutrinos.

Gemäß Tabelle 2.2 wird die Symmetriebrechung bei $M_U$ durch eine 210 beziehungsweise 54 realisiert; die Brechung bei $M_I$ erfolgt in beiden Fällen durch das SM-Singulett einer $(10;1;3)_{126}$. Bezüglich der Massen der Higgs-Teilchen wird von der Gültigkeit der „Extended Survival Hypothesis" [39] ausgegangen, das heißt nur diejenigen Komponenten von SO(10)-Higgs-Darstellungen besitzen Massen $m \approx M_U$, welche für die Symmetriebrechungen bei $M_I$ und $M_Z$ sowie für die Erzeugung der Fermionmassen erforderlich sind. Higgs-Teilchen mit Massen der Größenordnung $M_I$ können demnach in folgenden Darstellungen liegen:

- in der $(10;1;3)_{126}$, da sie die Symmetriebrechung bei $M_I$ realisiert.
- in $(1;2;2)_{10=120}$ und $(15;2;2)_{120=126}$, da diese für die Massenerzeugung der Fermionen in Frage kommen.
- in Modellen mit $G_{PS} \times D$-Symmetrie in der $\overline{(10;3;1)}_{126}$, welche aufgrund der D-Parität das Gegenstück zur $(10;1;3)_{126}$ bildet (siehe Abschnitt 2.3.2).

Wie bereits in Abschnitt 2.3.3 erläutert wurde, ist das SM-Higgs-Doublett eine Linearkombination der $SU(2)_L$-Doubletts in den $(1;2;2)$- und $(15;2;2)$-Darstellungen.

Um ein realistisches SO(10)-Massenmodell konstruieren zu können, ist wegen (2.41) ein Higgs-Spektrum erforderlich, welches über den einfachsten Fall einer komplexen 10 hinausgeht. Während im Bereich unterhalb von $M_I$ der Teilcheninhalt stets der des SM mit einem Higgs-Doublett sein soll, ist die Anzahl der für die Erzeugung der Fermionmassen relevanten $G_{PS}$-Higgs-Darstellungen $(1;2;2)_{10=120}$ und $(15;2;2)_{120=126}$ mit Massen $M_I$ zunächst nicht weiter festgelegt und kann an die konkreten Anforderungen des Modells angepaßt werden. Der Umfang des Teilchenspektrums bei $M_I$ hat allerdings direkte Auswirkungen auf die Skalenabhängigkeit der $G_{PS}[\ D\ ]$-Eichkopplungen, wie man an den Renormierungsgruppengleichungen (B.21-B.23) erkennt. Bedeutsam wird dieser Einfluß, wenn man die phänomenologischen Eigenschaften des Massenmodells wie zum Beispiel die Zerfallsraten der Nukleonen berechnen will. Dazu müssen nämlich die Werte der Symmetriebrechungsskalen $M_{U,I}$ und die der verschiedenen Eichkopplungen bei diesen Skalen bekannt sein, und um diese quantitativ bestimmen zu können, ist eine numerische Integration der Renormierungsgruppengleichungen für die Kopplungen sowohl des SM (B.7-B.9) als auch des $G_{PS}[\ D\ ]$-Modells (B.21-B.23) erforderlich.

Im folgenden werden zunächst $M_{U,I}$ und die Kopplungswerte für beide intermediären Symmetriegruppen in Abhängigkeit vom Higgs-Spektrum numerisch bestimmt, wobei das verwendete Verfahren dem in [42] entspricht. Dort ist der minimale Fall mit einer 10 untersucht worden; in [39] wurde der Einfluß des Higgs-Spektrums auf die $\beta$-Funktionen der $G_I$-Kopplungen analysiert, ohne jedoch die Renormierungsgruppengleichungen numerisch zu lösen.

### 4.1.1 $SU(4)_C \times SU(2)_L \times SU(2)_R$-Modell

Die Parameter $_{R;L}$ in (B.21-B.23) haben hier die festen Werte $_R = 1$ und $_L = 0$, die Werte von $N_1$ und $N_{15}$ können frei vorgegeben werden. Unter Berücksichtigung des Prinzips, daß die Anzahl der Higgs-Teilchen bei gegebenem Massenmodell grundsätzlich so klein wie möglich gewählt werden soll, erscheint eine Untersuchung der Fälle $N_1 = 1;\ldots;5$ und $N_{15} = 1;2;3$ sinnvoll. Die Vorgehensweise sieht dann wie folgt aus:

- Für $M_I$ wird ein Wert vorgegeben, der sinnvollerweise zwischen $M_Z$ und $M_{Planck} \approx 10^{19}$ GeV liegen kann.

- Ausgehend von den bekannten Werten der SM-Eichkopplungen bei $M_Z$ (siehe Tabelle C.1) werden die Renormierungsgruppengleichungen (B.7-B.9) unter Vernachlässigung der Yukawabeiträge von $M_Z$ bis $M_I$ integriert.

- Aus den nun bekannten SM-Kopplungen bei $M_I$ werden die Kopplungen des $G_{PS}$-

Modells bei dieser Skala berechnet. Die Anschlu bedingungen lauten

$$ {}_{4C}^{-1}(M_I) = {}_3^{-1}(M_I) + \frac{1}{12} \tag{4.2} $$

$$ {}_{2L}^{-1}(M_I) = {}_2^{-1}(M_I) \tag{4.3} $$

$$ {}_{2R}^{-1}(M_I) = \frac{5}{3}\,{}_1^{-1}(M_I) - \frac{2}{3}\,{}_3^{-1}(M_I) + \frac{1}{3} \tag{4.4} $$

Die Faktoren 5/3 und 2/3 in (4.4) stammen aus der korrekten Normierung der $G_{PS}$-Generatoren im Rahmen der übergeordneten SO(10) [21], während die Korrekturen $1=(12\ )$ und $1=(3\ )$ auf Schwelleneffekte zurückzuführen sind [64]. Diese Effekte modifizieren die „naiven\" Anschlu bedingungen in der zweiten Ordnung der Störungsrechnung. Vernachlässigt man logarithmische Korrekturen $\ln(m_i=M_{I,U})$, wobei $m_i$ für die in der Regel nicht exakt bekannten Massen aller Teilchen steht, welche ihre Massen durch die Symmetriebrechung bei $M_{I,U}$ erhalten, können die Anschlu bedingungen allgemein als

$$ {}_j^{-1}(M_{I=U}) - \frac{1}{12}\,S_2(G_j) = {}_k^{-1}(M_{I=U}) - \frac{1}{12}\,S_2(G_k) \tag{4.5} $$

geschrieben werden [42]. $S_2(G_j)$ bezeichnet hier den Dynkin-Index der adjungierten Darstellung der Eichgruppe $G_j$ (siehe Anhang A). In Abschnitt 4.2 werden die Ursachen von Schwellenkorrekturen und ihr Einflu auf die Bestimmung der Symmetriebrechungsskalen ausführlich diskutiert.

Ausgehend von den $G_{PS}$-Kopplungen bei $M_I$ integriert man die Renormierungsgruppengleichungen (B.21-B.23) von $M_I$ zu höheren Energien und überprüft, ob eine Skala $M_U > M_I$ existiert, bei welcher sich die drei Kopplungen unter Berücksichtigung der ebenfalls durch Schwelleneffekte modifizierten Anschlu bedingungen

$$ {}_U^{-1}(M_U) = {}_{4C}^{-1}(M_U) + \frac{1}{3} \tag{4.6} $$

$$ = {}_{2L}^{-1}(M_U) + \frac{1}{2} \tag{4.7} $$

$$ = {}_{2R}^{-1}(M_U) + \frac{1}{2} \tag{4.8} $$

in einem Punkt treffen. Ist das der Fall, so sind die Brechungsskalen $M_I$ und $M_U$ sowie die Werte der verschiedenen Kopplungskonstanten bei $M_{I,U}$ bekannt.

Auf diese Weise ist für jedes der in Frage kommenden Higgs-Spektren der gesamte erlaubte Parameterbereich für $M_I$ zu untersuchen; dabei besteht durchaus die Möglichkeit, da keine Vereinheitlichung erreicht werden kann.

Die Ergebnisse sind in Anhang C.2 zusammengefa t. Man erkennt zunächst, da für $N_{15} = 3$ und $N_1 = 1;:::;5$ sowie $N_{15} = 2$ und $N_1 = 1;2;3$ keine Vereinheitlichung stattfindet. In den übrigen untersuchten Fällen sind folgende Eigenschaften erkennbar:

Bei festem $N_{15}$ sind $M_U$ und $_U$ um so kleiner und $M_I$ um so gröer, je gröer $N_1$ ist.

Bei festem $N_1$ sind $M_U$ und $\alpha_U$ um so größer und $M_I$ um so kleiner, je größer $N_{15}$ ist.

Eine qualitative Abschätzung der Protonlebensdauer gemäß (2.9) führt unter Berücksichtigung der experimentellen Grenzen mit $\alpha_U \approx 1/35 \ldots 1/20$ zu der Einschränkung $M_U \gtrsim 3 \cdot 10^{15}$ GeV für die Vereinheitlichungsskala. Deswegen sind die Modelle mit $(N_1;N_{15}) = (4;1)$ und $(5;1)$ wegen ihrer relativ kleinen Werte von $M_U$ im Vergleich zu den übrigen vom phänomenologischen Standpunkt her eher ungeeignet.

### 4.1.2 $SU(4)_C \times SU(2)_L \times SU(2)_R$ D-Modell

Die Parameter $\alpha_{R,L}$ haben in diesem Fall wegen des zwangsläufig links-rechts-symmetrischen Teilcheninhalts beide den Wert 1. Im Vergleich zum $G_{PS}$-Modell ergibt sich hier ein wesentlicher Unterschied in der Vorgehensweise, der auf den Anschlußbedingungen bei $M_I$ beruht. Zusätzlich zu (4.2-4.4) gilt in Modellen mit D-Parität nämlich $\alpha_{2L}(\mu) = \alpha_{2R}(\mu)$ für alle $\mu$ mit $M_I \leq \mu \leq M_U$. Das führt auf

$$\alpha_{4C}^{-1}(M_I) = \alpha_3^{-1}(M_I) + \frac{1}{12} \tag{4.9}$$

$$\alpha_{2L}^{-1}(M_I) = \alpha_2^{-1}(M_I) = \alpha_{2R}^{-1}(M_I) \tag{4.10}$$

$$0 = \alpha_2^{-1}(M_I) - \frac{5}{3}\alpha_1^{-1}(M_I) + \frac{2}{3}\alpha_3^{-1}(M_I) - \frac{1}{3} \tag{4.11}$$

Die letzte Gleichung liefert eine Einschränkung für die SM-Kopplungen, welche bei genau einer Skala $M_I$ erfüllt ist. In [65] ist gezeigt worden, daß dieser Wert für $M_I$ von den physikalischen Eigenschaften des Modells bei Skalen $\mu > M_I$ völlig unabhängig ist; insbesondere hat das Higgs-Spektrum keinen Einfluß auf $M_I$ und die Kopplungskonstanten bei $\mu = M_I$. In Tabelle C.2 sind die Werte dieser Größen angegeben. Es fällt auf, daß der Wert von $M_I$ um etwa zwei bis drei Größenordnungen über den entsprechenden Werten im $G_{PS}$-Modell liegt.

Das Problem reduziert sich also auf die Bestimmung von $M_U$ und $\alpha_U$ in Abhängigkeit vom Teilcheninhalt. Von den zwei bekannten Kopplungen bei $M_I$ ausgehend werden (B.21-B.22) bis zu der Skala $M_U$ integriert, bei welcher $\alpha_{4C}$ und $\alpha_{2L}$ die Bedingungen

$$\alpha_U^{-1}(M_U) = \alpha_{4C}^{-1}(M_U) + \frac{1}{3} \tag{4.12}$$

$$= \alpha_{2L}^{-1}(M_U) + \frac{1}{2} \tag{4.13}$$

erfüllen. Die Resultate sind in Tabelle C.3 zusammengefaßt, es sind folgende Tendenzen in den Lösungen erkennbar:

Bei festem $N_{15}$ sind $M_U$ und $\alpha_U$ um so kleiner, je größer $N_1$ ist.

Bei festem $N_1$ sind $M_U$ und $\alpha_U$ um so größer, je größer $N_{15}$ ist.

Für alle untersuchten Fälle findet eine Vereinheitlichung der Kopplungen statt, allerdings bei vergleichsweise kleinen $M_U$-Werten von $(1 \ldots 2) \cdot 10^{15}$ GeV. Das führt zu Vorhersagen

für die Lebensdauern der Nukleonen, die den experimentellen Grenzen widersprechen, weshalb $G_{PS}$ D als intermediäre Symmetriegruppe ausscheidet. Im folgenden ist $G_I = G_{PS}$; der Higgs-Inhalt des Modells wird später aus den Anforderungen des Ansatzes für die Massenmatrizen unter Berücksichtigung der Resultate in Abschnitt 4.1.1 bestimmt.

## 4.2 Schwellenkorrekturen

In diesem Abschnitt wird auf den Ursprung der Schwellenkorrekturen und deren Effekte auf die Bestimmung von Symmetriebrechungsskalen eingegangen.

Wird eine auf der Gruppe $G_J$ beruhende Eichsymmetrie bei einer Skala M spontan in die zur Untergruppe $G_j$ gehörige Symmetrie gebrochen, ist damit formal der Übergang von der vollen Eichtheorie zu einer bei Energien $< M$ gültigen effektiven Theorie verbunden [66]. Diese effektive Niederenergie-Näherung erhält man durch Ausintegration der schweren Freiheitsgrade aus dem Wirkungsfunktional. Wenn die Felder bezeichnet, die zu Teilchen mit Massen der Größenordnung M gehören, und für die auch unterhalb von M masselosen Felder steht, erhält man die Wirkung $S_j[\ ]$ der effektiven Theorie aus der ursprünglichen Wirkung $S_J[\ ;\ ]$ durch Funktionalintegration über die schweren Felder:

$$\exp(iS_j[\ ]) = \int [d\ ] \exp(iS_J[\ ;\ ]) \tag{4.14}$$

Hierbei ist die Invarianz von $S_j[\ ]$ unter $G_j$-Transformationen zu fordern. Um die Integration in (4.14) ausführen zu können, muß in der Wirkung $S_J[\ ;\ ]$ ein Eichfixierungsterm $f_J(\ ;\ )$ eingeführt werden. Nach der Ausintegration der schweren Felder verbleibt von $f_J(\ ;\ )$ jedoch ein Rest, der die $G_j$-Eichinvarianz der neuen Wirkung $S_j[\ ]$ verletzt. Dieses Problem kann durch eine Redefinition der Kopplungskonstanten und der Eichfelder in $S_j$ behoben werden. Als Konsequenz ändert sich die naive Anschlußbedingung $_j(M) = {}_J(M)$ in

$$_j^{\ 1}(M) = {}_J^{\ 1}(M) \quad {}_j(M); \tag{4.15}$$

wobei $_j(M)$ in erster Ordnung der Störungsrechnung durch

$$\begin{aligned} {}_j(M) = \frac{1}{12} & \sum_S S_2(R_j^{(G)}) \quad 21\, S_2(R_j^{(G)}) \quad \ln(m_S/M) \\ & + \sum_S S_2(R_j^{(S)}) \quad \ln(m_S/M) + 8 \sum_F S_2(R_j^{(F)}) \quad \ln(m_F/M) \end{aligned} \tag{4.16}$$

gegeben ist [64]. Hierbei ist $R_j^{(G)}$ die Darstellung von $G_j$, nach welcher die im Rahmen der Symmetriebrechung massiv gewordenen Eichbosonen von $G_J$ transformieren. Weiterhin steht $R_j^{(F;S)}$ für die $G_j$-Darstellungen, in denen die Fermionen beziehungsweise Higgs-Teilchen mit Massen $m_{F;S}$ M liegen; $S_2$ ist der Dynkin-Index dieser Darstellungen (siehe Tabelle A.1). Der Operator projeziert die Goldstone-Bosonen aus dem Higgs-Spektrum heraus. $_j(M)$ hat seinen physikalischen Ursprung in den Strahlungskorrekturen zum Propagator der Eichbosonen der effektiven Theorie durch die schweren Teilchen.

In der Analyse des letzten Abschnitts wurde bei den Anschlu bedingungen lediglich der erste, nicht von den Massen abhangige, Term von $_j$ in abgewandelter Form benutzt. Das entspricht der ublicherweise gemachten Annahme, da die durch Symmetriebrechung bei einer Skala M erzeugten Teilchenmassen sich nur minimal von M unterscheiden und die logarithmischen Terme vernachlassigt werden konnen.

Hier soll nun der Einflu der zu den Skalaren gehorigen logarithmischen Terme auf die Bestimmung der Werte der Symmetriebrechungsskalen $M_I$ und $M_U$ untersucht werden, wenn man fur die Argumente der Logarithmen einen Wertebereich von 0.1 bis 10 zula t. Das ist angesichts der Komplexitat des Higgs-Potentials in Modellen mit nichtminimalem Higgs-Inhalt und der damit verbundenen gro en Anzahl unbekannter Koeffizienten der Gro enordnung 1 durchaus plausibel. Das Verfahren lehnt sich an [67] an, wo dies fur SO(10)-Modelle mit minimalem Higgs-Inhalt durchgefuhrt wurde. Beitrage durch Fermionen gibt es bei $M_{U,I}$ nicht, da die rechtshandigen Neutrinos als einzige schwere Teilchen SM-Singuletts sind. Die Eichbosonbeitrage werden vernachlassigt, da der Higgs-Inhalt der Theorie deutlich umfangreicher als der Eichboson-Inhalt ist.

Die fur die Berechnung der $_j$-Koeffizienten erforderlichen Dynkin-Indizes der einzelnen Higgs-Darstellungen sind in Tabelle A.1 angegeben. Mit ihrer Hilfe lassen sich die $^{I,U}_j$ fur das hier diskutierte Modell bestimmen; Anhang A.4 enthalt alle relevanten Resultate. Der Einflu der Schwellenkorrekturen auf die Vorhersagen von $M_{U,I}$ wird durch folgende Beziehungen beschrieben [65]:

$$\ln(M_U/M_Z) = \frac{K\ A_I - J\ B_I}{A_U B_I - A_I B_U} \tag{4.17}$$

$$\ln(M_I/M_Z) = \frac{J\ B_U - K\ A_U}{A_U B_I - A_I B_U} \tag{4.18}$$

Die Gro en $A_{I,U}$ und $B_{I,U}$ sind Linearkombinationen der fuhrenden Koeffizienten der Eichkopplungs- -Funktionen

$$A_U = 2 \quad _{4C} \quad _{2L} \quad _{2R} \tag{4.19}$$

$$B_U = \frac{2}{3} \ _{4C} + \frac{5}{3} \ _{2L} \quad _{2R} \tag{4.20}$$

$$A_I = \frac{8}{3} \ _3 \quad 2 \quad \frac{5}{3} \ _1 \quad A_U \tag{4.21}$$

$$B_I = \frac{5}{3} ( _2 \quad _1) \quad B_U \tag{4.22}$$

und konnen Anhang B entnommen werden, J und K sind als

$$J = 2 \quad 2 \ ^U_{4C} + \ ^U_{2L} + \ ^U_{2R} \quad \frac{8}{3} \ ^I_{3C} + \ ^I_{2L} + \frac{5}{3} \ ^I_{1Y} \tag{4.23}$$

$$K = 2 \quad \frac{2}{3} \ ^U_{4C} \quad \frac{5}{3} \ ^U_{2L} + \ ^U_{2R} \quad \frac{5}{3} \ ^I_{2L} + \frac{5}{3} \ ^I_{1Y} \tag{4.24}$$

definiert. Dabei ist $^{I,U}_j$ als Summe der Beitrage der einzelnen Higgs-Darstellungen zu verstehen.

Um daraus quantitative Resultate zu erhalten, sei an dieser Stelle das Higgs-Spektrum des noch zu konstruierenden Massenmodells vorweggenommen. Es wird sich abgesehen von $_R = 1$ und $_L = 0$ zu $(N_1;N_{15}) = (4;2)$ ergeben, woraus sich fur die durch Schwelleneffekte verursachten Unsicherheiten in den Vorhersagen fur $M_{U;I}$

$$\ln(M_U=M_Z) = \frac{42}{215}_{(1;2;2)} + \frac{24}{215}_{(15;2;2)} + \frac{141}{430}_{(10;1;3)} + \frac{12}{215}_{210} \quad \frac{17}{43}_{126} + \frac{12}{215}_{120} + \frac{24}{215}_{10} \tag{4.25}$$

$$\ln(M_I=M_Z) = \frac{7}{43}_{(1;2;2)} \quad \frac{4}{43}_{(15;2;2)} \quad \frac{44}{43}_{(10;1;3)} \quad \frac{2}{43}_{210} + \frac{50}{43}_{126} \quad \frac{2}{43}_{120} \quad \frac{4}{43}_{10} \tag{4.26}$$

ergibt. $_R$ steht fur $\ln(m_R=M_U)$ $(R = 10;120;126;210)$ beziehungsweise $\ln(m_R=M_I)$ $(R = (1;2;2);(15;2;2);(10;1;3))$, wobei vereinfachend davon ausgegangen wird, da alle Teilchen in einer Darstellung $R$, welche ihre Massen durch den Symmetriebrechungsschritt bei $M_{U;I}$ erhalten, dieselbe Masse haben. Lat man nun, wie oben angekundigt, fur die $_R$ Werte zwischen $\ln(0:1)$ und $\ln(10)$ zu, erhalt man folgende Maximalbetrage fur $\ln(M_{U;I}=M_Z)$:

$$|\ln(M_U=M_Z)|_{max} = \frac{539}{430} \ln(10) = 2:89 \tag{4.27}$$

$$|\ln(M_I=M_Z)|_{max} = \frac{113}{43} \ln(10) = 6:05 \tag{4.28}$$

Demnach konnen die Schwellenkorrekturen im vorliegenden Fall aufgrund ihres Einflusses auf die Anschlubedingungen gema (4.15) den Wert von $M_U$ um einen Faktor $\sim 10^{1:25}$ und den von $M_I$ um einen Faktor $\sim 10^{2:63}$ modifizieren.

Obwohl hier lediglich eine Abschatzung des Maximaleffekts durchgefuhrt wurde, sollte bei den Angaben uber die Werte von Symmetriebrechungsskalen der mogliche Einflu der unbekannten Higgs-Massen nicht vergessen werden.

## 4.3 Der Ansatz fur die Massenmatrizen

Im Rahmen des SM ist die Form der fermionischen Massenmatrizen in keiner Weise eingeschrankt. Es besteht aber allgemein die Uberzeugung, da eine fundamentalere Theorie als das SM existiert, welche auch den Fermionsektor einschlielich der Struktur der Massenmatrizen erklaren kann. In Ermangelung einer solchen Theorie ist bis heute eine Vielzahl von phanomenologisch motivierten Ansatzen fur die Massenmatrizen vorgeschlagen worden. Sie zeichnen sich durch bestimmte Symmetrieeigenschaften wie zum Beispiel Hermitezitat und sogenannte Texturen, das heit Nullen als Matrixeintrage an bestimmten Stellen, aus. Der Grundgedanke besteht darin, die Anzahl der freien Parameter in den Matrizen kleiner als die Zahl der zu reproduzierenden observablen Massen und Mischungen zu machen, um Vorhersagen uber Beziehungen zwischen diesen Groen zu erhalten und somit moglicherweise etwas uber die Eigenschaften der zugrundeliegenden Theorie zu erfahren.

Der wohl populärste dieser Ansätze geht auf Fritzsch zurück [68] und basiert auf zwei Annahmen: Die Quark-Massenmatrizen sind hermitesch und haben die „Nearest Neighbour Interaction" (NNI)-Form. Letzteres bedeutet, daß nur das schwerste Fermion einer Art seine Masse direkt über die Yukawakopplung erhält; die Massen der leichten Teilchen kommen durch Wechselwirkungen respektive Mischungen mit ihren nächsten Nachbarn in der Massenmatrix zustande. Für zwei und drei Generationen haben die Matrizen demnach folgende Gestalt:

$$M = \begin{pmatrix} 0 & A \\ A & B \end{pmatrix} \quad \text{beziehungsweise} \quad M = \begin{pmatrix} 0 & A & 0 \\ A & 0 & B \\ 0 & B & C \end{pmatrix} \tag{4.29}$$

Wendet man den Fritzsch-Ansatz auf die Quark-Massenmatrizen im Falle zweier Generationen an, erhält man für den Cabibbo-Winkel die mit $= 2$ sehr gute Vorhersage

$$_c \quad \left| \sqrt{m_d/m_s} \quad e^{i} \sqrt{m_u/m_c} \right| \tag{4.30}$$

Ferner läßt sich mit $|A| \quad |B|$ auch die Massenhierarchie erklären.

Problematisch ist der Ansatz jedoch für drei Fermiongenerationen, da es keine Lösungen gibt, welche gleichzeitig die große t-Quarkmasse und den kleinen Wert für das CKM-Matrixelement $V_{cb}$ realisieren können [69]. Daran ändert sich auch nichts, wenn man den Fritzsch-Ansatz in eine SO(10)-GUT ohne [70] oder mit Supersymmetrie [71] einbettet.

Eine Möglichkeit, dieses Problem zu umgehen, könnte darin bestehen, hermitesche Massenmatrizen mit einer anderen Struktur als (4.29) zu verwenden. In [72] ist eine systematische Analyse aller Kombinationen von hermiteschen Quark-Massenmatrizen mit insgesamt 5 unabhängigen Null-Einträgen durchgeführt worden, aber auch dort sind keine wirklich überzeugenden Lösungen gefunden worden.

Es deutet also einiges darauf hin, daß ein phänomenologisch erfolgreiches Massenmodell nichthermitesche Matrizen enthalten muß. Hier hat sich das Interesse auf supersymmetrische GUTs konzentriert, wobei zur Massenerzeugung häufig von nichtrenormierbaren Operatoren Gebrauch gemacht wird, welche aus einer noch fundamentaleren Theorie stammen sollen; [73] bietet einen Überblick über solche Ansätze in SUSY-GUTs.

Modelle mit nichthermiteschen Massenmatrizen, welche die NNI-Form besitzen, haben im Rahmen supersymmetrischer SU(5)- [74] und SO(10)-Theorien [75] vergleichsweise gute Resultate auch im Neutrinosektor geliefert. Daß ein solcher Ansatz auch in einem SO(10)-Modell ohne Supersymmetrie erfolgreich sein kann, wird in dieser Arbeit gezeigt werden. Ein früherer Versuch in dieser Richtung war aufgrund der zu einfachen Struktur des verwendeten Higgs-Spektrums (eine 10 und eine 120) gescheitert [76].

Ein weiteres Argument zugunsten nichthermiteschen NNI-Matrizen liefert [77]. Dort ist gezeigt worden, daß ein NNI-Ansatz für die Quark-Massenmatrizen im SM keine physikalischen Konsequenzen beinhaltet, sofern die Zahl der Fermiongenerationen nicht größer als vier ist. Im SM kann man beide Matrizen unabhängig von deren Ausgangsgestalt

durch Transformationen auf NNI-Form bringen, ohne da sich observable Gro en andern. Der Grund dafur liegt in der Tatsache, da von den vier Mischungsmatrizen im Quarksektor $U_{L;R}$ und $D_{L;R}$ aus (1.29) nur die Kombination $V \quad U_L^y D_L$ physikalisch relevant ist; insbesondere die rechtshandigen Mischungen sind experimentell nicht beobachtbar. Es handelt sich beim NNI-Ansatz im SM also streng genommen nicht um einen Ansatz, sondern um eine spezielle Wahl der Basis im Raum der schwachen Eigenzustande. Wird der NNI-Ansatz jedoch in Theorien jenseits des SM eingebettet, ergeben sich daraus direkte Konsequenzen, die zumindest prinzipiell im Experiment uberpruft werden konnen. So beeinflussen alle Mischungsmatrizen in (1.29) die Verzweigungsraten der Nukleonenzerfalle, und Beziehungen wie (2.35–2.40) liefern Eigenschaften des Neutrinosektors aus den Massenmatrizen der geladenen Fermionen.

Ausgangspunkt der nun folgenden Uberlegungen wird die Annahme sein, da die NNI-Form der Dirac-Massenmatrizen aus den Symmetrieeigenschaften einer wirklich grundlegenden Theorie der Elementarteilchen folgt. Diese nicht naher bekannte Theorie soll als Niederenergie-Naherung eine nichtsupersymmetrische SO(10)-GUT besitzen, welche wiederum uber eine intermediare $G_{PS}$-Symmetrie in das SM gebrochen wird. Fur die fermionischen Massenmatrizen wird bei Skalen $\quad \& M_I$ der Ansatz

$$M = \begin{pmatrix} 0 & & & \\ & 0 & A & 0 \\ & B & 0 & C \\ & 0 & D & E \end{pmatrix} \qquad (4.31)$$

gemacht, wobei der Einfachheit halber nur reelle Eintrage betrachtet werden. Das hat auf die Nukleonenzerfalle und Neutrinoeigenschaften, welche die zentralen Gegenstande der Untersuchung darstellen, keine nennenswerten Auswirkungen; lediglich auf das Problem der CP-Verletzung kann nicht eingegangen werden. Es sollte jedoch keine Schwierigkeiten bereiten, mit Hilfe komplexer Yukawa-Kopplungen die beobachtete CP-Verletzung zu reproduzieren.

Eine gangige Methode, bestimmte Texturen in den Massenmatrizen zu realisieren, besteht darin, eine globale U(1)-Familiensymmetrie zusatzlich zur Eichsymmetrie zu verwenden [78]. Die drei SO(10)-Fermiondarstellungen transformieren sich dann gem a $16_j \; ! \; \exp(i \; _j)16_j$, wobei $j$ der Generationsindex ist und $_j$ die paarweise verschiedenen Ladungen bezuglich der U(1) bezeichnet. Besitzt nun eine Higgs-Darstellung $_k = 10;120$ oder $126$ das U(1)-Transformationsverhalten $_k \; ! \; \exp(i \; _k) \; _k$, so sind nur solche Yukawa-Terme $16_i \; _k 16_j$ U(1)-invariant, welche die Bedingung $_i + \; _j = \; _k$ erfullen. Da die Eintrage der Massenmatrizen gem a

$$M \quad \begin{pmatrix} & & & \\ {}_1 + {}_1 & {}_1 + {}_2 & {}_1 + {}_3 & \\ {}_1 + {}_2 & {}_2 + {}_2 & {}_2 + {}_3 & \\ {}_1 + {}_3 & {}_2 + {}_3 & {}_3 + {}_3 & \end{pmatrix} \qquad (4.32)$$

bestimmte U(1)-Ladungen besitzen, kann man die NNI-Form realisieren, indem nur Higgs-Darstellungen $_k$ mit den Ladungen $\quad = {}_1 + {}_2; {}_2 + {}_3$ und ${}_3 + {}_3$ verwendet werden.

Dabei ist es moglich, $_1 + _2 = 2 _3$ zu wahlen, was die Anzahl der benotigten Darstellungen weiter reduziert. Die U(1)-Familiensymmetrie wird bei $M_I$ spontan gebrochen, da dort die massenerzeugenden Higgs-Darstellungen (1;2;2) und (15;2;2) selbst massiv werden. Unterhalb von $M_I$ werden aufgrund von Renormierungseffekten im allgemeinen auch die Eintrage ungleich Null sein, welche gema (4.31) verschwinden.

Fur die Yukawa-Kopplungsmatrizen kommen dann bei Skalen $\& M_I$ unter Verwendung der Bezeichnungsweisen in Tabelle 2.3 folgende Moglichkeiten in Frage:

$$Y^{(1)}_{10} = \begin{pmatrix} 0 & x_1 & 0 \\ x_1 & 0 & 0 \\ 0 & 0 & x_1 \end{pmatrix} ; \quad Y^{(1)}_{126} = \begin{pmatrix} 0 & y_1 & 0 \\ y_1 & 0 & 0 \\ 0 & 0 & y_1 \end{pmatrix} ; \quad Y^{(1)}_{120} = \begin{pmatrix} 0 & z_1 & 0 \\ z_1 & 0 & 0 \\ 0 & 0 & 0 \end{pmatrix} ;$$

$$Y^{(2)}_{10} = \begin{pmatrix} 0 & 0 & 0 \\ 0 & 0 & x_2 \\ 0 & x_2 & 0 \end{pmatrix} ; \quad Y^{(2)}_{126} = \begin{pmatrix} 0 & 0 & 0 \\ 0 & 0 & y_2 \\ 0 & y_2 & 0 \end{pmatrix} ; \quad Y^{(2)}_{120} = \begin{pmatrix} 0 & 0 & 0 \\ 0 & 0 & z_2 \\ 0 & z_2 & 0 \end{pmatrix} \tag{4.33}$$

Das Higgs-Spektrum des Modells soll genau eine 126 enthalten, welche die Symmetriebrechung bei $M_I$ realisiert. Mehr als eine 126 zu verwenden ist nicht verboten, aber unnotig und wurde die Vorhersagekraft insbesondere im Neutrinosektor betrachtlich reduzieren. Damit der See-Saw-Mechanismus gema (2.51) anwendbar ist, mu die Majorana-Massenmatrix der rechtshandigen Neutrinos (2.39) invertierbar sein. Aus diesem Grunde ist die Kopplung der 126 durch $Y^{(1)}_{126}$ aus (4.33) bestimmt.

Um die Asymmetrie gema (4.31) erzeugen zu konnen, sind beide 120-Darstellungen mit den Kopplungsmatrizen $Y^{(1)}_{120}$ und $Y^{(2)}_{120}$ erforderlich. Ubernimmt man auch beide moglichen 10-Darstellungen aus (4.33) in den Higgs-Inhalt des Modells und beteiligt samtliche $(1;2;2)_{10=120}$- und $(15;2;2)_{120=126}$-Komponenten an der Massenerzeugung der Fermionen bei $M_z$, das heit gibt ihnen Massen $M_I$, so erhalt man $(N_1;N_{15}) = (4;3)$. Fur diesen Fall findet gema der Analyse in Abschnitt 4.1.1 keine Vereinheitlichung statt, so da eine der (15;2;2) Massen der Gro enordnung $M_U$ besitzen mu . Die Werte der Skalen und Kopplungen fur den Fall $N_1 = 4$ und $N_{15} = 2$ kann man Tabelle C.4 entnehmen; dabei erscheint $M_U \quad 1{:}3 \quad 10^{16}$ GeV bezuglich der Konsequenz fur die Lebensdauer des Protons sinnvoll zu sein. Um entscheiden zu konnen, welche der (15;2;2) fur die Massenerzeugung die geringste Bedeutung hat, werden zunachst die Massenmatrizen unter Verwendung der vier $(1;2;2)_{10=120}$ und drei $(15;2;2)_{120=126}$ konstruiert. Deren allgemeine Gestalt sieht analog zu (2.35-2.40) bei Energien $\& M_I$ dann folgendermaen aus:

$$\begin{aligned} M_d &= {}^{(1)}_d Y^{(1)}_{10} + {}^{(2)}_d Y^{(2)}_{10} + !^{(1)}_d Y^{(1)}_{126} \\ &\quad + (\sim^{(1)}_d + \dot{\cdot}^{(1)}_d) Y^{(1)}_{120} + (\sim^{(2)}_d + \dot{\cdot}^{(2)}_d) Y^{(2)}_{120} \end{aligned} \tag{4.34}$$

$$\begin{aligned} M_e &= {}^{(1)}_d Y^{(1)}_{10} + {}^{(2)}_d Y^{(2)}_{10} \quad 3\,!^{(1)}_d Y^{(1)}_{126} \\ &\quad + (\sim^{(1)}_d \quad 3\,\dot{\cdot}^{(1)}_d) Y^{(1)}_{120} + (\sim^{(2)}_d \quad 3\,\dot{\cdot}^{(2)}_d) Y^{(2)}_{120} \end{aligned} \tag{4.35}$$

$$\begin{aligned} M_u &= {}^{(1)}_u Y^{(1)}_{10} + {}^{(2)}_u Y^{(2)}_{10} + !^{(1)}_u Y^{(1)}_{126} \\ &\quad + (\sim^{(1)}_u + \dot{\cdot}^{(1)}_u) Y^{(1)}_{120} + (\sim^{(2)}_u + \dot{\cdot}^{(2)}_u) Y^{(2)}_{120} \end{aligned} \tag{4.36}$$

$$M^{(Dir)} = {}^{(1)}_{u} Y^{(1)}_{10} + {}^{(2)}_{u} Y^{(2)}_{10} \quad 3\,!^{(1)}_{u} Y^{(1)}_{126} + (\tilde{}^{(1)}_{u} \quad 3\,\dot{}^{(1)}_{u}) Y^{(1)}_{120} + (\tilde{}^{(2)}_{u} \quad 3\,\dot{}^{(2)}_{u}) Y^{(2)}_{120} \tag{4.37}$$

$$M^{(Maj)}_{R} \quad M_I Y^{(1)}_{126} \quad M_R Y^{(1)}_{126} \tag{4.38}$$

$$M^{(Maj)}_{L} \quad \frac{!^{(1)2}_{u}}{M_I} Y^{(1)}_{126} \quad M_L Y^{(1)}_{126}\,; \quad M_L \quad !^{(1)}_{u} \tag{4.39}$$

Fur die einzelnen nichtverschwindenden Matrixelemente gilt unter Verwendung von (4.33) dann:

$$(M_d)_{12} = x_1 {}^{(1)}_{d} + y_1 !^{(1)}_{d} + z_1 (\tilde{}^{(1)}_{d} + \dot{}^{(1)}_{d}) \tag{4.40}$$

$$(M_d)_{21} = x_1 {}^{(1)}_{d} + y_1 !^{(1)}_{d} \quad z_1 (\tilde{}^{(1)}_{d} + \dot{}^{(1)}_{d}) \tag{4.41}$$

$$(M_d)_{23} = x_2 {}^{(2)}_{d} + z_2 (\tilde{}^{(2)}_{d} + \dot{}^{(2)}_{d}) \tag{4.42}$$

$$(M_d)_{32} = x_2 {}^{(2)}_{d} \quad z_2 (\tilde{}^{(2)}_{d} + \dot{}^{(2)}_{d}) \tag{4.43}$$

$$(M_d)_{33} = \bar{x}_1 {}^{(1)}_{d} + \bar{y}_1 !^{(1)}_{d} = \frac{\bar{x}_1}{x_1} x_1 {}^{(1)}_{d} + \frac{\bar{y}_1}{y_1} y_1 !^{(1)}_{d} \tag{4.44}$$

$$(M_e)_{12} = x_1 {}^{(1)}_{d} \quad 3\bar{y}_1 !^{(1)}_{d} + z_1 (\tilde{}^{(1)}_{d} \quad 3\,\dot{}^{(1)}_{d}) = (M_d)_{12} \quad 4\bar{y}_1 !^{(1)}_{d} \quad 4 z_1 \dot{}^{(1)}_{d} \tag{4.45}$$

$$(M_e)_{21} = x_1 {}^{(1)}_{d} \quad 3\bar{y}_1 !^{(1)}_{d} \quad z_1 (\tilde{}^{(1)}_{d} \quad 3\,\dot{}^{(1)}_{d}) = (M_d)_{21} \quad 4\bar{y}_1 !^{(1)}_{d} + 4 z_1 \dot{}^{(1)}_{d} \tag{4.46}$$

$$(M_e)_{23} = x_2 {}^{(2)}_{d} + z_2 (\tilde{}^{(2)}_{d} \quad 3\,\dot{}^{(2)}_{d}) = (M_d)_{23} \quad 4 z_2 \dot{}^{(2)}_{d} \tag{4.47}$$

$$(M_e)_{32} = x_2 {}^{(2)}_{d} \quad z_2 (\tilde{}^{(2)}_{d} \quad 3\,\dot{}^{(2)}_{d}) = (M_d)_{32} + 4 z_2 \dot{}^{(2)}_{d} \tag{4.48}$$

$$(M_e)_{33} = \bar{x}_1 {}^{(1)}_{d} \quad 3\bar{y}_1 !^{(1)}_{d} = (M_d)_{33} \quad 4 \frac{\bar{y}_1}{y_1} y_1 !^{(1)}_{d} \tag{4.49}$$

$$(M_u)_{12} = x_1 {}^{(1)}_{u} + y_1 !^{(1)}_{u} + z_1 (\tilde{}^{(1)}_{u} + \dot{}^{(1)}_{u}) \tag{4.50}$$

$$(M_u)_{21} = x_1 {}^{(1)}_{u} + y_1 !^{(1)}_{u} \quad z_1 (\tilde{}^{(1)}_{u} + \dot{}^{(1)}_{u}) \tag{4.51}$$

$$(M_u)_{23} = x_2 {}^{(2)}_{u} + z_2 (\tilde{}^{(2)}_{u} + \dot{}^{(2)}_{u}) \tag{4.52}$$

$$(M_u)_{32} = x_2 {}^{(2)}_{u} \quad z_2 (\tilde{}^{(2)}_{u} + \dot{}^{(2)}_{u}) \tag{4.53}$$

$$(M_u)_{33} = \bar{x}_1 {}^{(1)}_{u} + \bar{y}_1 !^{(1)}_{u} = \frac{\bar{x}_1}{x_1} x_1 {}^{(1)}_{u} + \frac{\bar{y}_1}{y_1} y_1 !^{(1)}_{u} \tag{4.54}$$

$$
\begin{aligned}
(M^{(Dir)})_{12} &= x_1\,\eta_u^{(1)} - 3y_1\,\omega_u^{(1)} + z_1(\tilde{\eta}_u^{(1)} - 3\tilde{\omega}_u^{(1)}) \\
&= (M_u)_{12} - 4y_1\,\omega_u^{(1)} - 4z_1\tilde{\omega}_u^{(1)} && (4.55)\\
(M^{(Dir)})_{21} &= x_1\,\eta_u^{(1)} - 3y_1\,\omega_u^{(1)} - z_1(\tilde{\eta}_u^{(1)} - 3\tilde{\omega}_u^{(1)}) \\
&= (M_u)_{21} - 4y_1\,\omega_u^{(1)} + 4z_1\tilde{\omega}_u^{(1)} && (4.56)\\
(M^{(Dir)})_{23} &= x_2\,\eta_u^{(2)} + z_2(\tilde{\eta}_u^{(2)} - 3\tilde{\omega}_u^{(2)}) \\
&= (M_u)_{23} - 4z_2\tilde{\omega}_u^{(2)} && (4.57)\\
(M^{(Dir)})_{32} &= x_2\,\eta_u^{(2)} - z_2(\tilde{\eta}_u^{(2)} - 3\tilde{\omega}_u^{(2)}) \\
&= (M_u)_{32} + 4z_2\tilde{\omega}_u^{(2)} && (4.58)\\
(M^{(Dir)})_{33} &= x_1\,\eta_u^{(1)} - 3y_1\,\omega_u^{(1)} \\
&= (M_u)_{33} - 4\,\frac{\tilde{y}_1}{y_1}\,y_1\,\omega_u^{(1)} && (4.59)
\end{aligned}
$$

Eine der $(15;2;2)_{120/126}$ nicht an der Massenerzeugung teilnehmen zu lassen ist gleichbedeutend mit der Tatsache, daß entweder $\omega_{u,d}^{(1)}$, $\tilde{\omega}_{u,d}^{(1)}$ oder $\tilde{\omega}_{u,d}^{(2)}$ Null sein müssen. Wenn man bei fester Parameterzahl zunächst die größtmögliche Freiheit bezüglich der Gestalt der einzelnen Matrizen haben möchte, nämlich für alle $j,k$ $(M_d)_{jk} \neq (M_e)_{jk}$ und $(M_u)_{jk} \neq (M^{(Dir)})_{jk}$ wählen zu können, führt das wegen der Gleichungen (4.45–4.49) und (4.55–4.59) zwangsläufig zu der Wahl $\tilde{\omega}_{u,d}^{(1)} = 0$.

Damit ist der Ansatz für die Massenmatrizen der Fermionen vollständig festgelegt. Alle Matrixeinträge setzen sich aus 14 voneinander unabhängigen freien SO(10)-Higgs-Parametern in Form von Produkten aus Vakuumerwartungswerten und Yukawa-Kopplungen zusammen. Dazu kommt noch die Massenskala $M_R$ der schweren Neutrinos, welche über den See-Saw-Mechanismus (2.51) auch als Vorfaktor $(1/M_R)$ in der See-Saw-Matrix erscheint und somit die Beträge der leichten Neutrinomassen festlegt.

Dem stehen 18 zu reproduzierende observable Größen gegenüber, nämlich die 12 Quark- und Leptonmassen sowie jeweils drei Mischungswinkel in $V$ und $U$. Meßbar sind, zumindest bisher, nicht die eigentlichen Massen der leichten Neutrinos, sondern über die Oszillationsexperimente nur die beiden Parameter $\Delta m^2_{32}$ und $\Delta m^2_{21}$ (siehe Kapitel 3). Dem entspricht in gewisser Weise die Tatsache, daß der Wert von $M_R$ im Rahmen von GUT-Massenmodellen mit See-Saw-Mechanismus aufgrund des zu komplizierten vollständigen Higgs-Potentials nicht exakt berechenbar ist. Wie schon in Abschnitt 2.3.3 erläutert wurde, läßt sich lediglich die qualitative Relation $M_R \sim M_I$ angeben, der genaue Wert von $M_R$ muß an die experimentellen Resultate angepaßt werden.

Es können demnach drei Vorhersagen gemacht werden, die im vorliegenden Fall alle im Neutrinosektor liegen. Allein aufgrund der Parameterzahl ist eine mögliche Erklärung der Anomalien von Sonnen- und atmosphärischen Neutrinos gemäß Abschnitt 3.2.4 als absolut nichttrivial zu betrachten. Die Zahl der freien Higgs-Parameter mag im Vergleich zu älteren Massenmodellen groß erscheinen; dafür werden in dem hier vorgeschlagenen Modell aber auch alle Massen der geladenen Fermionen sowie die CKM-Mischungswinkel bis auf Rundungsfehler korrekt wiedergegeben, während bisher Resultate $\sim 10\%$ vom tatsächlichen

Wert schon als erfolgreich galten. Ferner wird zur Massenerzeugung auf keine Mechanismen zuruckgegriffen, die, wie zum Beispiel nichtrenormierbare Operatoren, au erhalb der zugrundegelegten SO(10)-Theorie liegen.

## 4.4 Numerische Losung des Massenmodells

Ausgangspunkt fur den ersten Schritt in der numerischen Bestimmung der Massenmatrizen und Mischungen ist das Gleichungssystem

$$\begin{aligned} U_L^{\dagger} M_u U_R &= M_u^{(D)}; \quad D_L^{\dagger} M_d D_R = M_d^{(D)}; \\ E_L^{\dagger} M_e E_R &= M_e^{(D)}; \quad U_L^{\dagger} D_L = V; \end{aligned} \tag{4.60}$$

welches, um die SO(10)-Beziehungen (4.34-4.39) ausnutzen zu konnen, bei $= M_I$ gelost werden mu . Auf den rechten Seiten der Gleichungen stehen dann die physikalischen Fermionmassen und die CKM-Matrix bei $M_I$. Bekannt sind deren Werte zunachst nur bei $M_Z$ (siehe (1.33) und Tabelle 1.6). Um mit Hilfe der Renormierungsgruppengleichungen des SM aus Anhang B.1 trotz Unkenntnis der Massenmatrizen bei $M_Z$ die entsprechenden Werte bei $M_I$ zu erhalten, werden zwei vereinfachende Annahmen gemacht:

> Die Skalenabhangigkeit der CKM-Matrix $V$ ist sehr klein. Das ist in [79] bestatigt worden.
>
> Die Teilchenmassen bei $M_I$ sind in guter Naherung unabhangig von der expliziten Form der Massenmatrizen bei $M_Z$. Das ist zumindest dann korrekt, wenn $|(M_u)_{33}|$ sehr viel gro er als alle anderen Eintrage in $M_{u,d,e}$ ist.

Inwieweit obige Annahmen im vorliegenden Fall berechtigt sind, wird sich spater zeigen, wenn die Renormierungsgruppengleichungen der dann bekannten Yukawa-Matrizen von $M_I$ nach $M_Z$ integriert und diese bei $M_Z$ diagonalisiert werden.

Nun kann man die Yukawa-Matrizen bei $M_Z$ diagonal ansetzen und die Gleichungen (B.7-B.17) nach $M_I = 6{:}14 \quad 10^{16}$ GeV integrieren; die Resultate sind in Tabelle 4.1 zusammengefa t.

| Gro e: | $m_u(M_I)$ | $m_d(M_I)$ | $m_s(M_I)$ |
|---|---|---|---|
| Wert: | 1:16 MeV | 2:38 MeV | 47:4 MeV |
| Gro e: | $m_c(M_I)$ | $m_b(M_I)$ | $m_t(M_I)$ |
| Wert: | 337:6 MeV | 1360 MeV | 101:2 GeV |
| Gro e: | $m_e(M_I)$ | $m\ (M_I)$ | $m\ (M_I)$ |
| Wert: | 513 keV | 108:14 MeV | 1838:3 MeV |

Tabelle 4.1: Fermionmassen bei $M_I$

In die Berechnungen geht auch die experimentell nicht bekannte Higgs-Selbstkopplung ein, welche in niedrigster Ordnung über

$$m_H^2 = \quad ^2; \qquad = 246{:}2\ \mathrm{GeV} \tag{4.61}$$

mit der Masse $m_H$ des SM-Higgs-Bosons zusammenhängt. Es muß also eine Annahme für $(M_Z)$ gemacht werden, wobei sich zeigt, daß $(M_Z) = 0{:}5$ ein sinnvoller Wert zu sein scheint. Für $(M_Z) \lesssim 0{:}4$ führt die Integration von (B.7–B.17) nämlich auf $(M_I) < 0$, während für $(M_Z) \gtrsim 0{:}6$ der Wert von $(M_I)$ größer als 1 wird, was die Anwendbarkeit der Störungsrechnung gefährdet; dieses Phänomen ist in [13] erwähnt worden. $(M_Z) = 0{:}5$ würde in führender Ordnung einer Higgs-Masse von $m_H \quad 174\ \mathrm{GeV}$ entsprechen, was mit den experimentellen Grenzen in [12] vereinbar ist.

Damit sind die Matrizen auf den rechten Seiten von (4.60) bestimmt. Auf den linken Seiten stehen 31 unbekannte Größen:

- In den drei Massenmatrizen $M_f$ $(f = u;d;e)$ die 14 SO(10)-Higgs-Parameter aus (4.40–4.54). Es sind jedoch nur 13 voneinander unabhängig, da zwei lediglich in der Kombination $z_2(\tilde{}_u^{(2)} + \tilde{}_u^{(2)})$ vorkommen; um $z_2\tilde{}_u^{(2)}$ und $z_2\tilde{}_u^{(2)}$ separat bestimmen zu können, muß die Dirac-Massenmatrix der Neutrinos bekannt sein. Dies wird aber erst nach dem nächsten Schritt der Fall sein.

- Gemäß der Parametrisierung (1.34) jeweils drei Winkel $^{(f)}_{L;R\,ij}$ $(ij = 12;23;31)$ in den sechs Mischungsmatrizen, also insgesamt 18 Mischungswinkel.

Dem stehen 30 nichtlineare Bestimmungsgleichungen gegenüber, jeweils neun aus den ersten drei Beziehungen von (4.60) und drei unabhängige Gleichungen aus der letzten. Um das Problem numerisch behandeln zu können, muß also einer der freien Parameter vorgegeben werden. Hierfür wird der Quotient $\tilde{y}_1=y_1$ ausgewählt, welcher die Form der Majorana-Matrix (4.38) bis auf einen Vorfaktor eindeutig festlegt:

$$M_R^{(\mathrm{Maj})} = M_R \begin{pmatrix} 0 & y_1 & 0 \\ y_1 & 0 & 0 \\ 0 & 0 & \tilde{y}_1 \end{pmatrix} = y_1 M_R \begin{pmatrix} 0 & 1 & 0 \\ 1 & 0 & 0 \\ 0 & 0 & \tilde{y}_1=y_1 \end{pmatrix} \tag{4.62}$$

Als möglicher Wertebereich für $\tilde{y}_1=y_1$ erscheint aufgrund der Massenhierarchie der Fermionen $1 \lesssim |\tilde{y}_1=y_1| \lesssim 1000$ plausibel. Bevor jedoch die Lösungen und ihre Eigenschaften behandelt werden, sei an dieser Stelle auf die Bedeutung der SO(10)-spezifischen Beziehungen (4.34–4.37) hingewiesen.

Wie man an (4.40–4.49) erkennt, sind bei bekanntem $M_d$ in $M_e$ noch drei Freiheitsgrade enthalten, nämlich $y_1 \to {}^{(1)}_d$, $\tilde{y}_1=y_1$ und $z_2\tilde{}_d^{(2)}$. Da die Leptonmassen sich auch bei $M_I$ deutlich von den Massen der d-Quarks unterscheiden, müssen diese Parameter derart festgelegt werden, daß $M_e$ die korrekten Teilchenmassen liefert. Dann sind die SO(10)-Higgs-Parameter

im d-e-Sektor eindeutig bestimmt:

$$x_1{}_d^{(1)} = \frac{1}{8}\left(3(M_d)_{12} + 3(M_d)_{21} + (M_e)_{12} + (M_e)_{21}\right) \tag{4.63}$$

$$y_1 e^{i\varphi}{}_d^{(1)} = \frac{1}{8}\left((M_d)_{12} + (M_d)_{21} - (M_e)_{12} - (M_e)_{21}\right) \tag{4.64}$$

$$z_1 e^{i\psi}{}_d^{(1)} = \frac{1}{2}\left((M_d)_{12} - (M_d)_{21}\right) = \frac{1}{2}\left((M_e)_{12} - (M_e)_{21}\right) \tag{4.65}$$

$$\tilde{x}_1{}_d^{(1)} = \frac{1}{4}\left(3(M_d)_{33} + (M_e)_{33}\right) \tag{4.66}$$

$$\tilde{y}_1 e^{i\tilde{\varphi}}{}_d^{(1)} = \frac{1}{4}\left((M_d)_{33} - (M_e)_{33}\right) \tag{4.67}$$

$$x_2{}_d^{(2)} = \frac{1}{2}\left((M_d)_{23} + (M_d)_{32}\right) = \frac{1}{2}\left((M_e)_{23} + (M_e)_{32}\right) \tag{4.68}$$

$$z_2 e^{i\psi}{}_d^{(2)} = \frac{1}{8}\left(3(M_d)_{23} - 3(M_d)_{32} + (M_e)_{23} - (M_e)_{32}\right) \tag{4.69}$$

$$z_2 e^{i\tilde{\psi}}{}_d^{(2)} = \frac{1}{8}\left((M_d)_{23} - (M_d)_{32} - (M_e)_{23} + (M_e)_{32}\right) \tag{4.70}$$

$$\frac{\tilde{x}_1}{x_1} = 2\,\frac{3(M_d)_{33} + (M_e)_{33}}{3(M_d)_{12} + 3(M_d)_{21} + (M_e)_{12} + (M_e)_{21}} \tag{4.71}$$

$$\frac{\tilde{y}_1}{y_1} = 2\,\frac{(M_d)_{33} - (M_e)_{33}}{(M_d)_{12} + (M_d)_{21} - (M_e)_{12} - (M_e)_{21}} \tag{4.72}$$

$$\frac{\tilde{\psi}_d^{(1)}}{\psi_d^{(1)}} = \frac{3(M_d)_{12} - 3(M_d)_{21} + (M_e)_{12} - (M_e)_{21}}{(M_d)_{12} - (M_d)_{21} - (M_e)_{12} + (M_e)_{21}} \tag{4.73}$$

$$\frac{\tilde{\psi}_d^{(2)}}{\psi_d^{(2)}} = \frac{3(M_d)_{23} - 3(M_d)_{32} + (M_e)_{23} - (M_e)_{32}}{(M_d)_{23} - (M_d)_{32} - (M_e)_{23} + (M_e)_{32}} \tag{4.74}$$

Ist nun auch $M_u$ bekannt, enthalt die Dirac-Massenmatrix der Neutrinos $M^{(Dir)}$ gema (4.50-4.59) relativ zu $M_u$ nur noch den Freiheitsgrad $z_2 e^{i\tilde{\psi}}{}_u^{(2)}$, da $\tilde{y}_1/y_1$ aus dem d-e-Sektor bestimmt ist. Auch $y_1 e^{i\varphi}{}_u^{(1)}$ ist durch die Kenntnis von $M_u$ bereits eindeutig festgelegt, wie die zweite der folgenden Gleichungen zeigt:

$$x_1{}_u^{(1)} = \frac{\frac{\tilde{y}_1}{2y_1}\left((M_u)_{12} + (M_u)_{21}\right) + (M_u)_{33}}{\frac{\tilde{x}_1}{x_1} - \frac{\tilde{y}_1}{y_1}} \tag{4.75}$$

$$y_1 e^{i\varphi}{}_u^{(1)} = \frac{\frac{\tilde{x}_1}{2x_1}\left((M_u)_{12} + (M_u)_{21}\right) - (M_u)_{33}}{\frac{\tilde{x}_1}{x_1} - \frac{\tilde{y}_1}{y_1}} \tag{4.76}$$

$$z_1 e^{i\psi}{}_u^{(1)} = \frac{1}{2}\left((M_u)_{12} - (M_u)_{21}\right) = \frac{1}{2}\left((M^{(Dir)})_{12} - (M^{(Dir)})_{21}\right) \tag{4.77}$$

$$\tilde{x}_1{}_u^{(1)} = \frac{\tilde{x}_1}{x_1}\, x_1{}_u^{(1)} \tag{4.78}$$

$$\tilde{y}_1 e^{i\tilde{\varphi}}{}_u^{(1)} = \frac{\tilde{y}_1}{y_1}\, y_1 e^{i\varphi}{}_u^{(1)} \tag{4.79}$$

$$x_2{}_u^{(2)} = \frac{1}{2}\left((M_u)_{23} + (M_u)_{32}\right) = \frac{1}{2}\left((M^{(Dir)})_{23} + (M^{(Dir)})_{32}\right) \tag{4.80}$$

$$z_2 \tilde{\epsilon}_u^{(2)} = \frac{1}{8}\left[ 3 (M_u)_{23} - 3 (M_u)_{32} + (M^{(Dir)})_{23} - (M^{(Dir)})_{32} \right] \tag{4.81}$$

$$z_2 \epsilon_u^{(2)} = \frac{1}{8}\left[ (M_u)_{23} - (M_u)_{32} - (M^{(Dir)})_{23} + (M^{(Dir)})_{32} \right] \tag{4.82}$$

Anders ausgedruckt, wenn man einen Wert fur $y_1/y_1$ vorgibt und Losungen fur die Massenmatrizen der geladenen Fermionen findet, welche (4.60) erfullen, so ist der Neutrinosektor der Theorie bis auf die beiden Parameter $y_1 M_R$ und $z_2 \epsilon_u^{(2)}$ eindeutig festgelegt. Das wiederum deutet schon den zweiten Schritt der Analyse an, nam lich die Suche nach Werten fur $y_1/y_1$ und $z_2 \epsilon_u^{(2)}$, welche eine Oszillationslosung fur die Anomalien der Sonnen- und atmospharischen Neutrinos gema 3.2.4 ermoglichen.

Die Suche nach Losungen von (4.60) fur vorgegebene Werte von $y_1/y_1$ mit $1 \leq |y_1/y_1| \leq 1000$ liefert folgende Resultate:

Fur $|y_1/y_1| \leq 5$ und $|y_1/y_1| \geq 500$ konnen keine Losungen gefunden werden.

Fur $5 \leq |y_1/y_1| \leq 500$ existieren Losungen. Es gibt bei gegebenem $y_1/y_1$ bis zu sechs (bei $20 \leq y_1/y_1 \leq 25$) verschiedene Satze von Quark-Massenmatrizen und zu jedem dieser Paare jeweils zwei Moglichkeiten fur die Massenmatrix der geladenen Leptonen, welche (4.60) erfullen. Letzteres resultiert aus der Tatsache, da es zu jeder Matrix $M_d$ zwei Werte des Parameters $z_2 \epsilon_d^{(2)}$ gibt, welche die korrekten Leptonmassen liefern; der Parameter $y_1 \epsilon_d^{(1)}$ dagegen ist in beiden Fallen gleich gro .

Es werden nur ganzzahlige Werte fur $y_1/y_1$ untersucht, da die Losungen, sofern sie existieren, stetig von $y_1/y_1$ abhangen. Man erhalt mit dem Ansatz (4.34-4.39) fur die Massenmatrizen demnach eine Vielzahl von Losungen fur die Matrizen der geladenen Fermionen, welche die beobachteten Massen und CKM-Mischungen liefern. Nun mu der Neutrinosektor in die Analyse mit einbezogen werden.

Es verbleiben zwei Parameter, welche aus den nun bekannten Massenmatrizen der geladenen Fermionen gema den Beziehungen (4.63-4.82) nicht berechnet werden konnen, nam lich $y_1 M_R$ und $z_2 \epsilon_u^{(2)}$. Ersterer kann im Rahmen des Massenmodells nicht exakt vorhergesagt werden, sondern mu am Ende an die Resultate der Oszillationsexperimente angepa t werden, wobei $M_R \gg M_I$ gelten sollte. Bei vorgegebenem $y_1/y_1$ ist demnach $z_2 \epsilon_u^{(2)}$ der einzige noch freie Parameter in der Dirac-Massenmatrix der Neutrinos; die Majorana-Matrix ist bis auf den globalen Vorfaktor $y_1 M_R$ festgelegt. Die Aufgabe besteht also darin, zu untersuchen, ob fur diejenigen Werte von $y_1/y_1$, welche Losungen von (4.60) liefern, der Parameter $z_2 \epsilon_u^{(2)}$ so gewahlt werden kann, da die Massen und Mischungen der leichten Neutrinos phanomenologisch sinnvoll sind, das heit den experimentellen Grenzen in (3.20-3.27) genugen. Da das Fermionspektrum des Modells drei Neutrino-Arten enthalt, konnen durch Oszillationslosungen zwei der drei in Kapitel 3 diskutierten Neutrinoprobleme erklart werden; das sollen aufgrund der im Vergleich zu den LSND-Resultaten deutlich starkeren Evidenz die Anomalien der Sonnen- und atmospharischen Neutrinos sein. Wegen der Argumentation in Abschnitt 3.2.1 wird fur das Sonnen-Neutrinodefizit nur der MSW-Effekt berucksichtigt.

Konkret sieht die Vorgehensweise wie folgt aus:

Fur festes $y_1=y_1$ wird der gesamte plausibel erscheinende Wertebereich fur $z_2 \pm_u^{(2)}$ untersucht. Im folgenden wird $jz_2 \pm_u^{(2)} j$. $m_t(M_I)$ gewahlt.

Bei gegebenem $z_2 \pm_u^{(2)}$-Wert werden die Dirac-, Majorana- und See-Saw-Massenmatrizen der Neutrinos bestimmt; letztere wird gema (2.53) diagonalisiert.

Auf diese Weise erhalt man die Massen $m_i$ der leichten Neutrinos bis auf den Vorfaktor $1=(y_1 M_R)$, es wird $jm_3 j$ $jm_2 j$ $jm_1 j$ sowie $m^2_{atm}$ $m^2_3$ $m^2_2$ und $m^2_{sun}$ $m^2_2$ $m^2_1$ angenommen. Die leptonische Mischungsmatrix $U$ $E^y_L N_L$ ist damit ebenfalls bekannt.

Nun wird uberpruft, ob die so erhaltenen Neutrinoeigenschaften den Einschrankungen (3.20–3.27) genugen. In Unkenntnis der Massenskala $M_R$ werden folgende Forderungen an die Losungen gestellt:

$$j(U)_{13}j \quad 0{:}05 \tag{4.83}$$

$$0{:}49 \quad j(U)_{23}j \quad 0{:}71 \tag{4.84}$$

$$0{:}03 \quad j(U)_{12}j \quad 0{:}05 \quad \text{(MSW mit kleiner Mischung)}$$

$$\text{oder} \quad 0{:}35 \quad j(U)_{12}j \quad 0{:}49 \quad \text{(MSW mit gro er Mischung)} \tag{4.85}$$

$$50 \quad m^2_{atm}=m^2_{sun} \quad (m^2_3 \quad m^2_2)=(m^2_2 \quad m^2_1) \quad 1000 \tag{4.86}$$

Es zeigt sich, da drei Bereiche im $y_1=y_1$-$z_2 \pm_u^{(2)}$-Parameterraum existieren, in denen Losungen von (4.60) liegen, welche zudem im Neutrinosektor die Forderungen (4.83–4.86) erfullen. Die Abbildungen 4.1, 4.2 und 4.3 zeigen die Lage der entsprechenden Parameterbereiche, wobei zu jedem untersuchten ganzzahligen $y_1=y_1$-Wert die Minimal- und Maximalwerte von $z_2 \pm_u^{(2)}$ angegeben sind, die zu Neutrinoeigenschaften fuhren, welche den Einschrankungen (4.83–4.86) genugen. Ein Bereich liefert MSW-Losungen fur das Sonnen-Neutrinodefizit mit gro em Mischungswinkel, die anderen beiden Bereiche liefern MSW-Losungen mit kleiner Mischung.

Aus jedem der drei Bereiche wird nun eine reprasentative Losung ausgewahlt, die genauer untersucht werden soll. Deren Werte fur $y_1=y_1$ und $z_2 \pm_u^{(2)}$ werden so gewahlt, da die zugehorigen Punkte ungefahr in der Mitte der erlaubten Parameterbereiche liegen, da sowohl die bestehenden als auch die neu hinzukommenden Neutrinoexperimente die Grenzen in (3.20–3.27) weiter einschranken werden. Tabelle 4.2 fa t die Parameterwerte fur die drei Beispielmodelle zusammen.

Die numerischen Resultate fur die untersuchten Beispielmodelle sind in Anhang D zusammengefa t. Zunachst gibt Abschnitt D.1 Auskunft uber die nichtverschwindenden Eintrage aller Massenmatrizen sowie die Fermionmassen und -mischungen bei $M_I$. Daraus lassen sich mit Hilfe von (4.63–4.82) die Werte der SO(10)-Higgs-Parameter berechnen; die Resultate enthalt Abschnitt D.2. Um die Werte dieser Gro en bei $M_z$ zu erhalten,

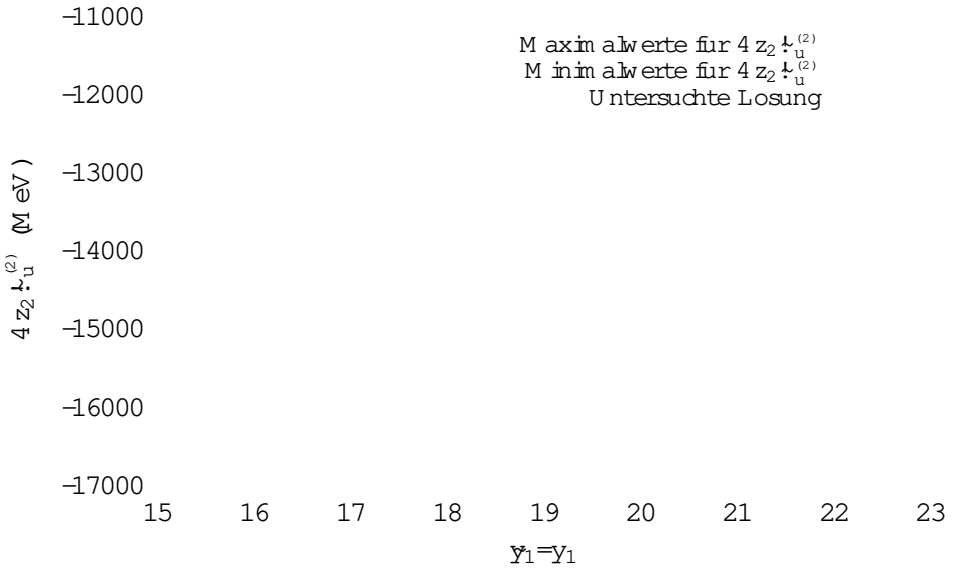


Abbildung 4.1: MSW-Lösung 1 (große Mischung) im $\tilde{y}_1/y_1$-$z_2\tilde{\kappa}_u^{(2)}$-Parameterraum

| Lösung | MSW-Effekt | $\tilde{y}_1/y_1$ | $z_2\tilde{\kappa}_u^{(2)}$ (MeV) |
|---|---|---|---|
| Modell1 | große Mischung | 19 | 3450 |
| Modell2a | kleine Mischung | 24 | 9175 |
| Modell2b | kleine Mischung | 18 | 9925 |

Tabelle 4.2: Werte von $\tilde{y}_1/y_1$ und $z_2\tilde{\kappa}_u^{(2)}$ für die drei Beispiellösungen

müssen die Renormierungsgruppengleichungen (B.7-B.20) des SM einschließlich derjenigen für die See-Saw-Massenmatrix von $M_I$ nach $M_Z$ integriert werden. Dabei werden auch die Matrixeinträge ungleich Null, die bei $M_I$ wegen des Ansatzes (4.31) verschwinden. Die Elemente der Massenmatrizen der geladenen Fermionen und leichten Neutrinos sowie deren Massen und Mischungen bei $M_Z$ sind in Abschnitt D.3 aufgelistet. Insbesondere die Mischungswinkel werden bei der Berechnung der Nukleonzerfallsraten im nächsten Kapitel von großer Bedeutung sein. Aus ihnen lassen sich auch die CKM-Matrix $V$ und die leptonische Mischungsmatrix $U$ bestimmen; die Ergebnisse für die drei betrachteten Modelle enthält Abschnitt D.4.

Obwohl die Massenmatrizen in den einzelnen Fällen durchaus verschieden sind, lassen sich folgende gemeinsame Eigenschaften der Lösungen feststellen:

Die Winkel der CKM-Matrix in der hierfür alle Mischungsmatrizen verwendeten Parametrisierung (1.34) sind mit $\theta_{12} = 0{:}223$, $\theta_{23} = 0{:}039$ und $\theta_{31} = 0{:}003$ angesetzt worden, was innerhalb der experimentellen Grenzen liegt. Es zeigt sich, daß die linkshändigen Mischungswinkel der Quarks $\theta_{Ljk}^{(u)}$ und $\theta_{Ljk}^{(d)}$ betragsmäßig zum Teil deutlich größer als die CKM-Winkel sind. Besonders auffällig ist das im Fall von

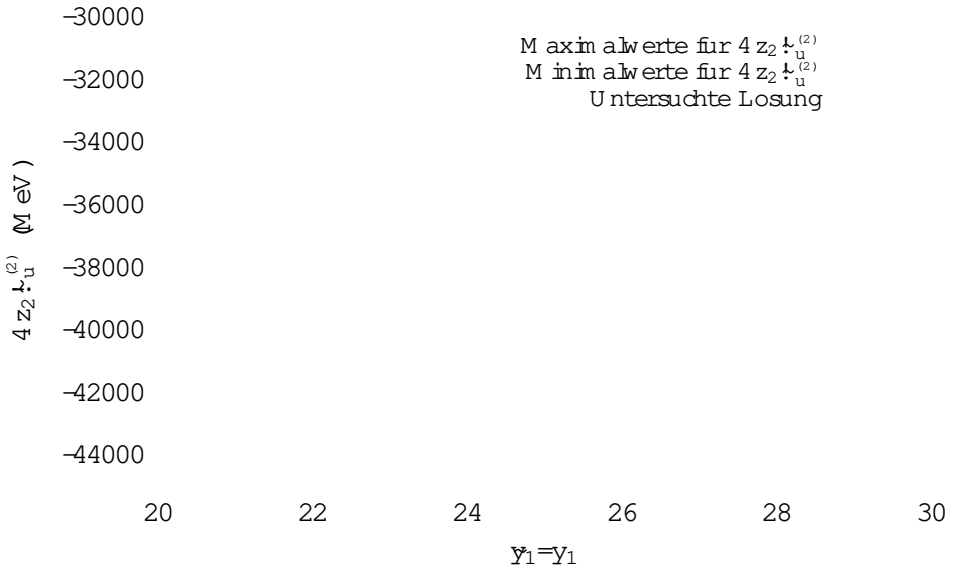


Abbildung 4.2: MSW-Losung 2a (kleine Mischung) im $y_1 = y_1 - z_2 \downarrow_u^{(2)}$-Parameterraum

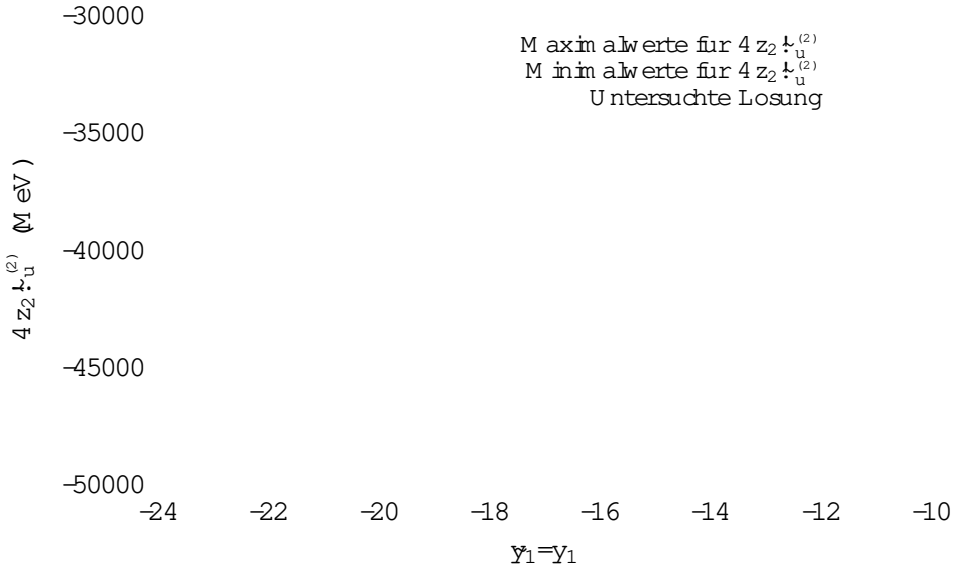


Abbildung 4.3: MSW-Losung 2b (kleine Mischung) im $y_1 = y_1 - z_2 \downarrow_u^{(2)}$-Parameterraum

$_{12}$ $^{(d)}_{L12}$ $^{(u)}_{L12}$. Demnach kann man von der Gröe der observablen CKM-Winkel nicht zwangslaufig auf die der linkshandigen Quarkmischungen schlieen, wie es haufig getan wird.

Alle Modelle enthalten betragsmaig groe Mischungswinkel mit Betragen zwischen 0:5 und 1:0; so ist zum Beispiel $^{(d)}_{R23}$ in allen Fallen sehr groß. Große rechtshandige Mischungen sind insofern von besonderem Interesse, als sie im Rahmen des SM keine experimentell beobachtbaren Auswirkungen haben, in GUT-Modellen wie dem vorliegenden aber durchaus relevant sind. Unter anderem hangen die Verzweigungsraten der Nukleonenzerfalle stark von den Fermionmischungen ab, wie man im nachsten Kapitel sehen wird.

In den Losungen ist $(M_u)_{33} \approx m_t$ und somit betragsmaig deutlich groer als alle ubrigen Matrixeintrage, $(M_d)_{33}$ und $(M_e)_{33}$ dagegen sind in $M_d$ beziehungsweise $M_e$ nicht allein dominant. Die $(M_f)_{12}$-$(M_f)_{21}$- und $(M_f)_{23}$-$(M_f)_{32}$-Asymmetrien in den Massenmatrizen sind in allen Fallen stark ausgepragt.

Die zu Beginn des Abschnitts gemachten Annahmen uber die Skalenabhangigkeit der Fermionmassen und CKM-Mischungen sind gerechtfertigt. Alle Werte fur die Massen bei $M_Z$, welche die drei Modelle durch Integration der Renormierungsgruppengleichungen liefern, ergeben sich abgesehen von Rundungsfehlern in sehr guter Ubereinstimmung mit den ursprunglich angesetzten experimentellen Gröen. Auch die aus den Losungen numerisch bestimmten CKM-Matrizen genugen den experimentellen Grenzen. Lediglich die Skalenabhangigkeit von $^{(d)}_{L23}$ und $^{(d)}_{L31}$ ist nicht vollig zu vernachlassigen; es gilt $^{(d)}_{L23}(M_I) > {}^{(d)}_{L23}(M_Z)$ und $^{(d)}_{L31}(M_I) < {}^{(d)}_{L31}(M_Z)$. Das wiederum fuhrt innerhalb der Grenzen zu vergleichsweise großen Werten fur $(V)_{33}$, wahrend $(V)_{23}$ und $(V)_{32}$ betragsmaig am unteren Ende des erlaubten Bereichs liegen. Man konnte diese Schwache jedoch ohne weiteres beheben, indem man die nun bekannte Skalenabhangigkeit auf den rechten Seiten von (4.60) berucksichtigt. Da die Effekte aber sehr klein sind, wird hier darauf verzichtet.

Die drei untersuchten Beispiellosungen beschreiben den Sektor der geladenen Fermionen in sehr guter Ubereinstimmung mit den experimentellen Resultaten fur die Massen und Mischungen. Das ist jedoch lediglich ein notwendiges Kriterium dafur, da der Ansatz (4.31) als sinnvoll zu betrachten ist. Auf die Neutrinoeigenschaften der einzelnen Losungen, welche die eigentlichen Vorhersagen des Massenmodells darstellen, wird im nachsten Abschnitt eingegangen.

Die in diesem Kapitel verwendeten numerischen Algorithmen sind im wesentlichen [80] entnommen. Zur Integration der Renormierungsgruppengleichungen wurde eine auf der Runge-Kutta-Methode vierter Ordnung basierende Routine mit adaptiver Schrittweitensteuerung benutzt. Dabei wird der durch die endliche Schrittweite erzeugte Fehler abgeschatzt und unterhalb einer vorzugebenden Schranke gehalten. Diese Schranke wurde so festgelegt, da

die Fehler aufgrund der Integration deutlich kleiner als die experimentellen Unsicherheiten sind. In den -Funktionskoeffizienten zweiter Ordnung der Yukawa-Matrizen und der Higgs-Kopplung wurde die Naherung benutzt, nur die betragsmaßig großten Eintrage der Yukawa-Matrizen zu verwenden und alle ubrigen auf Null zu setzen.

Die Diagonalisierung der Massenmatrizen gemaß (1.29) entspricht der numerischen Losung eines nichtlinearen Gleichungssystems und wurde mit Hilfe der multidimensionalen Newton-Raphson-Methode durchgefuhrt.

## 4.5 Eigenschaften der leichten Neutrinos

Die Massen und Mischungen der leichten Neutrinos bei $M_Z$ sind in Tabelle 4.3 zusammengefaßt, welche einen Ausschnitt aus Tabelle D.4 darstellt.

| Parameter | Wert in Modell 1 | Wert in Modell 2a | Wert in Modell 2b |
|---|---|---|---|
| $(y_1 M_R/M_I)$ $m_1$ | 0.0245 eV | $8.73 \cdot 10^{-4}$ eV | $1.16 \cdot 10^{-3}$ eV |
| $(y_1 M_R/M_I)$ $m_2$ | 0.0876 eV | 0.355 eV | 0.467 eV |
| $(y_1 M_R/M_I)$ $m_3$ | 2.402 eV | 3.031 eV | 4.365 eV |
| $\sin^2(2\theta)_{12}$ | 0.487 | 0.050 | 0.051 |
| $\sin^2(2\theta)_{23}$ | 0.205 | 0.506 | 0.496 |
| $\sin^2(2\theta)_{31}$ | 0.004 | 0.003 | 0.003 |
| $m_2/m_1$ | 3.57 | 406.3 | 401.2 |
| $m_3/m_2$ | 27.43 | 8.54 | 9.35 |
| $\frac{m_3^2 - m_2^2}{m_2^2 - m_1^2}$ | 815.4 | 71.9 | 86.4 |

Tabelle 4.3: Massen und Mischungswinkel der leichten Neutrinos bei $M_Z$

Da sich die Massen der geladenen Leptonen zwischen $= M_Z$ und $= M_Z$ 0 kaum andern, kann man das in noch starkerem Maße von den Neutrinomassen erwarten, da die Neutrinos nur schwach wechselwirken. Vergleicht man die Tabellen D.4 einerseits und D.1 sowie D.2 andererseits, so erkennt man, daß die Mischungswinkel aller Fermionen zwischen $M_I$ und $M_Z$ nur minimal skalenabhangig sind. Im folgenden wird deshalb von $^{(f)}_{L;R\,jk}(M_Z) = {}^{(f)}_{L;R\,jk}(m_p)$ ausgegangen.

In Tabelle 4.3 erkennt man zunachst die starke Ahnlichkeit der Eigenschaften von Modell 2a und 2b. Beide realisieren eine Oszillationslosung des Sonnen-Neutrinodefizits uber den MSW-Effekt mit kleinen Mischungen, wahrend Modell 1 auf den MSW-Effekt mit großer Mischung fuhrt. Von den linkshandigen Mischungen der geladenen Leptonen ist lediglich $^{(e)}_{L\,23}$ in Modell 1 betragsmaßig deutlich großer als Null. In den anderen beiden Fallen kommt die große (23)-Mischung in $U$, welche die Anomalie der atmospharischen Neutrinos erklart, allein durch die reine Neutrinomischung zustande.

Fur $(m^2_3 - m^2_2)/(m^2_2 - m^2_1)$ $m^2_{atm}/m^2_{sun}$ waren aufgrund der experimentellen Grenzen Werte zwischen 50 und 1000 zugelassen worden. Hier fallt auf, da der Wert in Modell1 nahe an der oberen Schranke ist, wahrend die Resultate in den Modellen 2a,b deutlich im unteren Teil des erlaubten Bereichs liegen. Dem steht die durch Abbildung 3.1(a) begrundete Erwartung gegenuber, bei festem $m^2_{atm}$ fur den MSW-Effekt mit groer Mischung den im Vergleich zum MSW-Effekt mit kleiner Mischung kleineren Wert fur $m^2_{atm}/m^2_{sun}$ zu finden.

Tabelle 4.4 gibt die Werte von $(y_1 M_R/M_I)$ und $y_1 M_R$ an, welche benotigt werden, um die erhaltenen Vorhersagen fur $(m^2_3 - m^2_2)$ und $(m^2_2 - m^2_1)$ an die experimentellen Grenzen fur $m^2_{atm}$ und $m^2_{sun}$ aus (3.20-3.27) anzupassen. Sie sind angesichts der erwarteten

| Groe | Wert in Modell1 | Wert in Modell2a | Wert in Modell2b |
|---|---|---|---|
| $M_I$ (GeV) | $6{:}14 \cdot 10^{10}$ | $6{:}14 \cdot 10^{10}$ | $6{:}14 \cdot 10^{10}$ |
| $(y_1 M_R/M_I)$ | 25 30 | 100 150 | 135 215 |
| $y_1 M_R$ (GeV) | $(1{:}54 \; 1{:}84) \cdot 10^{12}$ | $(6{:}14 \; 9{:}21) \cdot 10^{12}$ | $(8{:}29 \; 13{:}20) \cdot 10^{12}$ |
| $m_1$ (eV) | $(8{:}2 \; 9{:}8) \cdot 10^{4}$ | $(5{:}8 \; 8{:}7) \cdot 10^{6}$ | $(5{:}4 \; 8{:}6) \cdot 10^{6}$ |
| $m_2$ (eV) | $(2{:}9 \; 3{:}5) \cdot 10^{3}$ | $(2{:}4 \; 3{:}6) \cdot 10^{3}$ | $(2{:}2 \; 3{:}5) \cdot 10^{3}$ |
| $m_3$ (eV) | $(8{:}0 \; 9{:}6) \cdot 10^{2}$ | $(2{:}0 \; 3{:}0) \cdot 10^{2}$ | $(2{:}0 \; 3{:}2) \cdot 10^{2}$ |
| $m^2_2 - m^2_1$ (eV$^2$) | $(7{:}7 \; 11{:}3) \cdot 10^{6}$ | $(5{:}8 \; 13{:}0) \cdot 10^{6}$ | $(4{:}8 \; 12{:}3) \cdot 10^{6}$ |
| $m^2_3 - m^2_2$ (eV$^2$) | $(6{:}4 \; 9{:}2) \cdot 10^{3}$ | $(3{:}9 \; 8{:}9) \cdot 10^{4}$ | $(4{:}0 \; 10{:}1) \cdot 10^{4}$ |

Tabelle 4.4: Werte von $(y_1 M_R/M_I)$ und $y_1 M_R$ und daraus resultierende Neutrinomassen

Relation $M_R$ $M_I$ vergleichsweise gro, da $y_1$ als Yukawa-Kopplung . 1 sein sollte. Andererseits ist $(y_1 M_R/M_I)$ 100 auch keineswegs ausgeschlossen, da der exakte Wert von $M_R$ von zahlreichen Parametern im nicht explizit bekannten Higgs-Potential abhangt. Diese sollten zwar von der Groenordnung 1 sein, aber es ist durchaus moglich, da der Proportionalitatskoeffizient in $M_R$ $M_I$ aus einer nichttrivialen Kombination der Parameter besteht und im Bereich 1/100 bis 100 liegt. Uberdies ist in Abschnitt 4.2 eine Unsicherheit . $10^{\pm 2:6}$ 400 in $M_I$ aufgrund von Schwelleneffekten berechnet worden. Die Vernachlassigung der massenabhangigen Schwellenkorrekturen bei der Bestimmung von $M_I$ in Abschnitt 4.1 konnte somit theoretisch zu einem um zwei Groenordnungen zu kleinen Wert gefuhrt haben. Eine Kombination dieser beiden Moglichkeiten ist demnach definitiv in der Lage, $(y_1 M_R/M_I)$ 100 zu realisieren.

Wie schon weiter oben erwahnt wurde, liegen im Modell1 die Werte fur $m^2_2 - m^2_1$ im unteren Teil des fur $m^2_{sun}$ zulassigen Bereichs, wahrend jene fur $m^2_3 - m^2_2$ im Rahmen der experimentellen Grenzen von $m^2_{atm}$ relativ gro sind. In den Modellen 2a,b beobachtet man ein gegenteiliges Verhalten dieser Groen.

Vergleicht man die Modellvorhersagen fur die leptonische Mischungsmatrix U (siehe Anhang D.4) mit den Grenzen aus (3.20-3.27), so erkennt man eine gute Ubereinstimmung

zwischen beiden; alle Eintrage von U liegen innerhalb der erlaubten Bereiche. Auffallig ist bei allen drei Modellen die Tatsache, da die (23)-Mischung in U vergleichsweise klein ist. Insbesondere in Modell 1 ist $|(U)_{23}| = 0{:}504$ nahe an der unteren Schranke 0.49, wahrend die $|(U)_{23}|$-Werte in den Modellen 2a,b (0.536 beziehungsweise 0.552) etwas groer sind. Da die existierenden ebenso wie die neu hinzukommenden Neutrinoexperimente die Grenzen in (3.20–3.27) weiter einschranken werden, ist Modell 1 in diesem Sinne weniger uberzeugend als die anderen beiden. Das hier vorgeschlagene SO(10)-Massenmodell deutet also auf eine MSW-Losung mit kleiner Mischung hin. Sollte der MSW-Effekt mit kleiner Mischung durch Experimente eindeutig als Ursache fur das Defizit der Sonnen-Neutrinos bestatigt werden, wird es schwierig sein, eines der Modelle 2a und 2b anhand der Eigenschaften im Neutrinosektor als in der Natur realisiert zu identifizieren. Dazu mu man auf die Vorhersagen bezuglich der Nukleonzerfallsraten zuruckgreifen, welche im nachsten Kapitel berechnet werden.

Die Existenz von leichten Majorana-Neutrinos hat eine weitere uberprufbare Konsequenz, nam lich die sogenannten neutrinolosen doppelten $\beta$-Zerfalle. Sie kommen durch den Austausch eines Majorana-Neutrinos zwischen zwei zerfallenden Neutronen zustande, was zu Kernreaktionen der Form $X^A_Z \to X^A_{Z+2} + 2e^-$ fuhrt. Die experimentelle Nichtbeobachtung solcher Prozesse liefert die Einschrankung [81]:

$$\langle m \rangle \equiv \sum_i (U)^2_{1i} m_i \lesssim 0{:}2\,\mathrm{eV} \tag{4.87}$$

Alle hier untersuchten Losungen erfullen diese Bedingung.

## 4.6 Baryonasymmetrie durch Neutrinozerfalle

Obwohl nicht Gegenstand dieser Arbeit, soll hier kurz auf die Moglichkeit hingewiesen werden, die Baryonasymmetrie des Universums im Rahmen einer SO(10)-GUT mit See-Saw-Mechanismus durch den Zerfall der schweren Majorana-Neutrinos zu erklaren. Einen aktuellen Uberblick zu diesem Thema liefert [15].

Das beobachtete Universum scheint wesentlich mehr Materie als Antimaterie zu enthalten. Wenn $n_b$, $n_{\bar{b}}$ und $n_\gamma$ die mittleren Teilchenzahldichten der Baryonen, Antibaryonen und Photonen im Universum bezeichnen, ergibt sich fur die Groe $(n_b - n_{\bar{b}})/n_\gamma$ aus kosmologischen Uberlegungen der Wert $4 \cdot 10^{-10} \ldots 7 \cdot 10^{-10}$ [15, 82]. Wenn man davon ausgeht, da bei der Entstehung des Universums Null war, so kann die Kosmologie die heute beobachtete Baryonasymmetrie nicht erklaren. Dazu mu auf die Physik der Elementarteilchen zuruckgegriffen werden.

Wie in [83] gezeigt wurde, sind fur die Entstehung der Baryonasymmetrie in einem ursprunglich symmetrischen Universum drei notwendige Kriterien zu erfullen, nam lich die Existenz baryonzahlverletzender Wechselwirkungen, die Verletzung von C und CP sowie das Vorhandensein eines thermischen Ungleichgewichts. Die Baryonzahlverletzung ist naheliegenderweise notwendig, um $\Delta B \neq 0$ zu ermoglichen, und ist sowohl in SO(10)- als

auch $G_{PS}$-Modellen enthalten; lediglich die Kombination $B - L$ ist Teil der Eichsymmetrie und somit eine Erhaltungsgroße. C- und CP-Verletzung sind erforderlich, da sich zeigen läßt, daß andernfalls die Rate der Prozesse, welche Baryonen erzeugen, genauso groß wie die der antibaryonerzeugenden Prozesse ist. Während die Eichboson- und Fermionsektoren von SO(10)-GUTs C- und CP-invariant sind, lassen sich diese Symmetrien durch Einführung komplexer Higgs-Kopplungen explizit brechen. Schließlich ist ein thermisches Ungleichgewicht erforderlich, da der Baryonzahloperator $B$ bei einer Temperatur $T$ im Gleichgewicht den Erwartungswert

$$\begin{aligned} \langle B \rangle_T &= \mathrm{Tr}\, e^{-\beta H} B = \mathrm{Tr}\,[CPT][CPT]^{-1} e^{-\beta H} B \\ &= \mathrm{Tr}\, e^{-\beta H} [CPT]^{-1} B [CPT] = \mathrm{Tr}\, e^{-\beta H} B \stackrel{!}{=} 0 \end{aligned} \tag{4.88}$$

besitzt, vorausgesetzt, die Theorie ist CPT-invariant. Ob sich ein System im thermischen Gleichgewicht befindet, läßt sich nur durch Lösung seiner Boltzmann-Gleichungen feststellen. In erster Näherung kann man aber sagen, daß ein Ungleichgewicht vorliegt, wenn die Expansionsrate des Universums größer als die Raten der baryon- und leptonzahlverletzenden Wechselwirkungen ist. Das sollte bei Temperaturen $T \gtrsim M_I$ der Fall sein.

Somit ist im vorliegenden SO(10)-Modell die Entstehung einer $B + L$-Asymmetrie bei Energien $\gtrsim M_I$ möglich. Allerdings existieren auch im SM baryon- und leptonzahlverletzende Prozesse, welche $B - L$ erhalten und auf nichtperturbativen Effekten beruhen. Während nämlich die klassische Lagrangedichte des SM invariant unter globalen $U(1)_{B,L}$-Symmetrien ist, besitzen die zu diesen Symmetrien gehörenden Ströme in der quantisierten Theorie Anomalien [84]. Das führt zu $B + L$-verletzenden Prozessen, welche bei $T \neq 0$ durch einen Faktor $\exp(-2\pi/\alpha_2)$ unterdrückt sind und vernachlässigt werden können. Bei Temperaturen $10^2\ \mathrm{GeV} \lesssim T \lesssim 10^{12}\ \mathrm{GeV}$ jedoch sind sie in Gegenwart von statischen topologischen Feldkonfigurationen, den sogenannten Sphaleronen, stark genug, um eine vorhandene $B + L$-Asymmetrie vollständig auszuwaschen [85]. Andererseits sind sie in der Lage, eine bereits vorhandene $B - L$-Asymmetrie teilweise in eine $B$-Asymmetrie gemäß

$$B(T \lesssim M_Z) = \frac{32 + 4n_H}{98 + 13n_H}(B - L) \tag{4.89}$$

umzuwandeln.

Nun erhalten im Rahmen der $B - L$-Symmetriebrechung bei $M_I$ die schweren Neutrinos ihre Massen. Aufgrund ihrer Majorana-Natur können sie über leptonzahlverletzende Prozesse

$$N_R \to l_L + \Phi \quad ; \quad N_R \to \bar{l}_L + \Phi^\dagger \tag{4.90}$$

sowohl in Leptonen als auch in Antileptonen zerfallen; $\Phi$ bezeichnet ein Higgs-Teilchen. Die notwendige CP-Verletzung wird durch komplexe Kopplungen zwischen $N_R$, $l_L$ und $\Phi$ realisiert. Auf diese Weise erhält man eine reine Lepton- und somit eine $B - L$-Asymmetrie, die gemäß (4.89) in die beobachtete Baryonasymmetrie des Universums konvertiert werden kann [86]. Damit die leptonzahlverletzenden Zerfälle der schweren Neutrinos im erforderlichen

thermischen Ungleichgewicht stattfinden, muß die zugehörige Zerfallsrate kleiner als die Expansionsrate des Universums bei dieser Temperatur sein. Das läßt sich qualitativ als Bedingung

$$m_\nu \lesssim \left(\frac{M}{10^{10}\,\mathrm{GeV}}\right)^{1/2} 4\,\mathrm{eV} \tag{4.91}$$

für die Massen $m_\nu$ der leichten Neutrinos schreiben, wobei $M \equiv \min\{M_I; 10^{12}\,\mathrm{GeV}\}$ ist [87]. Im hier untersuchten Massenmodell ist (4.91) offensichtlich erfüllt.

# Kapitel 5

# Zerfallsraten der Nukleonen

Wie in Kapitel 2 dargestellt wurde, gehört die Instabilität der Nukleonen zu den bemerkenswertesten Vorhersagen von GUTs. Die Bestimmung der partiellen und totalen Zerfallsraten im Rahmen des hier untersuchten SO(10)-Massenmodells wird Gegenstand dieses Kapitels sein. Dazu sind zwei wesentliche Schritte notwendig:

Zunächst muß die vollständige effektive Lagrangedichte $L_{eff}$ der durch Eichbosonaustausch vermittelten Nukleonenzerfälle in der Basis der Masseneigenzustände bestimmt werden. Das geschieht analog zur Herleitung der Lagrangedichte der Fermi-Theorie aus jener der elektroschwachen Wechselwirkung.

Weiterhin muß man die hadronischen Übergangsmatrixelemente berechnen. Hierzu sind in der Vergangenheit das nichtrelativistische Quark-Modell [88, 89, 90], das Bag-Modell [91] und die chirale Störungsrechnung [92] verwendet worden. Ursprüngliche Diskrepanzen zwischen den Resultaten der chiralen Störungsrechnung und denen der Quark-Modelle sind in [93] beseitigt worden; [94] gibt eine Übersicht über die mit den verschiedenen Verfahren erzielten Ergebnisse. In dieser Arbeit wird analog zu [89] und [90] vorgegangen.

Prinzipiell existieren auch Nukleonzerfallsprozesse aufgrund von Higgs-Austausch. Diese sind aber selbst dann vernachlässigbar, wenn das Higgs-Teilchen eine Masse der Größenordnung $M_I$ hat, da die Übergangswahrscheinlichkeit proportional zur vierten Potenz der sehr kleinen Yukawa-Kopplungen an die drei leichten Quarks ist.

## 5.1 Die effektive Lagrangedichte

Ausgangspunkt ist der baryonzahlverletzende Anteil der SO(10)-Lagrangedichte (2.27). Verallgemeinert man ihn auf drei Fermiongenerationen und ersetzt die Wechselwirkungs- durch die Masseneigenzustände analog zu (1.30), kann man die vollständige effektive Lagrangedichte der Vier-Fermion-Wechselwirkungen berechnen, welche die eichbosonvermittelten

Nukleonenzerfalle beschreibt. Fur den Fall zweier Generationen ist das in [95] durchgefuhrt worden. Unter Benutzung der Fierz-Identitaten

$$(1L\ 2L)\ (3L\ 4L) = (1L\ 4L)\ (3L\ 2L)\ ; \tag{5.1}$$

$$(1L\ 2L) = (\overline{2R}\ \overline{1R}) \tag{5.2}$$

erhalt man als Resultat:

$$\begin{aligned}
\mathcal{L}_{eff} = {} & A_1\ \varepsilon\ (u_L^C\ u_L)\ (e_L^+\ d_L) + A_2\ \varepsilon\ (u_L^C\ u_L)\ (e_R^+\ d_R) \\
& + A_3\ \varepsilon\ (u_L^C\ u_L)\ (\nu_L^+\ d_L) + A_4\ \varepsilon\ (u_L^C\ u_L)\ (\nu_R^+\ d_R) \\
& + A_5\ \varepsilon\ (u_L^C\ u_L)\ (e_L^+\ s_L) + A_6\ \varepsilon\ (u_L^C\ u_L)\ (e_R^+\ s_R) \\
& + A_7\ \varepsilon\ (u_L^C\ u_L)\ (\nu_L^+\ s_L) + A_8\ \varepsilon\ (u_L^C\ u_L)\ (\nu_R^+\ s_R) \\
& + A_9\ \varepsilon\ (u_L^C\ d_L)\ (\overline{e}_R^C\ d_R) + A_{10}\ \varepsilon\ (u_L^C\ d_L)\ (\overline{\nu}_R^C\ d_R) \\
& + A_{11}\ \varepsilon\ (u_L^C\ d_L)\ (\overline{e}_R^C\ s_R) + A_{12}\ \varepsilon\ (u_L^C\ d_L)\ (\overline{\nu}_R^C\ s_R) \\
& + A_{13}\ \varepsilon\ (u_L^C\ s_L)\ (\overline{e}_R^C\ d_R) + A_{14}\ \varepsilon\ (u_L^C\ s_L)\ (\overline{\nu}_R^C\ d_R) \\
& + A_{15}\ \varepsilon\ (u_L^C\ d_L)\ (\overline{\nu}_R^C\ d_R) + A_{16}\ \varepsilon\ (u_L^C\ d_L)\ (\overline{\nu}_R^C\ s_R) \\
& + A_{17}\ \varepsilon\ (u_L^C\ s_L)\ (\overline{\nu}_R^C\ d_R) \\
& + (\text{Terme mit zwei s-Quarks}) \\
& + (\text{Terme mit c-, b- und t-Quarks}) \\
& + (\text{Terme mit } \nu_{L,R}^+ \text{ und } \overline{e}_{e,\mu,\tau\,L}^C) \\
& + (\text{h.c.})
\end{aligned} \tag{5.3}$$

Die $A_i$-Koeffizienten sind in Anhang E.1 aufgefuhrt und hangen außer von den Eichbosonmassen $M_{X,Y}$ und $M_{X',Y'}$, fur welche $M_{X,Y} = M_{X',Y'} \equiv M_U$ angenommen wird, von $g_U$ und den Elementen der fermionischen Mischungsmatrizen $U_{R,L}$, $D_{R,L}$, $E_{R,L}$ und $N_L$ ab. Diese Großen sind bereits im vorigen Kapitel bestimmt worden, so daß alle $A_i$ bekannt sind. $N_R$ hat keinen Einfluß auf die $A_i$, da sie die Massenmatrix der schweren Neutrinos diagonalisiert, welche als Zerfallsprodukte der Nukleonen nicht vorkommen. An dieser Stelle wird klar, warum die Fermionmischungen fur die Verzweigungsraten der Nukleonenzerfalle von großer Bedeutung sind.

## 5.2 Hadronische Ubergangsmatrixelemente

Die hier verwendete Methode zur Berechnung der Ubergangsmatrixelemente entspricht dem sogenannten „recoil\"-Modell in [89]. Grundlage ist ein Quark-Modell mit SU(6)-Spin-Flavour-Symmetrie; die Quarks treten in drei Flavours u, d und s sowie zwei Spinzustanden $\uparrow$ und $\downarrow$ auf. Alle sechs unabhangigen Quarkzustande haben dieselbe Masse m, was eine einheitliche Masse fur die Mesonen zur Folge hat. Die SU(6)-Symmetrie wird spater bei der Berechnung der Zerfallsraten durch einen Phasenraumfaktor explizit gebrochen.

Es wird in einem Bezugssystem gearbeitet, in dem das Nukleon, bevor es zerfallt, im Ursprung des Systems in Ruhe ist. Die Spineinstellungen " + 1=2 beziehungsweise # 1=2 werden relativ zur z-Achse angegeben. Der Zerfall führt stets auf ein Antilepton, welches sich in positive z-Richtung bewegt, während das Meson einen Rucksto in Richtung der negativen z-Achse erhalt. Das entstehende Antilepton wird als relativistisch angenommen und es gilt $l_R^C$ $\hat{l}$ " und $l_L^C$ $\hat{l}$ #.

Die Vorgehensweise zur Berechnung der Matrixelemente soll kurz am Beispiel von $he^+ \; {}^0 jL_{eff} jpi$ erlautert werden, für Details sei auf [89] verwiesen. Aufgrund der Drehimpulserhaltung la t sich die Ubergangswahrscheinlichkeit zunachst gema

$$jhe^+ \; {}^0 jL_{eff} jpij^2 \quad ! \quad jhe_R^+ \; {}^0 jL_{eff} jp"ij^2 + jhe_L^+ \; {}^0 jL_{eff} jp\#ij^2 \tag{5.4}$$

zerlegen. Eine weitere Zerlegung ist moglich, indem der Zustand $j\,{}^0 i$ durch den Spin-, Flavour- und Farbanteil seiner Wellenfunktion ausgedruckt wird:

$$j\,{}^0 i = 1 = \sqrt{12} \quad ju^C \; "u \; \# \quad u^C \; \# u \; " \quad d^C \; "d \; \# + d^C \; \# d \; "i \tag{5.5}$$

Dadurch ergeben sich die Matrixelemente der für den Zerfall $p \; ! \; e^+ \; {}^0$ relevanten Elementarprozesse:

$$\begin{aligned} &he_R^+ u^C \; "u\# jL_{eff} jp"i \; ; \; he_R^+ u^C \# u" jL_{eff} jp"i \; ; \\ &he_R^+ d^C \; "d\# jL_{eff} jp"i \; ; \; he_R^+ d^C \# d" jL_{eff} jp"i \end{aligned} \tag{5.6}$$

Die Matrixelemente mit $e_L^+$ im Endzustand erhalt man analog. Auch das Proton kann gema

$$jp"i = 1 = \sqrt{18} \; " \quad j(u \; "d \; \# \quad u \# d \; ")u \; "i \tag{5.7}$$

in seine Spin-, Flavour- und Farbanteile zerlegt werden. Die Ortsanteile der Wellenfunktionen werden spater berucksichtigt, da sie in guter Naherung für alle Zerfallsprozesse gleich gro sind. Die Spin-Flavour-Anteile der Mesonwellenfunktionen konnen in Anhang E.2 gefunden werden.

Weiterhin identifiziert man die für die Bestimmung von (5.4) relevanten Terme in $L_{eff}$ als

$$A_2 \; " \quad u_L^C \quad u_L \quad e_R^+ \quad d_R \quad \text{für } he_R^+ \; {}^0 jL_{eff} jp"i$$

$$A_1 \; " \quad u_L^C \quad u_L \quad e_L^+ \quad d_L \quad \text{für } he_L^+ \; {}^0 jL_{eff} jp\#i$$

Im nachsten Schritt werden nun alle Quark- und Antiquarkfelder sowohl in den Zustandsfunktionen $jpi$ und $h \; {}^0 j$ als auch in den Lagrangedichteterm en in Form von Erzeugungs- und Vernichtungsoperatoren sowie Dirac-Spinoren u und v ausgedruckt. Für ein Quark q beziehungsweise Antiquark $q^C$ erhalt man auf diese Weise

$$q \quad \hat{a}(q)u + \hat{b}^y(q)v \; ; \quad q^C \quad \hat{a}(q)v + \hat{b}^y(q)u \; ; \tag{5.8}$$

wobei der Operator $\hat{a}(q)$ ein q-Quark vernichtet und der Operator $\hat{b}^{\dagger}(q)$ ein $q^c$-Antiquark erzeugt; die Spinoren u und v mit

$$(\not{p} - m)u = 0; \quad (\not{p} + m)v = 0 \tag{5.9}$$

sind in [96] definiert. Man erhalt auf diese Weise umfangreiche Ausdrucke fur die Groen in (5.6), welche sich jedoch betrachtlich vereinfachen, wenn man unter Ausnutzung der Antikommutator-Eigenschaften

$$\{\hat{a}(q); \hat{a}^{\dagger}(q')\} = \{\hat{b}(q); \hat{b}^{\dagger}(q')\} \quad _{qq'} \tag{5.10}$$

$$\{\hat{a}(q); \hat{a}(q')\} = \{\hat{b}(q); \hat{b}(q')\} = \{\hat{a}^{\dagger}(q); \hat{a}^{\dagger}(q')\} = \{\hat{b}^{\dagger}(q); \hat{b}^{\dagger}(q')\} = 0 \tag{5.11}$$

$$\{\hat{a}(q); \hat{b}(q')\} = \{\hat{a}^{\dagger}(q); \hat{b}(q')\} = \{\hat{a}(q); \hat{b}^{\dagger}(q')\} = \{\hat{a}^{\dagger}(q); \hat{b}^{\dagger}(q')\} = 0 \tag{5.12}$$

die Vernichtungsoperatoren auf den Vakuumzustand $|0\rangle$ und die Erzeugungsoperatoren auf den Zustand $\langle 0|$ wirken la t und dadurch fur die meisten Terme Null erhalt. In den nichtverschwindenden Beitragen verbleiben die Spinor-Amplituden, welche noch berechnet werden mussen.

Im „recoil\"-Modell wird vom Ubergang zweier statischer Quarks derselben Masse m in ein relativistisches Antilepton und ein Antiquark, welches einen Rucksto impuls p mit $(p/m = 3/4)$ besitzt, ausgegangen. Die Spinoren der Antileptonen sind demnach durch

$$I_R^c = \frac{1}{\sqrt{2}} \begin{pmatrix} 0 \\ 0 \\ \uparrow \\ \downarrow \end{pmatrix}; \quad I_L^c = \frac{1}{\sqrt{2}} \begin{pmatrix} \downarrow \\ \uparrow \\ 0 \\ 0 \end{pmatrix} \tag{5.13}$$

und die der statischen Quarks durch

$$u\uparrow = \begin{pmatrix} 1 \\ 0 \\ 0 \\ 0 \end{pmatrix}; \quad u\downarrow = \begin{pmatrix} 0 \\ 1 \\ 0 \\ 0 \end{pmatrix}; \quad v\uparrow = \begin{pmatrix} 0 \\ 0 \\ 0 \\ 1 \end{pmatrix}; \quad v\downarrow = \begin{pmatrix} 0 \\ 0 \\ 1 \\ 0 \end{pmatrix} \tag{5.14}$$

gegeben. Die nichtstatischen Antiquarks im Endzustand werden durch die Spinoren

$$u\uparrow = \frac{1}{\sqrt{10}} \begin{pmatrix} 3 \\ 0 \\ \uparrow \\ \downarrow \end{pmatrix}; \quad u\downarrow = \frac{1}{\sqrt{10}} \begin{pmatrix} \downarrow \\ \uparrow \\ 0 \\ 3 \end{pmatrix};$$

$$v\uparrow = \frac{1}{\sqrt{10}} \begin{pmatrix} \uparrow \\ 0 \\ 3 \\ \downarrow \end{pmatrix}; \quad v\downarrow = \frac{1}{\sqrt{10}} \begin{pmatrix} 0 \\ \downarrow \\ \uparrow \\ 3 \end{pmatrix} \tag{5.15}$$

beschrieben. Nun lassen sich die Spinor-Amplituden bestimmen; Tabelle 5.1 enthalt alle nichtverschwindenden Amplituden und deren Werte. Die Amplituden zu den Zerfallen mit linkshandigen Antileptonen im Endzustand erhalt man durch Ersetzen von $I_R^c$ mit $I_L^c$ und Vertauschen von " und #.

Damit kann man die Matrixelemente (5.6) berechnen, und aus diesen lassen sich unter Berucksichtigung der Spin-Flavour-Struktur (5.5) des Mesons wiederum die Ubergangswahrscheinlichkeiten in (5.4) bestimmen. Analog verfahrt man fur alle relevanten Zerfallskanale; die Tabelle E.4 gibt die Resultate fur die Amplituden der elementaren Zerfallsprozesse an, wahrend Tabelle E.5 die Ubergangswahrscheinlichkeiten fur die Zerfalle mit physikalischen Endzustanden beinhaltet. Zu beachten ist die Tatsache, da die Amplituden der einzelnen Elementarprozesse von unterschiedlichen $A_i$-Koeffizienten gema (5.3) begleitet werden.

| Amplitude | $(u\uparrow\ u\uparrow)(\ell^C_R\ u\uparrow)$ | $(u\downarrow\ u\uparrow)(\ell^C_R\ u\downarrow)$ | $(v\downarrow\ v\downarrow)(\ell^C_R\ u\uparrow)$ |
|---|---|---|---|
| Wert | $2/\sqrt{5}$ | $1/\sqrt{5}$ | $2/\sqrt{5}$ |
| Amplitude | $(v\uparrow\ v\downarrow)(\ell^C_R\ u\downarrow)$ | $(v\uparrow\ u\uparrow)(\ell^C_R\ v\uparrow)$ | $(v\uparrow\ u\uparrow)(\ell^C_R\ v\downarrow)$ |
| Wert | $2/\sqrt{5}$ | $2/\sqrt{5}$ | $1/\sqrt{5}$ |

Tabelle 5.1: Spinor-Amplituden der hadronischen Matrixelemente

## 5.3 Berechnung der Zerfallsraten

Für die partielle Zerfallsrate eines bestimmten Prozesses Nukleon $\rightarrow$ Meson + Antilepton gilt die Beziehung

$$\Gamma_j = \frac{1}{16\pi} m^2_{Nukl}\, \rho_j\, |S|^2 |A|^2 \left( |A_L|^2 \sum_l |A_l M_l|^2 + |A_R|^2 \sum_r |A_r M_r|^2 \right) ; \qquad (5.16)$$

welche man aus der allgemeinen Bestimmungsgleichung für $\Gamma$ in Zwei-Teilchen-Zerfällen unter Berücksichtigung der spezifischen Annahmen des „recoil"-Modells erhält. (5.16) ist äquivalent zu der in [90] gegebenen Gleichung für $\Gamma_j$ und unterscheidet sich von dieser lediglich darin, daß der Phasenraumfaktor und die Übergangsmatrixelemente aus [89] verwendet wurden, welche direkt proportional zu den in [90] benutzten sind. Weiterhin ist in (5.16) die Abhängigkeit von $\alpha_U$ und den Eichbosonmassen in den Koeffizienten $A_i$ aus (5.3) enthalten. Die verschiedenen Größen in (5.16) sind wie folgt definiert:

- $M_l$ und $M_r$ sind die für den jeweiligen Zerfallsprozeß relevanten hadronischen Übergangsmatrixelemente, wobei sich die Indizes $l$ und $r$ auf die Chiralität des Antileptons im Endzustand beziehen. Die Summation berücksichtigt die Tatsache, daß für einige Zerfälle zwei Lagrangedichteterme verantwortlich sind. Die Bestimmung der Matrixelemente war Gegenstand des letzten Abschnitts.

- $A_l$ und $A_r$ sind die zu $M_l$ beziehungsweise $M_r$ gehörenden Koeffizienten aus der effektiven Lagrangedichte. Gemäß (5.3) treten alle Matrixelemente der elementaren Zerfallsprozesse in Kombination mit einem bestimmten $A_i$-Koeffizient auf. Tabelle E.5 gibt die Werte für die unabhängigen $|A_r M_r|^2$ an; alle dort nicht explizit aufgeführten Größen lassen sich durch Symmetrieüberlegungen aus diesen herleiten.

- $A$; $A_L$ und $A_R$ sind Faktoren, welche aus der Renormierung der Vier-Fermion-Operatoren in der effektiven Lagrangedichte resultieren. Während nämlich die Berechnung der hadronischen Matrixelemente $M_{r;l}$ für Energieskalen $\mu \approx m_p$ durchgeführt wird, ist die eigentliche baryonzahlverletzende Wechselwirkung bei Skalen $\mu \gtrsim M_U$ wirksam. Das führt zu Renormierungseffekten, welche auf Strahlungskorrekturen zu den Vier-Fermion-Operatoren durch die $G_{PS}$- und SM-Eichbosonen beruhen. Eine formale Analyse dieses Phänomens im Rahmen einer SU(5)-GUT ist in [97] zu

finden, wahrend [98] die Renormierungseffekte fur den Fall einer SO(10)-Theorie untersucht. Fur das in dieser Arbeit untersuchte Modell sind die Faktoren durch

$$A_L = \left(\frac{_1(M_Z)}{_1(M_I)}\right)^{\frac{23}{82}} \tag{5.17}$$

$$A_R = \left(\frac{_1(M_Z)}{_1(M_I)}\right)^{\frac{11}{82}} \tag{5.18}$$

$$\begin{aligned} A = {} & \left(\frac{_{4C}(M_I)}{_{4C}(M_U)}\right)^{\frac{5}{8}} \left(\frac{_{2L}(M_I)}{_{2L}(M_U)}\right)^{\frac{27}{100}} \left(\frac{_{2R}(M_I)}{_{2R}(M_U)}\right)^{\frac{3}{20}} \left(\frac{_2(M_Z)}{_2(M_I)}\right)^{\frac{27}{38}} \\ & \left(\frac{_3(M_Z)}{_3(M_I)}\right)^{\frac{2}{7}} \left(\frac{_3(m_b)}{_3(M_Z)}\right)^{\frac{6}{23}} \left(\frac{_3(m_c)}{_3(m_b)}\right)^{\frac{6}{25}} \left(\frac{_3(1\,GeV)}{_3(m_c)}\right)^{\frac{2}{9}} \end{aligned} \tag{5.19}$$

gegeben. In die Exponenten gehen die anomalen Dimensionen der Vier-Fermion-Operatoren und die fuhrenden Koeffizienten der jeweiligen Eichkopplungs- -Funktionen ein. Die Eichkopplungen bei $M_Z$ sind in Tabelle C.1 zu finden, diejenigen bei $M_U$ und $M_I$ wurden im vorigen Kapitel bestimmt; Anhang C.2 enthalt die numerischen Resultate. Die Werte von $_3$ bei Energien $< M_Z$ sind [99] entnommen:

$$_3(1\,GeV) = 0{:}544\,; \quad _3(m_c) = 0{:}412\,; \quad _3(m_b) = 0{:}226 \tag{5.20}$$

Der Einflu der Skalenabhangigkeit von $_{em}$ wird vernachlassigt, da er viel kleiner als der von $_3$ ist ($_{em}^{1}(M_Z)$ 129, $_{em}^{1}(0)$ 137). Unter Verwendung aller Kopplungswerte erhalt man

$$|A_L|^2 = 1{:}155\,; \quad |A_R|^2 = 1{:}071\,; \quad |A|^2 = 23{:}59 \tag{5.21}$$

$|S^2| = h\,{}^{S}_{Nucl}(x_1;x_2;x_3)\,|\,(x_1 - x_2)\,|\,{}^{S}_{Nucl}(x_1;x_2;x_3)\,i$ steht fur die Wahrscheinlichkeit, zwei Valenzquarks des Nukleons in einem Raumpunkt zu finden. Das ist erforderlich, damit der Elementarproze $qq \to q^c l^c$ stattfinden kann, da die zugrundeliegende Wechselwirkung extrem kurzreichweitig ist. ${}^{S}_{Nucl}$ ist der Raumanteil der Wellenfunktion des Nukleons. Der raumliche Anteil der Mesonwellenfunktion wird wie in [90] vernachlassigt; die Spin-, Flavour- und Farbanteile der Wellenfunktionen sind bereits in die Berechnung von $M_{r;l}$ eingegangen. Fur $|S|^2$ wird der Wert $0.012\ GeV^3$ verwendet [100].

$_j$ $(1 - {}^{2}_{j})(1 - {}^{4}_{j})$ mit $_j = m_{Meson}/m_{Nukl}$ ist ein Phasenraumfaktor, welcher die SU(6)-Spin-Flavour-Symmetrie des im letzten Abschnitt verwendeten Quarkmodells explizit bricht. Er berucksichtigt die in der Natur existierenden unterschiedlichen Massen der Mesonen in den Endzustanden der Zerfallsprozesse und ihren Einflu auf die Raten. Tabelle E.3 enthalt die relevanten Werte von $_p$ und $_n$.

Damit sind alle Groen in (5.16) bekannt und die partiellen sowie totalen Zerfallsraten der Nukleonen konnen berechnet werden. Samtliche Resultate sowohl fur die untersuchten Modelle als auch fur den Fall verschwindender Fermionmischungen sind in den Tabellen E.7-E.10 im Anhang zusammengefat.

Man erkennt die generelle Tendenz, da der Einflu der Mischungen zu einer deutlichen Unterdruckung des Zerfallskanals $p;n \to e^+ X$ fuhrt, wahrend die Kanale $p;n \to {}^+ X$ und $p;n \to {}^c X$ im Vergleich zum Fall verschwindender Mischungen bevorzugt werden. Besonders auffallig ist das bei den Zerfallen $p;n \to {}^+$ , $p;n \to {}^c K$ und $p \to {}^+ !$. Insofern unterscheiden sich die Verzweigungsraten zum Teil betrachtlich von denen nichtsupersymmetrischer GUT-Modelle mit kleinen Mischungen, welche eine deutliche Dominanz von $p;n \to e^+ X$ -Zerfallen vorhersagen. SUSY-GUTs dagegen bevorzugen Zerfalle mit K -Mesonen im Endzustand [94].

Zwischen den Verzweigungsraten der drei analysierten Modelle bestehen teilweise deutlich ausgepragte Unterschiede, was man auch an den in Tabelle 5.2 dargestellten Verhaltnissen partieller Raten erkennen kann. Wahrend die Modelle 2a und 2b anhand ihrer Eigenschaften

| Groe | ohne Mischungen | Modell 1 | Modell 2a | Modell 2b |
|---|---|---|---|---|
| $\frac{(p \to e^+ K^0)}{(p \to e^+ {}^0)}$ | 0 | 0.145 | 0.104 | 0.162 |
| $\frac{(p \to {}^+ {}^0)}{(p \to {}^+ K^0)}$ | 0 | 3.27 | 6.33 | 3.11 |
| $\frac{(p \to {}^c K^+)}{(p \to {}^c {}^+)}$ | 0.003 | 0.098 | 0.064 | 0.157 |
| $\frac{(p \to e^+ {}^0)}{(p \to {}^c {}^+)}$ | 1.040 | 0.618 | 0.693 | 0.993 |
| $\frac{(n \to {}^+ \quad)}{(n \to e^+ \quad)}$ | 0 | 0.394 | 0.225 | 0.200 |
| $\frac{(n \to {}^+ \quad)}{(n \to e^+ \quad)}$ | 0 | 0.387 | 0.225 | 0.195 |
| $\frac{(n \to {}^c K^0)}{(n \to {}^c {}^0)}$ | 0.113 | 0.469 | 0.347 | 0.722 |
| $\frac{(n \to e^+ \quad)}{(n \to {}^c {}^0)}$ | 4.16 | 2.48 | 2.78 | 3.96 |

Tabelle 5.2: Verhaltnisse ausgewahlter partieller Nukleonzerfallsraten

im Neutrinosektor praktisch nicht unterscheidbar waren, zeigen sich in ihren Verzweigungsraten Differenzen, welche durchaus experimentell zuganglich sein sollten, sofern in Zukunft Nukleonenzerfalle beobachtet werden. Die totalen Zerfallsraten der einzelnen Modelle sind nahezu gleich und fuhren zu Lebensdauern im Bereich von $_{p;n}$ (3 4) $10^{34}$ Jahren.

Die in den Tabellen E.7-E.10 dargelegten Resultate dieser Untersuchung sind echte Vorhersagen des verwendeten SO (10)-Massenmodells und verdeutlichen auf eindrucksvolle Weise den Einflu der Fermionmischungen auf die Verzweigungsraten der Nukleonenzerfalle.

Bei allen Rechnungen ist stets mit den Mittelwerten der verwendeten Groen gearbeitet worden, ohne deren Fehler explizit zu berucksichtigen. Das ist insofern begrundet, als die Hauptquellen der auftretenden Unsicherheiten in den Einflussen der Schwellenkorrekturen und den modellspezifischen Naherungen bei der Bestimmung der hadronischen Matrixelemente

zu sehen sind. Gerade diese sind aber im Gegensatz zu den bekannten Meungenauigkeiten in den SM-Kopplungen und den Fermionmassen und -mischungen nur schwer abzuschatzen. Fur die Schwelleneffekte und deren Einlu auf die Werte der Symmetriebrechungsskalen ist das in Abschnitt 4.2 versucht worden, wahrend [101] die Auswirkung der Unsicherheit in den Ubergangsmatrixelementen auf die Lebensdauer des Protons mit einem Faktor $10^{0:7}$ ansetzt. Es kann allerdings davon ausgegangen werden, da die Effekte dieser Unsicherheiten in erster Linie die totalen Zerfallsraten beeinflussen, die Verzweigungsraten dagegen deutlich weniger betreffen. Letztere stellen aber die wirklich relevanten Vorhersagen des Massenmodells dar.

## 5.4 Experimenteller Status

Es bleibt zu prufen, ob die im letzten Abschnitt gemachten Vorhersagen bezuglich der partiellen und totalen Zerfallsraten der Nukleonen mit den experimentellen Grenzen fur diese Groen vertraglich sind.

Die Experimente, welche nach Nukleonenzerfallen suchen, lassen sich in zwei Kategorien einteilen. Wasser-Cerenkovdetektoren wie IMB 3 [102] und Kamiokande beziehungsweise Super-Kamiokande [103] sind besonders zum Nachweis von $p;n \to e^+$ geeignet, wahrend die Eisenkalorimeter-Spurdetektoren wie Frejus [104] und Soudan 2 [105] fur Zerfalle mit K-Mesonen und $^+$ im Endzustand sensitiv sind. Keines der Experimente hat bis heute eindeutige Hinweise auf die Instabilitat der Nukleonen liefern konnen, so da lediglich obere Grenzen fur die Zerfallsraten existieren. Die in [7] angegebenen Werte fur diese Grenzen

| Zerfallsproze | Super-Kamiokande [35] | Part. Data Group 1998 [7] |
|---|---|---|
| $p \to e^+ \ ^0$ | 29 | 5.5 |
| $p \to e^+$ | 11 | 1.4 |
| $p \to \ ^+ \ ^0$ | 23 | 2.7 |
| $p \to \ ^+ K^0$ | 4.0 | 1.2 |
| $p \to \ ^+$ | 7.8 | 0.69 |
| $p \to \ ^c K^+$ | 6.8 | 1.0 |
| $n \to \ ^c$ | 5.6 | 0.54 |

Tabelle 5.3: Aktuelle Resultate von Super-Kamiokande fur die unteren Grenzen der Nukleonlebensdauern in einigen Zerfallskanalen (alle Werte in $10^{32}$ Jahren)

sind in Tabelle E.6 aufgefuhrt, seitdem veroffentlichte Resultate von Super-Kamiokande zeigt Tabelle 5.3. Der Vergleich mit den Modellvorhersagen in den Tabellen E.7–E.10 fuhrt zu dem Schlu, da diese mit allen experimentellen Grenzen vertraglich sind.

Die Grenzwerte fur die Lebensdauern bezuglich bestimmter Zerfallsprozesse wie zum Beispiel $p \to e^+ \ ^0; \ ^+ \ ^0$ erreichen gema Tabelle 5.3 bereits den Bereich einiger $10^{33}$ Jahre,

was lediglich eine Grossenordnung unter den in dieser Arbeit gemachten Vorhersagen liegt. Letztere werden also in absehbarer Zeit direkt uberprufbar sein, da Super-Kamiokande weiterhin Daten aufnimmt und Experimente wie das auf einem Detektor aus flussigem Argon basierende ICARUS [106] neu hinzukommen werden.

# Zusammenfassung und Ausblick

Gegenstand dieser Untersuchung war ein Modell für die fermionischen Massenmatrizen auf der Grundlage einer SO(10)-Theorie, welche über eine intermediäre Pati-Salam-Symmetrie in das Standardmodell gebrochen wird. Der gewählte Ansatz bestand in einer asymmetrischen „Nearest Neighbour Interaction"-Form der Matrizen, die durch eine globale U(1)-Familiensymmetrie realisiert wird. Dieser beinhaltet im Rahmen des Standardmodells keine physikalischen Konsequenzen, da die rechtshändigen Mischungen dort nicht beobachtbar sind. In Theorien jenseits des Standardmodells jedoch haben alle Fermionmischungen betrachtlichen Einfluß auf observable Größen wie die Zerfallsraten der Nukleonen.

Nach der systematischen Bestimmung der Symmetriebrechungsskalen und Eichkopplungen in Abhängigkeit vom Teilcheninhalt des Modells sowie einer Abschätzung der Schwelleneffekte wurden die Massenmatrizen unter Berücksichtigung der SO(10)-spezifischen Beziehungen zwischen diesen konstruiert. Anschließend sind alle Lösungen des Modells numerisch bestimmt worden, welche neben den bekannten Parametern im Sektor der geladenen Fermionen auch phänomenologisch sinnvolle Neutrinoeigenschaften liefern. Es wurden insgesamt drei Lösungen des Modells gefunden, welche in der Lage sind, die Anomalien der Sonnen- und atmosphärischen Neutrinos durch Oszillationen zu erklären. Zwei davon deuten auf eine Lösung des Sonnen-Neutrinoproblems durch den MSW-Effekt mit kleiner Mischung hin, während die dritte den MSW-Effekt mit großer Mischung beinhaltet. Bemerkenswert ist, daß alle Lösungen auf leptonische (23)-Mischungen führen, die im Rahmen des zur Erklärung der Anomalie atmosphärischer Neutrinos erlaubten Parameterbereichs vergleichsweise klein sind. Da die (23)-Mischung desjenigen Modells, welches den MSW-Effekt mit großer Mischung realisiert, nahe an der unteren Grenze des zulässigen Bereichs liegt und letzterer durch die Oszillationsexperimente in naher Zukunft weiter eingeschränkt werden wird, sind die anderen beiden Lösungen als realistischer zu betrachten. Im Rahmen des hier analysierten Massenmodells erscheint eine Lösung des Sonnen-Neutrinoproblems durch den MSW-Effekt mit kleiner Mischung als wahrscheinlich.

Alle gefundenen Lösungen besitzen mehrere betragsmäßig große Mischungen im Sektor der geladenen Fermionen. Dabei handelt es sich sowohl um im Standardmodell nicht observable rechtshändige als auch um linkshändige Mischungswinkel. Demnach kann man von der Größe der CKM-Winkel nicht zwangslaufig auf die der linkshändigen Fermionmischungen schließen, wie es häufig getan wird. Die teilweise großen Mischungen führen zu charakteristischen

Verzweigungsraten der Nukleonenzerfalle, welche von denen bei verschwindenden Mischungen deutlich abweichen. Generell lat sich eine Unterdruckung der Kanale mit $e^+$ im Endzustand feststellen, wahrend Kanale mit $^+$ und $^c$ bevorzugt werden. Die drei Losungen sind aufgrund ihrer Vorhersagen fur die Verzweigungsraten auch untereinander unterscheidbar. Die berechneten Lebensdauern der Nukleonen betragen $_{p,n}$ (3 4) $10^{34}$ Jahre, was je nach Zerfallskanal lediglich ein bis zwei Grenordnungen uber den experimentellen Grenzen liegt. Damit sind die Modellvorhersagen in absehbarer Zeit direkt uberprufbar.

Der Einfachheit halber sind alle Massenmatrizen als reell angenommen worden, da das Problem der CP-Verletzung nicht Gegenstand der Arbeit war. Abgesehen von der Standardmethode, die CP-Verletzung uber komplexe Yukawa-Kopplungen zu realisieren, bieten Grand Unified-Theorien aufgrund ihres erweiterten Eichboson- und Higgs-Sektors dafur verschiedene weitere Moglichkeiten [107].

Weiterhin wurde auf die Verwendung von Supersymmetrie verzichtet, da supersymmetrische Theorien wegen des wesentlich umfangreicheren Teilchenspektrums zahlreiche zusatzliche Parameter enthalten, deren Werte weitgehend unbestimmt sind. Das hat naturgema negative Auswirkungen auf die Vorhersagekraft der Modelle. Auch eine fur die Anwendbarkeit des See-Saw-Mechanismus vorteilhafte intermediare Skala im Bereich $10^{10}$ $10^{12}$ GeV ist in supersymmetrischen Theorien nicht auf naturliche Weise realisierbar, da sich die Eichkopplungen des supersymmetrischen Standardmodells im Gegensatz zum nichtsupersymmetrischen Fall genau in einem Punkt treffen. Die Abwesenheit jeglicher experimenteller Hinweise auf eine bei Energien im TeV-Bereich gebrochene Supersymmetrie in der Natur [108] ist ein weiterer Schwachpunkt, mit dem supersymmetrische Theorien bisher behaftet sind. Schlie lich deutet auch die Existenz nichtsupersymmetrischer Niederenergie-Vakua in der M-Theorie [109] darauf hin, da Supersymmetrie keine zwingende Eigenschaft von Theorien jenseits des Standardmodells ist.

Trotz dieser Schwachen im phanomenologischen Bereich ist die Supersymmetrie ein formal uberaus ansprechendes Konzept, und es ware interessant, das hier diskutierte Massenmodell in eine supersymmetrische Grand Unified-Theorie einzubetten und die daraus resultierenden Konsequenzen zu untersuchen. Auch eine Analyse des Modells hinsichtlich seiner Moglichkeiten zur Erklarung der CP-Verletzung und der Baryonasymmetrie des Universums ware sicherlich sinnvoll.

Auf die generellen Probleme von nichtsupersymmetrischen Grand Unified-Theorien wurde in Kapitel 2 eingegangen. Das Hierarchieproblem und die Nichtberucksichtigung der Gravitation sind wohl die fundamentalsten Schwachpunkte dieser Modelle. Das Hierarchieproblem kann ebenso wie das Problem der Divergenzen zumindest prinzipiell durch eine bei Energien von etwa 1 TeV gebrochene globale Supersymmetrie gelost werden. Bei solchen Modellen stellt sich aber die Frage, auf welche Weise die Supersymmetrie gebrochen wird. Sowohl die spontane Brechung als auch die explizite Brechung durch Lagrangedichteterme deuten letztendlich auf eine noch fundamentalere Theorie hin. Ein Kandidat fur eine solche ist die Supergravitationstheorie, welche auf einer lokalen Supersymmetrie basiert und

die Gravitationswechselwirkung mit einschließt. Auf Supergravitation basierende Modelle sind allerdings nicht renormierbar und können wiederum nur effektive Näherungen einer grundlegenden Theorie sein. Den zur Zeit zweifellos populärsten und vielleicht sogar einzigen ernstzunehmenden Ansatz dafür stellen die Superstringtheorien und das übergeordnete Modell der M-Theorie dar. Sie werden in zehn beziehungsweise elf Raumzeitdimensionen formuliert, was eine Kompaktifizierung der überzähligen Dimensionen notwendig macht, um vierdimensionale effektive Theorien und möglicherweise überprüfbare Voraussagen erhalten zu können. In der äußerst eingeschränkten Vorhersagekraft für den Bereich experimentell zugänglicher Energien besteht die Schwäche dieser Modelle.

Es ist bis heute keine wirklich fundamentale Theorie bekannt, welche die Eigenschaften der Fermionen erklärt. Aus diesem Grunde kommt der Untersuchung effektiver Massenmodelle nach wie vor große Bedeutung zu, da sie vielleicht einen Hinweis auf die zugrundeliegende Symmetrie der Natur liefern.

# Anhang A

# Gruppentheoretischer Anhang

Die in diesem Anhang zusammengefaßten Eigenschaften ausgewählter irreduzibler Darstellungen sind den Tabellen in [26] entnommen; dort wird ferner eine detaillierte Beschreibung des für Anwendungen in der Elementarteilchenphysik relevanten gruppentheoretischen Formalismus gegeben.

## A.1 Casimir-Operator und Dynkin-Index

Die Generatoren einer Lie-Algebra erfüllen unabhängig von der expliziten Darstellung die Vertauschungsrelationen

$$[T_a, T_b] = i f_{abc} T_c \quad ; \tag{A.1}$$

wobei die $f_{abc}$ die Strukturkonstanten der Algebra sind. Der quadratische Casimir-Operator $\hat{C}_2 \equiv \sum_a T_a T_a$ kommutiert mit allen Generatoren und ist somit bezüglich jeder irreduziblen Darstellung $R$ der Liegruppe $G$ ein Vielfaches der Einheitsmatrix; der zugehörige Eigenwert wird mit $C_2(R)$ bezeichnet:

$$\hat{C}_2(R)\, R = C_2(R)\, R \tag{A.2}$$

Der Dynkin-Index $S_2(R)$ einer irreduziblen Darstellung $R$ ist über

$$\mathrm{Tr}_R\,(T_a T_b) = S_2(R)\, \delta_{ab} \tag{A.3}$$

definiert. Zwischen $C_2(R)$ und $S_2(R)$ gilt die Beziehung

$$d(G)\, S_2(R) = d(R)\, C_2(R) \quad ; \tag{A.4}$$

wobei $d(R)$ die Dimension von $R$ bezeichnet; $G$ steht für die adjungierte Darstellung von $G$. Für die $SU(N)$-Gruppen gelten die Normierungen $C_2(G) = S_2(G) = N$ und $S_2(N) = 1/2$, während für die $U(1)_Y$ $C_2(R) = S_2(R) = Y^2$ und $C_2(G) = S_2(G) = 0$ ist.

In der folgenden Tabelle sind $S_2(R)$ und $C_2(R)$ einiger irreduzibler Darstellungen verschiedener Lie-Gruppen aufgelistet.

| R | $S_2(R)$ | $C_2(R)$ | R | $S_2(R)$ | $C_2(R)$ | R | $S_2(R)$ | $C_2(R)$ |
|---|---|---|---|---|---|---|---|---|
| 10 | 1 | 9/2 | 4 | 1/2 | 15/8 | 3 | 1/2 | 4/3 |
| 16 | 2 | 45/8 | 6 | 1 | 5/2 | 6 | 5/2 | 10/3 |
| 45 | 8 | 8 | 10 | 3 | 9/2 | 8 | 3 | 3 |
| 54 | 12 | 10 | 15 | 4 | 4 | 10 | 15/2 | 6 |
| 120 | 28 | 21/2 | 20 | 13/2 | 39/8 | 15 | 10 | 16/3 |
| 126 | 35 | 25/2 | 20′ | 8 | 6 | | | |
| 144 | 34 | 85/8 | | | | | | |
| 210 | 56 | 12 | | | | | | |
| 210′ | 77 | 33/2 | | | | | | |

Tabelle A.1: Dynkin-Indizes $S_2(R)$ und Eigenwerte $C_2(R)$ des quadratischen Casimir-Operators für ausgewählte irreduzible Darstellungen R der einfachen Lie-Gruppen SO(10), SU(4) und SU(3) (von links nach rechts)

## A.2 Verzweigungsregeln für SO(10)-Darstellungen

$$SO(10) \quad SU(4)_C \quad SU(2)_L \quad SU(2)_R$$

$$10 = (1;2;2) \quad (6;1;1) \tag{A.5}$$

$$16 = (4;2;1) \quad (\bar{4};1;2) \tag{A.6}$$

$$45 = (15;1;1) \quad (1;3;1) \quad (1;1;3) \quad (6;2;2) \tag{A.7}$$

$$54 = (1;1;1) \quad (1;3;3) \quad (20;1;1) \quad (6;2;2) \tag{A.8}$$

$$120 = (1;2;2) \quad (10;1;1) \quad (\overline{10};1;1) \quad (6;3;1) \quad (6;1;3) \quad (15;2;2) \tag{A.9}$$

$$126 = (6;1;1) \quad (\overline{10};3;1) \quad (10;1;3) \quad (15;2;2) \tag{A.10}$$

$$210 = (1;1;1) \quad (15;1;1) \quad (6;2;2) \quad (15;3;1) \quad (15;1;3) \quad (10;2;2) \quad (\overline{10};2;2) \tag{A.11}$$

## A.3 Verzweigungsregeln für SU(4)-Darstellungen

$$SU(4)_C \quad SU(3)_C \quad U(1)_{B-L}$$

$$4 = 1_{1} \quad 3_{1=3} \tag{A.12}$$

$$6 = 3_{2=3} \quad \bar{3}_{2=3} \tag{A.13}$$

$$10 = 1_{2} \quad 3_{2=3} \quad \bar{6}_{2=3} \tag{A.14}$$

$$15 = 1_{0} \quad 3_{4=3} \quad \bar{3}_{4=3} \quad 8_{0} \tag{A.15}$$

$$20 = 3_{1=3} \quad \bar{3}_{5=3} \quad 6_{1=3} \quad 8_{1} \tag{A.16}$$

## A.4 Schwellenkorrektur-Koeffizienten

Hier ist zu berücksichtigen, daß die SO(10)-Darstellungen 210 und 54 als reell, die an der Massenerzeugung beteiligten Darstellungen 10, 120 und 126 dagegen als komplex angenommen werden. Hat die Darstellung einer Produktgruppe $G_1 \quad G_2 \quad G_3$ die Gestalt $(R_1;R_2;R_3)$, so sind die zugehörigen Schwellenkorrektur-Koeffizienten durch

$$(\ _1;\ _2;\ _3) = \quad d(R_2)d(R_3)S_2(R_1);d(R_1)d(R_3)S_2(R_2);d(R_1)d(R_2)S_2(R_3) \qquad (A.17)$$

gegeben. Bei komplexen Darstellungen kommt noch ein Faktor 2 hinzu.
Für die Berechnung der $^{I}_{1Y}$ ist die korrekte GUT-Normierung der Hyperladung verwendet worden, was die $\sqrt{3=5}$-Faktoren erklärt.

| SO(10)-Darstellung | $G_{PS}$-Darstellung | $(\ ^{U}_{4C};\ ^{U}_{2L};\ ^{U}_{2R})$ |
|---|---|---|
| 210 | (1,1,1) | (0,0,0) |
| | (15,1,1) | (4,0,0) |
| | (6,2,2) | (4,6,6) |
| | (15,3,1) | (12,30,0) |
| | (15,1,3) | (12,0,30) |
| | (10,2,2) | (12,10,10) |
| | $(\overline{10},2,2)$ | (12,10,10) |
| 54 | (1,1,1) | (0,0,0) |
| | (1,3,3) | (0,6,6) |
| | (20',1,1) | (8,0,0) |
| | (6,2,2) | (4,6,6) |
| 126 | (6,1,1) | (2,0,0) |
| | $(\overline{10},3,1)$ | (18,40,0) |
| | (10,1,3) | (18,0,40) |
| | (15,2,2) | (32,30,30) |
| 120 | (1,2,2) | (0,2,2) |
| | (10,1,1) | (6,0,0) |
| | $(\overline{10},1,1)$ | (6,0,0) |
| | (6,3,1) | (6,24,0) |
| | (6,1,3) | (6,0,24) |
| | (15,2,2) | (32,30,30) |
| 10 | (1,2,2) | (0,2,2) |
| | (6,1,1) | (2,0,0) |

Tabelle A.2: Koeffizienten für Schwellenkorrekturen durch Higgs-Teilchen bei $M_U$

| $G_{PS}$-Darstellung | $G_{SM}$-Darstellung | $(I_{3C}; I_{2L}; I_{1Y})$ |
|---|---|---|
| (1,2,2) | $(1,2,+1/2\sqrt{3/5})$ | (0,1,3/5) |
| | $(1,2,-1/2\sqrt{3/5})$ | (0,1,3/5) |
| (15,2,2) | $(1,2,+1/2\sqrt{3/5})$ | (0,1,3/5) |
| | $(1,2,-1/2\sqrt{3/5})$ | (0,1,3/5) |
| | $(3,2,+7/6\sqrt{3/5})$ | (2,3,49/5) |
| | $(3,2,+1/6\sqrt{3/5})$ | (2,3,1/5) |
| | $(3,2,-1/6\sqrt{3/5})$ | (2,3,1/5) |
| | $(3,2,-7/6\sqrt{3/5})$ | (2,3,49/5) |
| | $(8,2,+1/2\sqrt{3/5})$ | (12,8,24/5) |
| | $(8,2,-1/2\sqrt{3/5})$ | (12,8,24/5) |
| $(\overline{10},3,1)$ | $(1,3,+\sqrt{3/5})$ | (0,4,18/5) |
| | $(3,3,+1/3\sqrt{3/5})$ | (3,12,6/5) |
| | $(6,3,-1/3\sqrt{3/5})$ | (15,24,12/5) |
| (10,1,3) | (1,1,0) | (0,0,0) |
| | $(1,1,-\sqrt{3/5})$ | (0,0,6/5) |
| | $(1,1,-2\sqrt{3/5})$ | (0,0,24/5) |
| | $(3,1,+2/3\sqrt{3/5})$ | (1,0,8/5) |
| | $(3,1,-1/3\sqrt{3/5})$ | (1,0,2/5) |
| | $(3,1,-4/3\sqrt{3/5})$ | (1,0,32/5) |
| | $(6,1,+4/3\sqrt{3/5})$ | (5,0,64/5) |
| | $(6,1,+1/3\sqrt{3/5})$ | (5,0,4/5) |
| | $(6,1,-2/3\sqrt{3/5})$ | (5,0,16/5) |

Tabelle A.3: Koeffizienten für Schwellenkorrekturen durch Higgs-Teilchen bei $M_I$

# Anhang B

# Renormierungsgruppengleichungen

In [110] sind allgemeine Ausdrücke für die Renormierungsgruppengleichungen von Quantenfeldtheorien in Zweischleifenordnung entwickelt worden, aus denen sich auch die hier verwendeten Gleichungen herleiten lassen. Die Renormierungsgruppengleichungen für das Standardmodell sind in [23] und die der See-Saw-Massenmatrix der Neutrinos in [111] ausführlich analysiert worden.

## B.1 Standardmodell

Alle Gleichungen bis auf die der See-Saw-Massenmatrix sind in Zweischleifenordnung angegeben. Als Variable wird im folgenden $t = \ln(\mu/M_Z)$ verwendet, $n_H$ gibt die Anzahl der komplexen Higgs-Doubletts an (in dieser Arbeit wird stets $n_H = 1$ angenommen). Die Definition der Yukawa-Kopplungsmatrizen lautet

$$Y_i(\mu) = \frac{\sqrt{2}}{v} M_i(\mu) \quad (i = u,d,e), \tag{B.1}$$

wobei $M_i(\mu)$ die skalenabhängigen fermionischen Massenmatrizen bezeichnet; $v = \sqrt{2}\,\langle\Phi\rangle = 174{:}1\ \mathrm{GeV}$ ist der Vakuumerwartungswert des Higgs-Feldes. Desweiteren werden die nachfolgend aufgeführten Definitionen benutzt:

$$H_i = Y_i Y_i^\dagger \quad (i = u,d,e) \tag{B.2}$$

$$Y_2 = \mathrm{Tr}\,3H_u + 3H_d + H_e \tag{B.3}$$

$$\begin{aligned} Y_4 = {} & \frac{17}{20}g_1^2 + \frac{9}{4}g_2^2 + 8g_3^2 \;\mathrm{Tr}\,H_u \\ & + \frac{1}{4}g_1^2 + \frac{9}{4}g_2^2 + 8g_3^2 \;\mathrm{Tr}\,H_d \\ & + \frac{3}{4}g_1^2 + \frac{3}{4}g_2^2 \;\mathrm{Tr}\,H_e \end{aligned} \tag{B.4}$$

$$H_2 = \mathrm{Tr}\,3H_u^2 + 3H_d^2 + H_e^2 \tag{B.5}$$

$$_4 = \frac{9}{4}\mathrm{Tr}\,3H_u^2 + 3H_d^2 + H_e^2 \;\; \frac{2}{3}H_u H_d \tag{B.6}$$

### B.1.1 Renormierungsgruppengleichungen für die Eichkopplungen

$$\frac{d}{dt}\,{}_1 = \frac{1}{2}\,{}_1^2\left(4 - \frac{1}{10}n_H\right) + \frac{1}{8^2}\,{}_1^2\left[\frac{19}{5} - \frac{9}{50}n_H\,{}_1 + \frac{9}{5} - \frac{9}{10}n_H\,{}_2 + \frac{44}{5}\,{}_3\right] - \frac{1}{32^3}\,{}_1^2\,\mathrm{Tr}\left[\frac{17}{10}H_u + \frac{1}{2}H_d + \frac{3}{2}H_e\right] \tag{B.7}$$

$$\frac{d}{dt}\,{}_2 = \frac{1}{2}\,{}_2^2\left(\frac{10}{3} - \frac{1}{6}n_H\right) + \frac{1}{8^2}\,{}_2^2\left[\frac{3}{5} - \frac{3}{10}n_H\,{}_1 + \frac{11}{3} - \frac{13}{6}n_H\,{}_2 + 12\,{}_3\right] - \frac{1}{32^3}\,{}_2^2\,\mathrm{Tr}\left[\frac{3}{2}H_u + \frac{3}{2}H_d + \frac{1}{2}H_e\right] \tag{B.8}$$

$$\frac{d}{dt}\,{}_3 = \frac{1}{2}\,{}_3^2\,7 + \frac{1}{8^2}\,{}_3^2\left[\frac{11}{10}\,{}_1 + \frac{9}{2}\,{}_2 + 26\,{}_3\right] - \frac{1}{32^3}\,{}_3^2\,\mathrm{Tr}\left[2H_u + 2H_d\right] \tag{B.9}$$

### B.1.2 Renormierungsgruppengleichungen für die Yukawa-Matrizen

$$\frac{d}{dt}Y_i = \frac{1}{16^2}\,{}_i^{(1)} + \frac{1}{(16^2)^2}\,{}_i^{(2)}\,Y_i \quad (i = u,d,e) \tag{B.10}$$

$${}_u^{(1)} = \frac{3}{2}\left[H_u - H_d\right] + Y_2 - \frac{17}{20}g_1^2 + \frac{9}{4}g_2^2 + 8g_3^2 \tag{B.11}$$

$${}_d^{(1)} = \frac{3}{2}\left[H_d - H_u\right] + Y_2 - \frac{1}{4}g_1^2 + \frac{9}{4}g_2^2 + 8g_3^2 \tag{B.12}$$

$${}_e^{(1)} = \frac{3}{2}H_e + Y_2 - \frac{9}{4}g_1^2 + \frac{9}{4}g_2^2 \tag{B.13}$$

$$\begin{aligned}{}_u^{(2)} = {} & \frac{3}{2}H_u^2 - H_uH_d - \frac{1}{4}H_dH_u + \frac{11}{4}H_d^2 + Y_2\left[-\frac{5}{4}H_d - \frac{9}{4}H_u\right] - 4\,{}_3^2 + \frac{3}{2}\,{}_2^2 \\ & - 2\left[3H_u + H_d\right] + \frac{223}{80}g_1^2 + \frac{135}{16}g_2^2 + 16g_3^2\right]H_u - \frac{43}{80}g_1^2 - \frac{9}{16}g_2^2 + 16g_3^2\right]H_d \\ & + \frac{5}{2}Y_4 + \frac{1187}{600}g_1^4 - \frac{9}{20}g_1^2g_2^2 + \frac{19}{15}g_1^2g_3^2 - \frac{23}{4}g_2^4 + 9g_2^2g_3^2 - 108g_3^4\end{aligned} \tag{B.14}$$

$$\begin{aligned}{}_d^{(2)} = {} & \frac{3}{2}H_d^2 - H_dH_u - \frac{1}{4}H_uH_d + \frac{11}{4}H_u^2 + Y_2\left[-\frac{5}{4}H_u - \frac{9}{4}H_d\right] - 4\,{}_3^2 + \frac{3}{2}\,{}_2^2 \\ & - 2\left[3H_d + H_u\right] + \frac{187}{80}g_1^2 + \frac{135}{16}g_2^2 + 16g_3^2\right]H_d - \frac{79}{80}g_1^2 - \frac{9}{16}g_2^2 + 16g_3^2\right]H_u \\ & + \frac{5}{2}Y_4 - \frac{127}{600}g_1^4 - \frac{27}{20}g_1^2g_2^2 + \frac{31}{15}g_1^2g_3^2 - \frac{23}{4}g_2^4 + 9g_2^2g_3^2 - 108g_3^4\end{aligned} \tag{B.15}$$

$$\begin{aligned}{}_e^{(2)} = {} & \frac{3}{2}H_e^2 - \frac{9}{4}Y_2H_e - 4\,{}_3^2 + \frac{3}{2}\,{}_2^2 - 6\left[H_e + \frac{387}{80}g_1^2 + \frac{135}{16}g_2^2\right]H_e + \frac{5}{2}Y_4 \\ & + \frac{1371}{200}g_1^4 + \frac{27}{20}g_1^2g_2^2 - \frac{23}{4}g_2^4\end{aligned} \tag{B.16}$$

### B.1.3 Renormierungsgruppengleichung für die Higgs-Selbstkopplung

$$\frac{d}{dt} = \frac{1}{16\pi^2}\,{}^{(1)} + \frac{1}{(16\pi^2)^2}\,{}^{(2)} \tag{B.17}$$

$$^{(1)} = 12\,\lambda^2 \quad \frac{9}{5}g_1^2 + 9g_2^2 \quad + \frac{9}{4}\left(\frac{3}{25}g_1^4 + \frac{2}{5}g_1^2g_2^2 + g_2^4\right) + 4Y_2 \quad 4H_2 \tag{B.18}$$

$$\begin{aligned}
^{(2)} = {} & 78\,\lambda^3 + 18\left(\frac{3}{5}g_1^2 + 3g_2^2\right)\lambda^2 \quad \frac{2661}{100}g_1^4 \quad \frac{117}{20}g_1^2g_2^2 + \frac{73}{8}g_2^4 \\
& \frac{3411}{1000}g_1^6 \quad \frac{1677}{200}g_1^4g_2^2 \quad \frac{289}{40}g_1^2g_2^4 + \frac{305}{8}g_2^6 \quad 64g_3^2\,\mathrm{Tr}\left(H_u^2 + H_d^2\right) \\
& \frac{8}{5}g_1^2\,\mathrm{Tr}\left(2H_u^2 \quad H_d^2 + 3H_e^2\right) \quad \frac{3}{2}g_2^4Y_2 + 10\,Y_4 \\
& + \frac{3}{5}g_1^2\Big[\quad \frac{57}{10}g_1^2 + 21g_2^2\,\mathrm{Tr}H_u + \left(\frac{3}{2}g_1^2 + 9g_2^2\right)\mathrm{Tr}H_d \\
& + \left(\frac{15}{2}g_1^2 + 11g_2^2\right)\mathrm{Tr}H_e \quad 24\,\lambda^2Y_2 \quad H_2 + 6\,\mathrm{Tr}H_uH_d\Big] \\
& + 20\,\mathrm{Tr}\left(3H_u^3 + 3H_d^3 + H_e^3\right) \quad 12\,\mathrm{Tr}H_u^2H_d \quad 12\,\mathrm{Tr}H_uH_d^2
\end{aligned} \tag{B.19}$$

### B.1.4 Renormierungsgruppengleichung für die See-Saw-Massenmatrix

$$16\pi^2\frac{d}{dt}M = 2\left(3g_2^2 + 2Y_2\right)M \quad \frac{1}{2}\left(M\,H_e + H_e^T M\right) \tag{B.20}$$

## B.2 $SU(4)_C \quad SU(2)_L \quad SU(2)_R$ D-Modell

Die Renormierungsgruppengleichungen für die Eichkopplungen hängen vom Higgs-Teilcheninhalt des betrachteten Modells ab, das heißt von Anzahl und Art der Darstellungen, in welchen Higgs-Teilchen mit Massen der Größenordnung $M_I$ liegen. Folgende Variablen spezifizieren diesen Teilcheninhalt:

$$\begin{aligned}
N_1 &= \text{Anzahl der } (1;2;2)_{10=120} \\
N_{15} &= \text{Anzahl der } (15;2;2)_{120=126} \\
{}_L &= \text{Anzahl der } (\overline{10};3;1)_{126} \\
{}_R &= \text{Anzahl der } (10;1;3)_{126}
\end{aligned}$$

Dann haben die Renormierungsgruppengleichungen für die Eichkopplungen in Zweischleifenordnung die folgende Gestalt, wobei Beiträge durch die Yukawakopplungen der Fermionen vernachlässigt werden:

$$\begin{aligned}
\frac{d}{dt}\,{}_{4C} = {} & \left(\frac{1}{2} \quad \frac{32}{3} \quad \frac{16}{3}N_{15} \quad 3\,{}_L \quad 3\,{}_R\right){}_{4C}^2 \\
& \frac{1}{8\pi^2}\Big[\quad \frac{9}{2} \quad 48N_{15} \quad 72\,{}_L\,{}_{2L} \\
& + \quad \frac{9}{2} \quad 48N_{15} \quad 72\,{}_R\,{}_{2R} \\
& + \left(\frac{473}{6} \quad \frac{896}{3}N_{15} \quad 186\,{}_L \quad 186\,{}_R\right){}_{4C}^2\Big]\,{}_{4C}^2
\end{aligned} \tag{B.21}$$

$$
\begin{aligned}
\frac{d}{dt}\,{}_{2L} = {} & \frac{1}{2}\,\frac{10}{3}\,\frac{1}{3}N_1\;5N_{15}\;\frac{20}{3}\,{}_{L}\;{}^{2}_{2L} \\
& \frac{1}{8}\,{}^{2}\,{}^{h}\;\frac{11}{3}\,\frac{13}{3}N_1\;65N_{15}\;\frac{560}{3}\,{}_{L}\;{}_{2L} \\
& + 3N_1\;45N_{15}\;{}_{2R} \\
& + \frac{45}{2}\;240N_{15}\;360\,{}_{L}\;{}_{4C}\;{}^{i}\;{}^{2}_{2L}
\end{aligned}
\tag{B.22}
$$

$$
\begin{aligned}
\frac{d}{dt}\,{}_{2R} = {} & \frac{1}{2}\,\frac{10}{3}\,\frac{1}{3}N_1\;5N_{15}\;\frac{20}{3}\,{}_{R}\;{}^{2}_{2R} \\
& \frac{1}{8}\,{}^{2}\,{}^{h}\;3N_1\;45N_{15}\;{}_{2L} \\
& + \frac{11}{3}\,\frac{13}{3}N_1\;65N_{15}\;\frac{560}{3}\,{}_{R}\;{}_{2R} \\
& + \frac{45}{2}\;240N_{15}\;360\,{}_{R}\;{}_{4C}\;{}^{i}\;{}^{2}_{2R}
\end{aligned}
\tag{B.23}
$$

# Anhang C

# Symmetriebrechungsskalen und Eichkopplungen

Die verwendeten Startwerte für die Integration der Renormierungsgruppengleichungen der Eichkopplungen sind in Tabelle C.1 zusammengefaßt.

| Größe | $M_Z$ | $_1(M_Z)$ | $_2(M_Z)$ | $_3(M_Z)$ |
|---|---|---|---|---|
| Wert | 91.187 GeV | $(59{:}45)^{\ 1}$ | $(29{:}80)^{\ 1}$ | $(8{:}40)^{\ 1}$ |

Tabelle C.1: Verwendete Startwerte für $M_Z$ und die Eichkopplungen bei $= M_Z$

## C.1 $SU(4)_C \quad SU(2)_L \quad SU(2)_R$ D-Modell

Wie in Abschnitt 4.1.2 erläutert wurde, hängen der Wert von $M_I$ und somit die Eichkopplungen bei $= M_I$ nicht vom Teilcheninhalt des Modells zwischen $M_U$ und $M_I$ ab; Tabelle C.2 gibt die Werte dieser Größen an.

| Größe | $M_I$ | $_1(M_I)$ | $_2(M_I)$ | $_3(M_I)$ | $_{2R;L}(M_I)$ | $_{4C}(M_I)$ |
|---|---|---|---|---|---|---|
| Wert | $5{:}66 \quad 10^{13}$ GeV | $(41{:}51)^{\ 1}$ | $(43{:}26)^{\ 1}$ | $(39{:}05)^{\ 1}$ | $(43{:}26)^{\ 1}$ | $(39{:}08)^{\ 1}$ |

Tabelle C.2: Werte für $M_I$ und die Eichkopplungen bei $= M_I$ im $G_{PS}$ D-Modell

Die vom Teilchenspektrum abhängigen Werte für $M_U$ und $_U(M_U)$ sind für die untersuchten Fälle in Tabelle C.3 aufgelistet.

## C.2 $SU(4)_C \quad SU(2)_L \quad SU(2)_R$-Modell

Im Gegensatz zum $SU(4)_C \quad SU(2)_L \quad SU(2)_R$ D-Modell hängen in Theorien mit $G_{PS}$ als Symmetriegruppe auch $M_I$ und die Eichkopplungen bei der Skala $= M_I$ vom Higgs-

| Größe | Wert | Wert | Wert | Wert | Wert |
|---|---|---|---|---|---|
| $N_1$ | 1 | 2 | 3 | 4 | 5 |
| $N_{15}$ | 1 | 1 | 1 | 1 | 1 |
| $M_U$ [GeV] | $1{:}46\ 10^{15}$ | $1{:}28\ 10^{15}$ | $1{:}13\ 10^{15}$ | $1{:}01\ 10^{15}$ | $9{:}12\ 10^{14}$ |
| $_U(M_U)$ | $(37{:}95)^{\ 1}$ | $(38{:}01)^{\ 1}$ | $(38{:}05)^{\ 1}$ | $(38{:}10)^{\ 1}$ | $(38{:}14)^{\ 1}$ |

| Größe | Wert | Wert | Wert | Wert | Wert |
|---|---|---|---|---|---|
| $N_1$ | 1 | 2 | 3 | 4 | 5 |
| $N_{15}$ | 2 | 2 | 2 | 2 | 2 |
| $M_U$ [GeV] | $1{:}75\ 10^{15}$ | $1{:}51\ 10^{15}$ | $1{:}32\ 10^{15}$ | $1{:}16\ 10^{15}$ | $1{:}04\ 10^{15}$ |
| $_U(M_U)$ | $(34{:}47)^{\ 1}$ | $(34{:}67)^{\ 1}$ | $(34{:}87)^{\ 1}$ | $(35{:}04)^{\ 1}$ | $(35{:}20)^{\ 1}$ |

| Größe | Wert | Wert | Wert | Wert | Wert |
|---|---|---|---|---|---|
| $N_1$ | 1 | 2 | 3 | 4 | 5 |
| $N_{15}$ | 3 | 3 | 3 | 3 | 3 |
| $M_U$ [GeV] | $2{:}14\ 10^{15}$ | $1{:}81\ 10^{15}$ | $1{:}56\ 10^{15}$ | $1{:}36\ 10^{15}$ | $1{:}20\ 10^{15}$ |
| $_U(M_U)$ | $(30{:}50)^{\ 1}$ | $(30{:}91)^{\ 1}$ | $(31{:}28)^{\ 1}$ | $(31{:}62)^{\ 1}$ | $(31{:}93)^{\ 1}$ |

Tabelle C.3: $M_U$ und $_U(M_U)$ im $G_{PS}$ D-Modell in Abhängigkeit vom Higgs-Spektrum

Spektrum ab. In Modellen mit $N_{15} = 3$ und $N_1 = 1;:::;5$ sowie $N_{15} = 2$ und $N_1 = 1;2;3$ findet keine Vereinheitlichung statt, für die übrigen Fälle finden sich in Tabelle C.4 die Werte der relevanten Größen:

| Größe | Wert | Wert | Wert | Wert |
|---|---|---|---|---|
| $N_1$ | 1 | 2 | 3 | 4 |
| $N_{15}$ | 1 | 1 | 1 | 1 |
| $M_I$ | $1{:}70\ 10^{10}$ GeV | $7{:}25\ 10^{10}$ GeV | $1{:}94\ 10^{11}$ GeV | $3{:}99\ 10^{11}$ GeV |
| $_1(M_I)$ | $(46{:}85)^{\ 1}$ | $(45{:}89)^{\ 1}$ | $(45{:}24)^{\ 1}$ | $(44{:}77)^{\ 1}$ |
| $_2(M_I)$ | $(39{:}22)^{\ 1}$ | $(39{:}94)^{\ 1}$ | $(40{:}43)^{\ 1}$ | $(40{:}79)^{\ 1}$ |
| $_3(M_I)$ | $(29{:}95)^{\ 1}$ | $(31{:}58)^{\ 1}$ | $(32{:}69)^{\ 1}$ | $(33{:}49)^{\ 1}$ |
| $_{2R}(M_I)$ | $(58{:}22)^{\ 1}$ | $(55{:}54)^{\ 1}$ | $(53{:}72)^{\ 1}$ | $(52{:}40)^{\ 1}$ |
| $_{2L}(M_I)$ | $(39{:}22)^{\ 1}$ | $(39{:}94)^{\ 1}$ | $(40{:}43)^{\ 1}$ | $(40{:}79)^{\ 1}$ |
| $_{4C}(M_I)$ | $(29{:}98)^{\ 1}$ | $(31{:}61)^{\ 1}$ | $(32{:}71)^{\ 1}$ | $(33{:}52)^{\ 1}$ |
| $M_U$ | $6{:}01\ 10^{16}$ GeV | $1{:}83\ 10^{16}$ GeV | $8{:}05\ 10^{15}$ GeV | $4{:}37\ 10^{15}$ GeV |
| $_U(M_U)$ | $(32{:}37)^{\ 1}$ | $(33{:}69)^{\ 1}$ | $(34{:}57)^{\ 1}$ | $(35{:}19)^{\ 1}$ |

| Größe | Wert | Wert | Wert |
|---|---|---|---|
| $N_1$ | 5 | 4 | 5 |
| $N_{15}$ | 1 | 2 | 2 |
| $M_I$ | $6{,}94 \cdot 10^{11}$ GeV | $6{,}14 \cdot 10^{10}$ GeV | $2{,}09 \cdot 10^{11}$ GeV |
| $_1(M_I)$ | $(44{,}41)^{-1}$ | $(46{,}00)^{-1}$ | $(45{,}20)^{-1}$ |
| $_2(M_I)$ | $(41{,}07)^{-1}$ | $(39{,}86)^{-1}$ | $(40{,}47)^{-1}$ |
| $_3(M_I)$ | $(34{,}12)^{-1}$ | $(31{,}39)^{-1}$ | $(32{,}77)^{-1}$ |
| $_{2R}(M_I)$ | $(51{,}37)^{-1}$ | $(55{,}85)^{-1}$ | $(53{,}59)^{-1}$ |
| $_{2L}(M_I)$ | $(41{,}07)^{-1}$ | $(39{,}86)^{-1}$ | $(40{,}47)^{-1}$ |
| $_{4C}(M_I)$ | $(34{,}14)^{-1}$ | $(31{,}42)^{-1}$ | $(32{,}80)^{-1}$ |
| $M_U$ | $2{,}72 \cdot 10^{15}$ GeV | $1{,}31 \cdot 10^{16}$ GeV | $5{,}68 \cdot 10^{15}$ GeV |
| $_U(M_U)$ | $(35{,}65)^{-1}$ | $(20{,}08)^{-1}$ | $(23{,}76)^{-1}$ |

Tabelle C.4: Symmetriebrechungsskalen und Eichkopplungen im $G_{PS}$-Modell in Abhängigkeit vom Higgs-Spektrum

# Anhang D

# Eigenschaften der untersuchten Losungen

## D.1 Massenmatrizen, Massen und Mischungswinkel bei $M_I$

Tabelle D.1 gibt für die drei Beispielmodelle aus Abschnitt 4.4 die nichtverschwindenden Eintrage der Massenmatrizen der geladenen Fermionen sowie deren Massen und Mischungswinkel bei $M_I$ an, wobei für die Mischungsmatrizen die Parametrisierung (1.34) benutzt wird. In Tabelle D.2 sind die nichtverschwindenden Elemente der Dirac-, Majorana- und See-Saw-Massenmatrizen sowie Massen und Mischungen der leichten Neutrinos zusammengefa t.

| Parameter | Wert in Modell1 | Wert in Modell2a | Wert in Modell2b |
|---|---|---|---|
| $(M_u)_{12}$ | 198:37 MeV | 173:83 MeV | 91:71 MeV |
| $(M_u)_{21}$ | 1:98 MeV | 2:26 MeV | 4:29 MeV |
| $(M_u)_{23}$ | 5539:4 MeV | 5617:2 MeV | 7532:3 MeV |
| $(M_u)_{32}$ | 4993:8 MeV | 5216:5 MeV | 4365:4 MeV |
| $(M_u)_{33}$ | 100940 MeV | 100920 MeV | 100840 MeV |
| $m_u$ | 1:16 MeV | 1:16 MeV | 1:16 MeV |
| $m_c$ | 337:6 MeV | 337:6 MeV | 337:6 MeV |
| $m_t$ | 101210 MeV | 101210 MeV | 101210 MeV |
| $^{(u)}_{L12}$ | 0:627 | 0:540 | 0:275 |
| $^{(u)}_{L23}$ | 0:055 | 0:055 | 0:074 |
| $^{(u)}_{L31}$ | 0:000 | 0:000 | 0:000 |
| $^{(u)}_{R12}$ | 0:005 | 0:006 | 0:012 |
| $^{(u)}_{R23}$ | 0:049 | 0:051 | 0:043 |
| $^{(u)}_{R31}$ | 0:000 | 0:000 | 0:000 |

| Parameter | Wert in Modell1 | Wert in Modell2a | Wert in Modell2b |
|---|---|---|---|
| $(M_d)_{12}$ | 33.66 MeV | 28.18 MeV | 29.23 MeV |
| $(M_d)_{21}$ | 6.03 MeV | 7.57 MeV | 4.98 MeV |
| $(M_d)_{23}$ | 52.06 MeV | 52.43 MeV | 65.87 MeV |
| $(M_d)_{32}$ | 1128.6 MeV | 1152.5 MeV | 854.63 MeV |
| $(M_d)_{33}$ | 757.26 MeV | 720.50 MeV | 1056.1 MeV |
| $m_d$ | 2.38 MeV | 2.38 MeV | 2.38 MeV |
| $m_s$ | 47.4 MeV | 47.4 MeV | 47.4 MeV |
| $m_b$ | 1360 MeV | 1360 MeV | 1360 MeV |
| $L_{12}^{(d)}$ | 0.404 | 0.317 | 0.498 |
| $L_{23}^{(d)}$ | 0.021 | 0.020 | 0.038 |
| $L_{31}^{(d)}$ | 0.021 | 0.018 | 0.014 |
| $R_{12}^{(d)}$ | 0.117 | 0.152 | 0.092 |
| $R_{23}^{(d)}$ | 0.979 | 1.012 | 0.679 |
| $R_{31}^{(d)}$ | 0.000 | 0.000 | 0.000 |
| $(M_e)_{12}$ | 1.99 MeV | 2.27 MeV | 2.05 MeV |
| $(M_e)_{21}$ | 37.70 MeV | 33.47 MeV | 32.16 MeV |
| $(M_e)_{23}$ | 1232.3 MeV | 151.09 MeV | 193.32 MeV |
| $(M_e)_{32}$ | 155.77 MeV | 1251.2 MeV | 982.07 MeV |
| $(M_e)_{33}$ | 1359.0 MeV | 1342.2 MeV | 1545.4 MeV |
| $m_e$ | 0.513 MeV | 0.513 MeV | 0.513 MeV |
| $m$ | 108.14 MeV | 108.14 MeV | 108.14 MeV |
| $m$ | 1838.3 MeV | 1838.3 MeV | 1838.3 MeV |
| $L_{12}^{(e)}$ | 0.018 | 0.015 | 0.015 |
| $L_{23}^{(e)}$ | 0.733 | 0.060 | 0.089 |
| $L_{31}^{(e)}$ | 0.000 | 0.001 | 0.001 |
| $R_{12}^{(e)}$ | 0.262 | 0.314 | 0.301 |
| $R_{23}^{(e)}$ | 0.063 | 0.747 | 0.561 |
| $R_{31}^{(e)}$ | 0.014 | 0.001 | 0.002 |

Tabelle D.1: Massenmatrixelemente, Massen und Mischungswinkel der geladenen Fermionen bei $M_I$

| Parameter | Wert in Modell1 | Wert in Modell2a | Wert in Modell2b |
|---|---|---|---|
| $(M^{(Dir)})_{12}$ | 2184:0 MeV | 1459:5 MeV | 1617:7 MeV |
| $(M^{(Dir)})_{21}$ | 1983:7 MeV | 1283:5 MeV | 1521:7 MeV |
| $(M^{(Dir)})_{23}$ | 8260:6 MeV | 31082:8 MeV | 32167:7 MeV |
| $(M^{(Dir)})_{32}$ | 8806:2 MeV | 31483:5 MeV | 35334:6 MeV |
| $(M^{(Dir)})_{33}$ | 63207:4 MeV | 70062:5 MeV | 73367:5 MeV |
| $(M_R^{(Maj)})_{12}$ | $y_1 M_R$ | $y_1 M_R$ | $y_1 M_R$ |
| $(M_R^{(Maj)})_{21}$ | $y_1 M_R$ | $y_1 M_R$ | $y_1 M_R$ |
| $(M_R^{(Maj)})_{33}$ | $19\, y_1 M_R$ | $24\, y_1 M_R$ | $18\, y_1 M_R$ |
| $(y_1 M_R = M_I)$ $(M)_{12;21}$ | 0:0706 eV | 0:0305 eV | 0:0401 eV |
| $(y_1 M_R = M_I)$ $(M)_{22}$ | 0:0585 eV | 0:656 eV | 0:936 eV |
| $(y_1 M_R = M_I)$ $(M)_{23;32}$ | 0:732 eV | 2:136 eV | 3:011 eV |
| $(y_1 M_R = M_I)$ $(M)_{33}$ | 3:425 eV | 3:331 eV | 4:870 eV |
| $(y_1 M_R = M_I)$ $m_1$ | 0:0365 eV | 0:0013 eV | 0:0017 eV |
| $(y_1 M_R = M_I)$ $m_2$ | 0:130 eV | 0:528 eV | 0:695 eV |
| $(y_1 M_R = M_I)$ $m_3$ | 3:577 eV | 4:514 eV | 6:500 eV |
| $^{()}_{12}$ | 0:487 | 0:050 | 0:051 |
| $^{()}_{23}$ | 0:205 | 0:506 | 0:496 |
| $^{()}_{31}$ | 0:004 | 0:003 | 0:003 |
| $m_2 = m_1$ | 3:57 | 406:2 | 401:2 |
| $m_3 = m_2$ | 27:42 | 8:54 | 9:35 |
| $\frac{m^2_3 \quad m^2_2}{m^2_2 \quad m^2_1}$ | 815:1 | 72:0 | 86:4 |

Tabelle D.2: Dirac-, Majprana- und See-Saw-Massenmatrixelemente sowie Massen und Mischungswinkel der leichten Neutrinos bei $M_I$

## D.2 SO(10)-Higgs-Parameter bei $M_I$

Tabelle D.3 faßt für die betrachteten Lösungen die numerischen Werte der SO(10)-Higgs-Parameter aus (4.63-4.82) zusammen.

| Parameter | Wert in Modell1 | Wert in Modell2a | Wert in Modell2b |
|---|---|---|---|
| $x_1{}^{(1)}_d$ | 5:90 MeV | 3:83 MeV | 5:33 MeV |
| $y_1 !^{(1)}_d$ | 7:92 MeV | 6:48 MeV | 6:79 MeV |
| $z_1 \tilde{}^{(1)}_d$ | 19:84 MeV | 17:87 MeV | 17:10 MeV |
| $x_1{}^{(1)}_d$ | 907:69 MeV | 875:94 MeV | 1178:45 MeV |
| $y_1 !^{(1)}_d$ | 150:42 MeV | 155:43 MeV | 122:31 MeV |
| $x_2{}^{(2)}_d$ | 538:27 MeV | 550:05 MeV | 394:38 MeV |
| $z_2 \tilde{}^{(2)}_d$ | 269:23 MeV | 627:14 MeV | 492:11 MeV |
| $z_2 \vdots^{(2)}_d$ | 321:09 MeV | 24:67 MeV | 31:86 MeV |
| $x_1{}^{(1)}_u$ | 594:61 MeV | 407:21 MeV | 425:21 MeV |
| $y_1 !^{(1)}_u$ | 496:42 MeV | 321:43 MeV | 381:50 MeV |
| $z_1 \tilde{}^{(1)}_u$ | 100:18 MeV | 88:05 MeV | 48:00 MeV |
| $x_1{}^{(1)}_u$ | 91503:26 MeV | 93205:41 MeV | 93968:44 MeV |
| $y_1 !^{(1)}_u$ | 9431:94 MeV | 7714:29 MeV | 6866:97 MeV |
| $x_2{}^{(2)}_u$ | 272:82 MeV | 200:35 MeV | 1583:48 MeV |
| $z_2 \tilde{}^{(2)}_u$ | 1816:59 MeV | 3758:17 MeV | 3976:16 MeV |
| $z_2 \vdots^{(2)}_u$ | 3450 MeV | 9175 MeV | 9925 MeV |
| $x_1=x_1$ | 153:89 | 228:89 | 220:99 |
| $y_1=y_1$ | 19 | 24 | 18 |

Tabelle D.3: SO(10)-Higgs-Parameter bei $M_I$ für die untersuchten Modelle

## D.3 Massenmatrizen, Massen und Mischungswinkel bei $M_Z$

Tabelle D.4 gibt für die drei untersuchten Modelle die Eintrage der Massenmatrizen der geladenen Fermionen und der leichten Neutrinos sowie deren Massen und Mischungswinkel bei $M_Z$ an.

| Parameter | Wert in Modell1 | Wert in Modell2a | Wert in Modell2b |
|---|---|---|---|
| $(M_u)_{11}$ | 0:00 MeV | 0:00 MeV | 0:00 MeV |
| $(M_u)_{12}$ | 397:86 MeV | 348:64 MeV | 183:95 MeV |
| $(M_u)_{13}$ | 1:94 MeV | 1:78 MeV | 0:76 MeV |
| $(M_u)_{21}$ | 3:98 MeV | 4:54 MeV | 8:61 MeV |
| $(M_u)_{22}$ | 56:66 MeV | 60:01 MeV | 67:28 MeV |
| $(M_u)_{23}$ | 9964:3 MeV | 10104 MeV | 13548 MeV |
| $(M_u)_{31}$ | 0:02 MeV | 0:03 MeV | 0:07 MeV |
| $(M_u)_{32}$ | 8927:8 MeV | 9326:1 MeV | 7806:8 MeV |
| $(M_u)_{33}$ | 180390 MeV | 180360 MeV | 180210 MeV |
| $m_u$ | 2:33 MeV | 2:33 MeV | 2:33 MeV |
| $m_c$ | 677:2 MeV | 677:2 MeV | 677:2 MeV |
| $m_t$ | 180885 MeV | 180882 MeV | 180886 MeV |
| $L_{12}^{(u)}$ | 0:627 | 0:540 | 0:275 |
| $L_{23}^{(u)}$ | 0:055 | 0:056 | 0:075 |
| $L_{31}^{(u)}$ | 0:000 | 0:000 | 0:000 |
| $R_{12}^{(u)}$ | 0:005 | 0:006 | 0:012 |
| $R_{23}^{(u)}$ | 0:049 | 0:051 | 0:043 |
| $R_{31}^{(u)}$ | 0:000 | 0:000 | 0:000 |
| $(M_d)_{11}$ | 0:00 MeV | 0:00 MeV | 0:00 MeV |
| $(M_d)_{12}$ | 66:32 MeV | 55:51 MeV | 57:58 MeV |
| $(M_d)_{13}$ | 0:02 MeV | 0:01 MeV | 0:01 MeV |
| $(M_d)_{21}$ | 11:88 MeV | 14:91 MeV | 9:81 MeV |
| $(M_d)_{22}$ | 14:08 MeV | 14:58 MeV | 14:49 MeV |
| $(M_d)_{23}$ | 112:01 MeV | 112:41 MeV | 147:71 MeV |
| $(M_d)_{31}$ | 0:08 MeV | 0:10 MeV | 0:08 MeV |
| $(M_d)_{32}$ | 2489:1 MeV | 2541:8 MeV | 1884:4 MeV |
| $(M_d)_{33}$ | 1670:8 MeV | 1589:7 MeV | 2329:8 MeV |
| $m_d$ | 4:69 MeV | 4:69 MeV | 4:69 MeV |
| $m_s$ | 93:4 MeV | 93:4 MeV | 93:4 MeV |
| $m_b$ | 2999 MeV | 2999 MeV | 2999 MeV |
| $L_{12}^{(d)}$ | 0:404 | 0:317 | 0:498 |
| $L_{23}^{(d)}$ | 0:025 | 0:024 | 0:041 |
| $L_{31}^{(d)}$ | 0:018 | 0:016 | 0:012 |
| $R_{12}^{(d)}$ | 0:117 | 0:152 | 0:092 |
| $R_{23}^{(d)}$ | 0:979 | 1:011 | 0:679 |
| $R_{31}^{(d)}$ | 0:000 | 0:000 | 0:000 |

| Parameter | Wert in Modell1 | Wert in Modell2a | Wert in Modell2b |
|---|---|---|---|
| $(M_e)_{11}$ | 0.00 MeV | 0.00 MeV | 0.00 MeV |
| $(M_e)_{12}$ | 1.89 MeV | 2.16 MeV | 1.95 MeV |
| $(M_e)_{13}$ | 0.00 MeV | 0.00 MeV | 0.00 MeV |
| $(M_e)_{21}$ | 35.83 MeV | 31.82 MeV | 30.57 MeV |
| $(M_e)_{22}$ | 0.00 MeV | 0.00 MeV | 0.00 MeV |
| $(M_e)_{23}$ | 1171.3 MeV | 143.61 MeV | 183.75 MeV |
| $(M_e)_{31}$ | 0.00 MeV | 0.00 MeV | 0.00 MeV |
| $(M_e)_{32}$ | 148.06 MeV | 1189.2 MeV | 933.45 MeV |
| $(M_e)_{33}$ | 1291.7 MeV | 1275.8 MeV | 1468.9 MeV |
| $m_e$ | 0.488 MeV | 0.488 MeV | 0.488 MeV |
| $m$ | 102.79 MeV | 102.78 MeV | 102.79 MeV |
| $m$ | 1747.3 MeV | 1747.3 MeV | 1747.3 MeV |
| $^{(e)}_{L\,12}$ | 0.018 | 0.015 | 0.015 |
| $^{(e)}_{L\,23}$ | 0.733 | 0.060 | 0.089 |
| $^{(e)}_{L\,31}$ | 0.000 | 0.001 | 0.001 |
| $^{(e)}_{R\,12}$ | 0.262 | 0.314 | 0.301 |
| $^{(e)}_{R\,23}$ | 0.063 | 0.747 | 0.561 |
| $^{(e)}_{R\,31}$ | 0.014 | 0.001 | 0.002 |
| $(y_1 M_R/M_I)$ $(M)_{12;21}$ | 0.0474 eV | 0.0205 eV | 0.0269 eV |
| $(y_1 M_R/M_I)$ $(M)_{22}$ | 0.0393 eV | 0.440 eV | 0.629 eV |
| $(y_1 M_R/M_I)$ $(M)_{23;32}$ | 0.492 eV | 1.435 eV | 2.022 eV |
| $(y_1 M_R/M_I)$ $(M)_{33}$ | 2.300 eV | 2.237 eV | 3.271 eV |
| $(y_1 M_R/M_I)$ $(M)_{11;13;31}$ | 0.000 eV | 0.000 eV | 0.000 eV |
| $(y_1 M_R/M_I)$ $m_1$ | 0.0245 eV | $8.73 \quad 10^{4}$ eV | $1.16 \quad 10^{3}$ eV |
| $(y_1 M_R/M_I)$ $m_2$ | 0.0876 eV | 0.355 eV | 0.467 eV |
| $(y_1 M_R/M_I)$ $m_3$ | 2.402 eV | 3.031 eV | 4.365 eV |
| $^{( )}_{12}$ | 0.487 | 0.050 | 0.051 |
| $^{( )}_{23}$ | 0.205 | 0.506 | 0.496 |
| $^{( )}_{31}$ | 0.004 | 0.003 | 0.003 |
| $m_2/m_1$ | 3.57 | 406.3 | 401.2 |
| $m_3/m_2$ | 27.43 | 8.54 | 9.35 |
| $\dfrac{m_3^2 \quad m_2^2}{m_2^2 \quad m_1^2}$ | 815.4 | 71.9 | 86.4 |

Tabelle D.4: Massenmatrixelemente, Massen und Mischungswinkel der geladenen Fermionen und der leichten Neutrinos bei $M_Z$

## D.4 CKM-Matrix und leptonische Mischungsmatrix bei $M_Z$

Im folgenden werden die CKM-Matrix V und die leptonische Mischungsmatrix U für die in Abschnitt 4.4 analysierten Modelle angegeben.

Modell1:

$$V = \begin{pmatrix} 0{:}9752 & 0{:}2212 & 0{:}0030 \\ 0{:}2211 & 0{:}9746 & 0{:}0352 \\ 0{:}0049 & 0{:}0350 & 0{:}9994 \end{pmatrix} ; \quad U = \begin{pmatrix} 0{:}891 & 0{:}455 & 0{:}005 \\ 0{:}391 & 0{:}771 & 0{:}504 \\ 0{:}233 & 0{:}447 & 0{:}864 \end{pmatrix} \quad (D.1)$$

Modell2a:

$$V = \begin{pmatrix} 0{:}9752 & 0{:}2212 & 0{:}0030 \\ 0{:}2211 & 0{:}9746 & 0{:}0353 \\ 0{:}0049 & 0{:}0351 & 0{:}9994 \end{pmatrix} ; \quad U = \begin{pmatrix} 0{:}999 & 0{:}039 & 0{:}012 \\ 0{:}026 & 0{:}844 & 0{:}536 \\ 0{:}031 & 0{:}535 & 0{:}844 \end{pmatrix} \quad (D.2)$$

Modell2b:

$$V = \begin{pmatrix} 0{:}9752 & 0{:}2211 & 0{:}0025 \\ 0{:}2211 & 0{:}9746 & 0{:}0355 \\ 0{:}0054 & 0{:}0352 & 0{:}9994 \end{pmatrix} ; \quad U = \begin{pmatrix} 0{:}999 & 0{:}038 & 0{:}012 \\ 0{:}025 & 0{:}833 & 0{:}552 \\ 0{:}031 & 0{:}552 & 0{:}834 \end{pmatrix} \quad (D.3)$$

# Anhang E

# Berechnung der Nukleonzerfallsraten

## E.1 $A_i$-Koeffizienten

In diesem Abschnitt wird die explizite Form der $A_i$-Koeffizienten dargestellt, welche in der effektiven Lagrangedichte (5.3) für die Nukleonenzerfälle auftreten. Hierbei sind $\tilde{G} = g_U^2/2M^2_{X,Y}$ und $\tilde{G}' = g_U^2/2M^2_{X',Y'}$, wobei $M^2_{X,Y} = M^2_{X',Y'} \quad M_U^2$ angenommen wird.

$$
\begin{aligned}
A_1 &= \tilde{G}\ (U_R)_{11}(U_L)_{11} + (U_R)_{21}(U_L)_{21} + (U_R)_{31}(U_L)_{31} \\
&\qquad (E_R)_{11}(D_L)_{11} + (E_R)_{21}(D_L)_{21} + (E_R)_{31}(D_L)_{31} \\
&+ \tilde{G}\ (U_R)_{11}(D_L)_{11} + (U_R)_{21}(D_L)_{21} + (U_R)_{31}(D_L)_{31} \\
&\qquad (E_R)_{11}(U_L)_{11} + (E_R)_{21}(U_L)_{21} + (E_R)_{31}(U_L)_{31} \\
A_2 &= \tilde{G}\ (U_R)_{11}(U_L)_{11} + (U_R)_{21}(U_L)_{21} + (U_R)_{31}(U_L)_{31} \\
&\qquad (E_L)_{11}(D_R)_{11} + (E_L)_{21}(D_R)_{21} + (E_L)_{31}(D_R)_{31} \\
&+ \tilde{G}'\ (D_R)_{11}(U_L)_{11} + (D_R)_{21}(U_L)_{21} + (D_R)_{31}(U_L)_{31} \\
&\qquad (E_L)_{11}(U_R)_{11} + (E_L)_{21}(U_R)_{21} + (E_L)_{31}(U_R)_{31} \\
A_3 &= \tilde{G}\ (U_R)_{11}(U_L)_{11} + (U_R)_{21}(U_L)_{21} + (U_R)_{31}(U_L)_{31} \\
&\qquad (E_R)_{12}(D_L)_{11} + (E_R)_{22}(D_L)_{21} + (E_R)_{32}(D_L)_{31} \\
&+ \tilde{G}\ (U_R)_{11}(D_L)_{11} + (U_R)_{21}(D_L)_{21} + (U_R)_{31}(D_L)_{31} \\
&\qquad (E_R)_{12}(U_L)_{11} + (E_R)_{22}(U_L)_{21} + (E_R)_{32}(U_L)_{31} \\
A_4 &= \tilde{G}\ (U_R)_{11}(U_L)_{11} + (U_R)_{21}(U_L)_{21} + (U_R)_{31}(U_L)_{31} \\
&\qquad (E_L)_{12}(D_R)_{11} + (E_L)_{22}(D_R)_{21} + (E_L)_{32}(D_R)_{31} \\
&+ \tilde{G}'\ (D_R)_{11}(U_L)_{11} + (D_R)_{21}(U_L)_{21} + (D_R)_{31}(U_L)_{31} \\
&\qquad (E_L)_{12}(U_R)_{11} + (E_L)_{22}(U_R)_{21} + (E_L)_{32}(U_R)_{31}
\end{aligned}
$$

$$
\begin{aligned}
A_5 &= \tilde{G}\ (U_R)_{11}(U_L)_{11} + (U_R)_{21}(U_L)_{21} + (U_R)_{31}(U_L)_{31} \\
&\quad (E_R)_{11}(D_L)_{12} + (E_R)_{21}(D_L)_{22} + (E_R)_{31}(D_L)_{32} \\
&+ \tilde{G}\ (U_R)_{11}(D_L)_{12} + (U_R)_{21}(D_L)_{22} + (U_R)_{31}(D_L)_{32} \\
&\quad (E_R)_{11}(U_L)_{11} + (E_R)_{21}(U_L)_{21} + (E_R)_{31}(U_L)_{31} \\
A_6 &= \tilde{G}\ (U_R)_{11}(U_L)_{11} + (U_R)_{21}(U_L)_{21} + (U_R)_{31}(U_L)_{31} \\
&\quad (E_L)_{11}(D_R)_{12} + (E_L)_{21}(D_R)_{22} + (E_L)_{31}(D_R)_{32} \\
&+ \tilde{G}^0\ (D_R)_{12}(U_L)_{11} + (D_R)_{22}(U_L)_{21} + (D_R)_{32}(U_L)_{31} \\
&\quad (E_L)_{11}(U_R)_{11} + (E_L)_{21}(U_R)_{21} + (E_L)_{31}(U_R)_{31} \\
A_7 &= \tilde{G}\ (U_R)_{11}(U_L)_{11} + (U_R)_{21}(U_L)_{21} + (U_R)_{31}(U_L)_{31} \\
&\quad (E_R)_{12}(D_L)_{12} + (E_R)_{22}(D_L)_{22} + (E_R)_{32}(D_L)_{32} \\
&+ \tilde{G}\ (U_R)_{11}(D_L)_{12} + (U_R)_{21}(D_L)_{22} + (U_R)_{31}(D_L)_{32} \\
&\quad (E_R)_{12}(U_L)_{11} + (E_R)_{22}(U_L)_{21} + (E_R)_{32}(U_L)_{31} \\
A_8 &= \tilde{G}\ (U_R)_{11}(U_L)_{11} + (U_R)_{21}(U_L)_{21} + (U_R)_{31}(U_L)_{31} \\
&\quad (E_L)_{12}(D_R)_{12} + (E_L)_{22}(D_R)_{22} + (E_L)_{32}(D_R)_{32} \\
&+ \tilde{G}^0\ (D_R)_{12}(U_L)_{11} + (D_R)_{22}(U_L)_{21} + (D_R)_{32}(U_L)_{31} \\
&\quad (E_L)_{12}(U_R)_{11} + (E_L)_{22}(U_R)_{21} + (E_L)_{32}(U_R)_{31} \\
A_9 &= \tilde{G}\ (U_R)_{11}(D_L)_{11} + (U_R)_{21}(D_L)_{21} + (U_R)_{31}(D_L)_{31} \\
&\quad (N_L)_{11}(D_R)_{11} + (N_L)_{21}(D_R)_{21} + (N_L)_{31}(D_R)_{31} \\
&\quad \tilde{G}^0\ (D_R)_{11}(D_L)_{11} + (D_R)_{21}(D_L)_{21} + (D_R)_{31}(D_L)_{31} \\
&\quad (N_L)_{11}(U_R)_{11} + (N_L)_{21}(U_R)_{21} + (N_L)_{31}(U_R)_{31} \\
A_{10} &= \tilde{G}\ (U_R)_{11}(D_L)_{11} + (U_R)_{21}(D_L)_{21} + (U_R)_{31}(D_L)_{31} \\
&\quad (N_L)_{12}(D_R)_{11} + (N_L)_{22}(D_R)_{21} + (N_L)_{32}(D_R)_{31} \\
&\quad \tilde{G}^0\ (D_R)_{11}(D_L)_{11} + (D_R)_{21}(D_L)_{21} + (D_R)_{31}(D_L)_{31} \\
&\quad (N_L)_{12}(U_R)_{11} + (N_L)_{22}(U_R)_{21} + (N_L)_{32}(U_R)_{31} \\
A_{11} &= \tilde{G}\ (U_R)_{11}(D_L)_{11} + (U_R)_{21}(D_L)_{21} + (U_R)_{31}(D_L)_{31} \\
&\quad (N_L)_{11}(D_R)_{12} + (N_L)_{21}(D_R)_{22} + (N_L)_{31}(D_R)_{32} \\
&\quad \tilde{G}^0\ (D_R)_{12}(D_L)_{11} + (D_R)_{22}(D_L)_{21} + (D_R)_{32}(D_L)_{31} \\
&\quad (N_L)_{11}(U_R)_{11} + (N_L)_{21}(U_R)_{21} + (N_L)_{31}(U_R)_{31} \\
A_{12} &= \tilde{G}\ (U_R)_{11}(D_L)_{11} + (U_R)_{21}(D_L)_{21} + (U_R)_{31}(D_L)_{31} \\
&\quad (N_L)_{12}(D_R)_{12} + (N_L)_{22}(D_R)_{22} + (N_L)_{32}(D_R)_{32} \\
&\quad \tilde{G}^0\ (D_R)_{12}(D_L)_{11} + (D_R)_{22}(D_L)_{21} + (D_R)_{32}(D_L)_{31} \\
&\quad (N_L)_{12}(U_R)_{11} + (N_L)_{22}(U_R)_{21} + (N_L)_{32}(U_R)_{31}
\end{aligned}
$$

$$
\begin{aligned}
A_{13} = \quad & \tilde{G}\ (U_R)_{11}(D_L)_{12} + (U_R)_{21}(D_L)_{22} + (U_R)_{31}(D_L)_{32} \\
& (N_L)_{11}(D_R)_{11} + (N_L)_{21}(D_R)_{21} + (N_L)_{31}(D_R)_{31} \\
& \tilde{G}'\ (D_R)_{11}(D_L)_{12} + (D_R)_{21}(D_L)_{22} + (D_R)_{31}(D_L)_{32} \\
& (N_L)_{11}(U_R)_{11} + (N_L)_{21}(U_R)_{21} + (N_L)_{31}(U_R)_{31} \\
A_{14} = \quad & \tilde{G}\ (U_R)_{11}(D_L)_{12} + (U_R)_{21}(D_L)_{22} + (U_R)_{31}(D_L)_{32} \\
& (N_L)_{12}(D_R)_{11} + (N_L)_{22}(D_R)_{21} + (N_L)_{32}(D_R)_{31} \\
& \tilde{G}'\ (D_R)_{11}(D_L)_{12} + (D_R)_{21}(D_L)_{22} + (D_R)_{31}(D_L)_{32} \\
& (N_L)_{12}(U_R)_{11} + (N_L)_{22}(U_R)_{21} + (N_L)_{32}(U_R)_{31} \\
A_{15} = \quad & \tilde{G}\ (U_R)_{11}(D_L)_{11} + (U_R)_{21}(D_L)_{21} + (U_R)_{31}(D_L)_{31} \\
& (N_L)_{13}(D_R)_{11} + (N_L)_{23}(D_R)_{21} + (N_L)_{33}(D_R)_{31} \\
& \tilde{G}'\ (D_R)_{11}(D_L)_{11} + (D_R)_{21}(D_L)_{21} + (D_R)_{31}(D_L)_{31} \\
& (N_L)_{13}(U_R)_{11} + (N_L)_{23}(U_R)_{21} + (N_L)_{33}(U_R)_{31} \\
A_{16} = \quad & \tilde{G}\ (U_R)_{11}(D_L)_{11} + (U_R)_{21}(D_L)_{21} + (U_R)_{31}(D_L)_{31} \\
& (N_L)_{13}(D_R)_{12} + (N_L)_{23}(D_R)_{22} + (N_L)_{33}(D_R)_{32} \\
& \tilde{G}'\ (D_R)_{12}(D_L)_{11} + (D_R)_{22}(D_L)_{21} + (D_R)_{32}(D_L)_{31} \\
& (N_L)_{13}(U_R)_{11} + (N_L)_{23}(U_R)_{21} + (N_L)_{33}(U_R)_{31} \\
A_{17} = \quad & \tilde{G}\ (U_R)_{11}(D_L)_{12} + (U_R)_{21}(D_L)_{22} + (U_R)_{31}(D_L)_{32} \\
& (N_L)_{13}(D_R)_{11} + (N_L)_{23}(D_R)_{21} + (N_L)_{33}(D_R)_{31} \\
& \tilde{G}'\ (D_R)_{11}(D_L)_{12} + (D_R)_{21}(D_L)_{22} + (D_R)_{31}(D_L)_{32} \\
& (N_L)_{13}(U_R)_{11} + (N_L)_{23}(U_R)_{21} + (N_L)_{33}(U_R)_{31}
\end{aligned}
$$

## E.2 Meson-Wellenfunktionen

Die Tabellen E.1 und E.2 geben die Spin-Flavour-Anteile der Wellenfunktionen für die pseudoskalaren beziehungsweise Vektormesonen an.

| Meson | Masse (MeV) | Spin S | Wellenfunktion |
|---|---|---|---|
| $^+$ | 139.570 | 0 | $1=\sqrt{2}\,(d^c\uparrow u\downarrow - \bar{d}\downarrow u\uparrow)$ |
| $^0$ | 134.976 | 0 | $1/2\,(u^c\uparrow u\downarrow - \bar{u}\downarrow u\uparrow - \bar{d}\uparrow d\downarrow + d^c\downarrow d\uparrow)$ |
| | 139.570 | 0 | $1=\sqrt{2}\,(u^c\uparrow d\downarrow - \bar{u}\downarrow d\uparrow)$ |
| $K^+$ | 493.677 | 0 | $1=\sqrt{2}\,(s^c\uparrow u\downarrow - \bar{s}\downarrow u\uparrow)$ |
| $K^0$ | 497.672 | 0 | $1=\sqrt{2}\,(s^c\uparrow d\downarrow - \bar{s}\downarrow d\uparrow)$ |
| | 547.30 | 0 | $1=\sqrt{12}\,(u^c\uparrow u\downarrow - \bar{u}\downarrow u\uparrow + d^c\uparrow d\downarrow - \bar{d}\downarrow d\uparrow - 2\bar{s}\uparrow s\downarrow + 2s^c\downarrow s\uparrow)$ |

Tabelle E.1: Wellenfunktionen der pseudoskalaren Mesonen (Massenwerte aus [7])

| Meson | Masse (MeV) | Spin S | $S_z$ | Wellenfunktion |
|---|---|---|---|---|
| $\rho^+_{(+)}$ | 770.0 | 1 | +1 | $d^c \uparrow u \uparrow$ |
| $\rho^+_{(0)}$ | 770.0 | 1 | 0 | $1/\sqrt{2}\,(d^c \uparrow u \downarrow + d^c \downarrow u \uparrow)$ |
| $\rho^+_{(-)}$ | 770.0 | 1 | -1 | $d^c \downarrow u \downarrow$ |
| $\rho^0_{(+)}$ | 770.0 | 1 | +1 | $1/\sqrt{2}\,(u^c \uparrow u \uparrow - d^c \uparrow d \uparrow)$ |
| $\rho^0_{(0)}$ | 770.0 | 1 | 0 | $1/2\,(u^c \uparrow u \downarrow + u^c \downarrow u \uparrow - d^c \uparrow d \downarrow - d^c \downarrow d \uparrow)$ |
| $\rho^0_{(-)}$ | 770.0 | 1 | -1 | $1/\sqrt{2}\,(u^c \downarrow u \downarrow - d^c \downarrow d \downarrow)$ |
| $\rho^-_{(+)}$ | 770.0 | 1 | +1 | $u^c \uparrow d \uparrow$ |
| $\rho^-_{(0)}$ | 770.0 | 1 | 0 | $1/\sqrt{2}\,(u^c \uparrow d \downarrow + u^c \downarrow d \uparrow)$ |
| $\rho^-_{(-)}$ | 770.0 | 1 | -1 | $u^c \downarrow d \downarrow$ |
| $\omega_{(+)}$ | 781.94 | 1 | +1 | $1/\sqrt{2}\,(u^c \uparrow u \uparrow + d^c \uparrow d \uparrow)$ |
| $\omega_{(0)}$ | 781.94 | 1 | 0 | $1/2\,(u^c \uparrow u \downarrow + u^c \downarrow u \uparrow + d^c \uparrow d \downarrow + d^c \downarrow d \uparrow)$ |
| $\omega_{(-)}$ | 781.94 | 1 | -1 | $1/\sqrt{2}\,(u^c \downarrow u \downarrow + d^c \downarrow d \downarrow)$ |
| $K^{*+}_{(+)}$ | 891.66 | 1 | +1 | $s^c \uparrow u \uparrow$ |
| $K^{*+}_{(0)}$ | 891.66 | 1 | 0 | $1/\sqrt{2}\,(s^c \uparrow u \downarrow + s^c \downarrow u \uparrow)$ |
| $K^{*+}_{(-)}$ | 891.66 | 1 | -1 | $s^c \downarrow u \downarrow$ |
| $K^{*0}_{(+)}$ | 896.1 | 1 | +1 | $s^c \uparrow d \uparrow$ |
| $K^{*0}_{(0)}$ | 896.1 | 1 | 0 | $1/\sqrt{2}\,(s^c \uparrow d \downarrow + s^c \downarrow d \uparrow)$ |
| $K^{*0}_{(-)}$ | 896.1 | 1 | -1 | $s^c \downarrow d \downarrow$ |

Tabelle E.2: Wellenfunktionen der Vektormesonen (Massenwerte aus [7])

## E.3 Phasenraumfaktoren

Die Phasenraumfaktoren, welche die SU(6)-Spin-Flavour-Symmetrie des in Abschnitt 5.2 verwendeten nichtrelativistischen Quark-Modells brechen, sind durch

$$_{p,n} = (1 \quad ^2_{p,n})(1 \quad ^4_{p,n}) \tag{E.1}$$

gegeben, wobei $_{p,n} = m_{Meson}/m_{p,n}$ der Quotient aus Mesonmasse und Masse des Protons beziehungsweise Neutrons ist ($m_p = 938.27231$ MeV, $m_n = 939.56563$ MeV [7]). Tabelle E.3 gibt die entsprechenden Werte für die relevanten Mesonen an.

## E.4 Übergangsamplituden

In diesem Abschnitt sind die Resultate für die hadronischen Übergangsamplituden und -wahrscheinlichkeiten der Nukleonenzerfälle zusammengefaßt. Tabelle E.4 zeigt die Amplituden der elementaren Zerfallsprozesse des Protons und des Neutrons. Alle dort nicht aufgelisteten Amplituden lassen sich durch Symmetrieüberlegungen herleiten. So unterscheiden sich die Amplituden mit Antileptonen der zweiten und dritten Familie im Endzustand von denen mit $e^+$ und $^c_e$ lediglich durch die Vorfaktoren $A_i$; diese lassen sich (5.3) entnehmen.

| Meson | $_p$ | $_n$ | Meson | $_p$ | $_n$ |
|---|---|---|---|---|---|
| $^0$ | 0.97889 | 0.97895 | $^0$ | 0.17842 | 0.18025 |
| | 0.97739 | 0.97746 | | 0.17842 | 0.18025 |
| K | 0.66774 | 0.66875 | ! | 0.15812 | 0.15993 |
| K $^0$ | 0.66178 | 0.66280 | K | 0.01787 | 0.01877 |
| | 0.58338 | 0.58462 | K $^0$ | 0.01476 | 0.01560 |

Tabelle E.3: Phasenraumfaktoren fur Proton- und Neutronzerfalle in Abhangigkeit vom Meson im Endzustand

Die Ubergangsamplituden mit linkshandigen Antileptonen erhalt man aus denjenigen mit rechtshandigen Antileptonen, indem man $\bar{l}_R^c$ durch $\bar{l}_L^c$ ersetzt und die Spineinstellungen " und # der Quarks vertauscht. Auch hier andern sich lediglich die Vorfaktoren $A_i$ gema (5.3), die numerischen Werte der Amplituden in der dritten Spalte bleiben gleich. Tabelle E.5 listet die Ubergangswahrscheinlichkeiten fur Zerfallsprozesse mit physikalischen Teilchen in den Endzustanden auf.

| Zerfallsproze | Lagrangedichte-Term | Amplitude ($\sqrt{30}$) | Vorfaktor |
|---|---|---|---|
| p" ! $e_R^+ u^c$ " u# | $u_L^c \; u_L \; e_R^+ \; d_R$ | 4 | $A_2$ |
| p" ! $e_R^+ u^c$ # u" | $u_L^c \; u_L \; e_R^+ \; d_R$ | 8 | $A_2$ |
| p" ! $e_R^+ d^c$ " d# | $u_L^c \; u_L \; e_R^+ \; d_R$ | 8 | $A_2$ |
| p" ! $e_R^+ d^c$ # d" | $u_L^c \; u_L \; e_R^+ \; d_R$ | + 2 | $A_2$ |
| p# ! $e_R^+ u^c$ # u# | $u_L^c \; u_L \; e_R^+ \; d_R$ | 10 | $A_2$ |
| p# ! $e_R^+ d^c$ # d# | $u_L^c \; u_L \; e_R^+ \; d_R$ | 2 | $A_2$ |
| p" ! $e_R^+ s^c$ " d# | $u_L^c \; u_L \; e_R^+ \; s_R$ | 8 | $A_6$ |
| p" ! $e_R^+ s^c$ # d" | $u_L^c \; u_L \; e_R^+ \; s_R$ | + 2 | $A_6$ |
| p# ! $e_R^+ s^c$ # d# | $u_L^c \; u_L \; e_R^+ \; s_R$ | 2 | $A_6$ |
| p" ! $\bar{e}_R^c d^c$ " u# | $u_L^c \; d_L \; \bar{e}_R^c \; d_R$ | + 4 | $A_9$ |
| p" ! $\bar{e}_R^c d^c$ # u" | $u_L^c \; d_L \; \bar{e}_R^c \; d_R$ | 10 | $A_9$ |
| p# ! $\bar{e}_R^c d^c$ # u# | $u_L^c \; d_L \; \bar{e}_R^c \; d_R$ | 8 | $A_9$ |
| p" ! $\bar{e}_R^c s^c$ " u# | $u_L^c \; d_L \; \bar{e}_R^c \; s_R$ | + 4 | $A_{11}$ |
| p" ! $\bar{e}_R^c s^c$ # u" | $u_L^c \; d_L \; \bar{e}_R^c \; s_R$ | + 2 | $A_{11}$ |
| p" ! $\bar{e}_R^c s^c$ " u# | $u_L^c \; s_L \; \bar{e}_R^c \; d_R$ | 0 | $A_{13}$ |
| p" ! $\bar{e}_R^c s^c$ # u" | $u_L^c \; s_L \; \bar{e}_R^c \; d_R$ | 12 | $A_{13}$ |
| p# ! $\bar{e}_R^c s^c$ # u# | $u_L^c \; d_L \; \bar{e}_R^c \; s_R$ | + 4 | $A_{11}$ |
| p# ! $\bar{e}_R^c s^c$ # u# | $u_L^c \; s_L \; \bar{e}_R^c \; d_R$ | 12 | $A_{13}$ |

| Zerfallsproze | Lagrangedichte-Term | Amplitude ($\sqrt{30}$) | Vorfaktor |
|---|---|---|---|
| $n\uparrow \to e_R^+ u^c\uparrow d\downarrow$ | $u_L^c \; u_L \; e_R^+ \; d_R$ | 4 | $A_2$ |
| $n\uparrow \to e_R^+ u^c\downarrow d\uparrow$ | $u_L^c \; u_L \; e_R^+ \; d_R$ | +10 | $A_2$ |
| $n\downarrow \to e_R^+ u^c\downarrow d\downarrow$ | $u_L^c \; u_L \; e_R^+ \; d_R$ | +8 | $A_2$ |
| $n\uparrow \to \bar{e}_R u^c\uparrow u\downarrow$ | $u_L^c \; d_L \; \bar{e}_R \; d_R$ | +8 | $A_9$ |
| $n\uparrow \to \bar{e}_R u^c\downarrow u\uparrow$ | $u_L^c \; d_L \; \bar{e}_R \; d_R$ | 2 | $A_9$ |
| $n\uparrow \to \bar{e}_R d^c\uparrow d\downarrow$ | $u_L^c \; d_L \; \bar{e}_R \; d_R$ | +4 | $A_9$ |
| $n\uparrow \to \bar{e}_R d^c\downarrow d\uparrow$ | $u_L^c \; d_L \; \bar{e}_R \; d_R$ | +8 | $A_9$ |
| $n\downarrow \to \bar{e}_R u^c\downarrow u\downarrow$ | $u_L^c \; d_L \; \bar{e}_R \; d_R$ | +2 | $A_9$ |
| $n\downarrow \to \bar{e}_R d^c\downarrow d\downarrow$ | $u_L^c \; d_L \; \bar{e}_R \; d_R$ | +10 | $A_9$ |
| $n\uparrow \to \bar{e}_R s^c\uparrow d\downarrow$ | $u_L^c \; d_L \; \bar{e}_R \; s_R$ | +4 | $A_{11}$ |
| $n\uparrow \to \bar{e}_R s^c\downarrow d\uparrow$ | $u_L^c \; d_L \; \bar{e}_R \; s_R$ | 4 | $A_{11}$ |
| $n\uparrow \to \bar{e}_R s^c\uparrow d\downarrow$ | $u_L^c \; s_L \; \bar{e}_R \; d_R$ | 0 | $A_{13}$ |
| $n\uparrow \to \bar{e}_R s^c\downarrow d\uparrow$ | $u_L^c \; s_L \; \bar{e}_R \; d_R$ | +12 | $A_{13}$ |
| $n\downarrow \to \bar{e}_R s^c\downarrow d\downarrow$ | $u_L^c \; d_L \; \bar{e}_R \; s_R$ | 2 | $A_{11}$ |
| $n\downarrow \to \bar{e}_R s^c\downarrow d\downarrow$ | $u_L^c \; s_L \; \bar{e}_R \; d_R$ | +12 | $A_{13}$ |

Tabelle E.4: Ubergangsamplituden fur die Elementarprozesse der Nukleonenzerfalle

## E.5 Experimentelle Grenzen fur die Nukleonzerfallsraten

Tabelle E.6 zeigt die in [7] angegebenen Untergrenzen fur die inversen partiellen Zerfallsraten der Nukleonen aufgrund der experimentellen Nichtbeobachtung dieser Prozesse. Die aktuellsten Resultate des Super-Kamiokande-Experiments Nukleonenzerfalle betreffend sind in Tabelle 5.3 zu finden.

## E.6 Zerfallsraten der Nukleonen

In diesem Abschnitt sind in den Tabellen E.7-E.10 die numerischen Resultate fur die partiellen und totalen Nukleonzerfallsraten zusammengefa t. Neben den Ergebnissen fur die drei untersuchten Modelle ist zum Vergleich auch der Fall verschwindender Fermionmischungen berucksichtigt worden. Wahrend die Eintrage 0.0 fur partielle Raten $< 0{:}05\%$ stehen, sind Zerfalle in die mit „|" gekennzeichneten Kanale in fuhrender Ordnung nicht erlaubt. Es gilt $= \sum_j {}_j$ sowie $= 1/$ und weiterhin in naturlichen Einheiten ($\hbar = c = 1$) $1$ GeV $= 4{:}77 \cdot 10^{31}\,\mathrm{yr}^{-1}$.

| Zerfallsproze | jAmplitude Vorfaktorf$^2$j | Zerfallsproze | jAmplitude Vorfaktorf$^2$j |
|---|---|---|---|
| p" ! $e_R^+ \ ^0$ | $(49=30)\,A_2^2$ | n" ! $e_R^+$ | $(49=15)\,A_2^2$ |
| p" ! $e_R^+ K^{\ 0}$ | $(5=3)\,A_6^2$ | n" ! $_{eR}^{c} \ ^0$ | $(49=30)\,A_9^2$ |
| p" ! $e_R^+$ | $(1=10)\,A_2^2$ | n" ! $_{eR}^{c} K^{\ 0}$ | $(4=15)\,(2A_{11} \quad 3A_{13})^2$ |
| p" ! $_{eR}^{c} \ ^+$ | $(49=15)\,A_9^2$ | n" ! $_{eR}^{c}$ | $(1=10)\,A_9^2$ |
| p" ! $_{eR}^{c} K^{\ +}$ | $(1=15)\,(A_{11} + 6A_{13})^2$ | n" ! $e_{R\ (0)}^+$ | $(3=5)\,A_2^2$ |
| p" ! $e_{R\ (0)}^+ \ ^0$ | $(3=10)\,A_2^2$ | n# ! $e_{R\ ( )}^+$ | $(32=15)\,A_2^2$ |
| p# ! $e_{R\ ( )}^+ \ ^0$ | $(16=15)\,A_2^2$ | n" ! $_{eR\ (0)}^{c} \ ^0$ | $(3=10)\,A_9^2$ |
| p" ! $e_R^+ \ !_{(0)}$ | $(27=10)\,A_2^2$ | n# ! $_{eR\ ( )}^{c} \ ^0$ | $(16=15)\,A_9^2$ |
| p# ! $e_R^+ \ !_{( )}$ | $(12=5)\,A_2^2$ | n" ! $_{eR}^{c} \ !_{(0)}^{0}$ | $(27=10)\,A_9^2$ |
| p" ! $e_R^+ K_{\ (0)}^{\ 0}$ | $(3=5)\,A_6^2$ | n# ! $_{eR}^{c} \ !_{( )}^{0}$ | $(12=5)\,A_9^2$ |
| p# ! $e_R^+ K_{\ ( )}^{\ 0}$ | $(2=15)\,A_6^2$ | n" ! $_{eR}^{c} K_{\ (0)}^{\ 0}$ | $(12=5)\,A_{13}^2$ |
| p" ! $_{eR\ (0)}^{c} \ ^+$ | $(3=5)\,A_9^2$ | n# ! $_{eR\ ( )}^{c} K^{\ 0}$ | $(2=15)\,(A_{11} \quad 6A_{13})^2$ |
| p# ! $_{eR\ ( )}^{c} \ ^+$ | $(32=15)\,A_9^2$ | | |
| p" ! $_{eR}^{c} K_{\ (0)}^{\ +}$ | $(3=5)\,(A_{11} \quad 2A_{13})^2$ | | |
| p# ! $_{eR}^{c} K_{\ ( )}^{\ +}$ | $(8=15)\,(A_{11} \quad 3A_{13})^2$ | | |

Tabelle E.5: Ubergangswahrscheinlichkeiten fur Zerfallsprozesse der Nukleonen mit physikalischen Endzustanden

| Zerfallskanal | $1=\ _i\ (10^{30}\text{yr})$ | Zerfallskanal | $1=\ _i\ (10^{30}\text{yr})$ |
|---|---|---|---|
| p ! $e^+ \ ^0$ | > 550 | n ! $e^+$ | > 130 |
| p ! $e^+ K^{\ 0}$ | > 150 | n ! $^+$ | > 100 |
| p ! $e^+$ | > 140 | n ! $e^+$ | > 58 |
| p ! $^+ \ ^0$ | > 270 | n ! $^+$ | > 23 |
| p ! $^+ K^{\ 0}$ | > 120 | n ! $^c \ ^0$ | > 100 |
| p ! $^+$ | > 69 | n ! $^c K^{\ 0}$ | > 86 |
| p ! $e^+ \ ^0$ | > 75 | n ! $^c$ | > 54 |
| p ! $e^+ \ !$ | > 45 | n ! $^c \ ^0$ | > 19 |
| p ! $e^+ K^{\ 0}$ | > 52 | n ! $^c \ !$ | > 43 |
| p ! $^+ \ ^0$ | > 110 | n ! $^c K^{\ 0}$ | > 22 |
| p ! $^+ \ !$ | > 57 | | |
| p ! $^c \ ^+$ | > 25 | | |
| p ! $^c K^{\ +}$ | > 100 | | |
| p ! $^c \ ^+$ | > 27 | | |
| p ! $^c K^{\ +}$ | > 20 | | |

Tabelle E.6: Experimentelle Grenzen fur die Lebensdauern $1=\ _i$ der Nukleonen [7]

| Zerfallskanal des Protons | Raten in % (keine Mischungen) | Raten in % in Modell1 | Raten in % in Modell2a | Raten in % in Modell2b |
|---|---|---|---|---|
| $p \to e^+ {}^0$ | 33.6 | 21.4 | 25.1 | 27.8 |
| $p \to e^+ K^0$ | \| | 3.1 | 2.6 | 4.5 |
| $p \to e^+$ | 1.2 | 0.8 | 0.9 | 1.0 |
| $p \to {}^+ {}^0$ | \| | 8.5 | 5.7 | 5.6 |
| $p \to {}^+ K^0$ | 5.8 | 2.6 | 0.9 | 1.8 |
| $p \to {}^+$ | \| | 0.3 | 0.2 | 0.2 |
| $p \to e^+ {}^0$ | 5.1 | 3.3 | 3.8 | 4.2 |
| $p \to e^+ !$ | 16.9 | 10.8 | 12.7 | 14.0 |
| $p \to e^+ K^0$ | \| | 0.0 | 0.0 | 0.0 |
| $p \to {}^+ {}^0$ | \| | 1.3 | 0.9 | 0.8 |
| $p \to {}^+ !$ | \| | 4.3 | 2.9 | 2.8 |
| $p \to {}^{c}_{e} {}^+$ | 32.3 | 25.6 | 35.6 | 27.7 |
| $p \to {}^{c}_{e} K^+$ | \| | 2.0 | 2.0 | 4.1 |
| $p \to {}^c {}^+$ | \| | 8.9 | 0.5 | 0.3 |
| $p \to {}^c K^+$ | 0.1 | 1.3 | 0.2 | 0.3 |
| $p \to {}^{c}_{e} {}^+$ | 4.9 | 3.9 | 5.4 | 4.2 |
| $p \to {}^{c}_{e} K^+$ | \| | 0.4 | 0.3 | 0.6 |
| $p \to {}^c {}^+$ | \| | 1.4 | 0.1 | 0.0 |
| $p \to {}^c K^+$ | 0.1 | 0.0 | 0.0 | 0.0 |
| $p \to {}^c {}^+$ | \| | 0.1 | 0.1 | 0.0 |
| $p \to {}^c K^+$ | \| | 0.1 | 0.1 | 0.0 |
| $p \to {}^c {}^+$ | \| | 0.0 | 0.0 | 0.0 |
| $p \to {}^c K^+$ | \| | 0.0 | 0.0 | 0.0 |
| $p \to e^+ X^0$ | 56.8 | 39.4 | 45.1 | 51.5 |
| $p \to {}^+ X^0$ | 5.8 | 17.0 | 10.6 | 11.2 |
| $p \to {}^c X^+$ | 37.4 | 43.7 | 44.3 | 37.2 |

Tabelle E.7: Partielle Zerfallsraten $_i$= des Protons fur den Fall der Vernachlassigung von Fermionmischungen und fur die untersuchten Losungen

| Groe | Wert in Modell1 | Wert in Modell2a | Wert in Modell2b |
|---|---|---|---|
| $_p$ | $2{:}54 \quad 10^{35}\ \mathrm{yr}^{-1}$ | $2{:}57 \quad 10^{35}\ \mathrm{yr}^{-1}$ | $2{:}83 \quad 10^{35}\ \mathrm{yr}^{-1}$ |
| $_p$ | $3{:}94 \quad 10^{30}\ \mathrm{yr}$ | $3{:}89 \quad 10^{30}\ \mathrm{yr}$ | $3{:}53 \quad 10^{30}\ \mathrm{yr}$ |

Tabelle E.8: Totale Zerfallsraten und Lebensdauern des Protons

| Zerfallskanal des Neutrons | Raten in % (keine Mischungen) | Raten in % in Modell1 | Raten in % in Modell2a | Raten in % in Modell2b |
|---|---|---|---|---|
| n ! $e^+$ | 62.9 | 40.1 | 46.2 | 49.9 |
| n ! $^+$ | \| | 15.8 | 10.4 | 10.0 |
| n ! $e^+$ | 9.7 | 6.2 | 7.1 | 7.7 |
| n ! $^+$ | \| | 2.4 | 1.6 | 1.5 |
| n ! $_e^c$ $^0$ | 15.1 | 12.0 | 16.4 | 12.5 |
| n ! $_e^c K^0$ | \| | 6.8 | 4.9 | 8.2 |
| n ! $_e^c$ | 0.6 | 0.4 | 0.6 | 0.5 |
| n ! $^c$ $^0$ | \| | 4.2 | 0.2 | 0.1 |
| n ! $^c K^0$ | 1.7 | 0.1 | 1.0 | 0.9 |
| n ! $^c$ | \| | 0.2 | 0.0 | 0.0 |
| n ! $_e^c$ $^0$ | 2.3 | 1.8 | 2.5 | 1.9 |
| n ! $_e^c$ ! | 7.7 | 6.1 | 8.4 | 6.4 |
| n ! $_e^c K^0$ | \| | 0.2 | 0.2 | 0.4 |
| n ! $^c$ $^0$ | \| | 0.6 | 0.0 | 0.0 |
| n ! $^c$ ! | \| | 2.1 | 0.1 | 0.1 |
| n ! $^c K^0$ | 0.0 | 0.1 | 0.0 | 0.0 |
| n ! $^c$ $^0$ | \| | 0.0 | 0.0 | 0.0 |
| n ! $^c K^0$ | \| | 0.7 | 0.4 | 0.0 |
| n ! $^c$ | \| | 0.0 | 0.0 | 0.0 |
| n ! $^c$ $^0$ | \| | 0.0 | 0.0 | 0.0 |
| n ! $^c$ ! | \| | 0.0 | 0.0 | 0.0 |
| n ! $^c K^0$ | \| | 0.0 | 0.0 | 0.0 |
| n ! $e^+ X$ | 72.6 | 46.3 | 53.3 | 57.6 |
| n ! $^+ X$ | \| | 18.2 | 12.0 | 11.5 |
| n ! $^c X^0$ | 27.4 | 35.3 | 34.7 | 31.0 |

Tabelle E.9: Partielle Zerfallsraten $_i$= des Neutrons fur den Fall der Vernachlassigung von Fermionmischungen und fur die untersuchten Losungen

| Groe | Wert in Modell1 | Wert in Modell2a | Wert in Modell2b |
|---|---|---|---|
| $_n$ | 2:72 $10^{35}$ yr $^1$ | 2:80 $10^{35}$ yr $^1$ | 3:14 $10^{35}$ yr $^1$ |
| $_n$ | 3:68 $10^{36}$ yr | 3:57 $10^{36}$ yr | 3:18 $10^{36}$ yr |

Tabelle E.10: Totale Zerfallsraten und Lebensdauern des Neutrons

# Literaturverzeichnis


[1] S. Dimopoulos, L. J. Hall und S. Raby, Phys. Rev. Lett. 68 (1992) 1984.

[2] W. N. Cottingham und D. A. Greenwood, An Introduction to the Standard Model of Particle Physics, Cambridge University Press, Cambridge 1998.

[3] D. Gross und F. Wilczek, Phys. Rev. Lett. 30 (1973) 1343, Phys. Rev. D 8 (1973) 3633, Phys. Rev. D 9 (1974) 980; H. D. Politzer, Phys. Rev. Lett. 30 (1973) 1346, Phys. Rep. 14 C (1974) 129; H. Fritzsch, M. Gell-Mann und H. Leutwyler, Phys. Lett. 47 B (1973) 365.

[4] S. L. Glashow, Nucl. Phys. 22 (1961) 579; A. Salam und J. C. Ward, Phys. Lett. 13 (1964) 168; S. Weinberg, Phys. Rev. Lett. 19 (1967) 1264; A. Salam in Elementary Particle Theory, Hrsg. N. Svartholm, Almquist & Forlag, Stockholm 1968.

[5] G. 't Hooft und M. Veltman, Nucl. Phys. B 44 (1972) 189; G. 't Hooft, Nucl. Phys. B 61 (1973) 455.

[6] E. C. G. Stuckelberg und A. Petermann, Helv. Phys. Acta 26 (1953) 499; M. Gell-Mann und F. E. Low, Phys. Rev. 95 (1954) 1300.

[7] C. Caso et. al. (Particle Data Group), Eur. Phys. J. C 3 (1998) 1.

[8] S. L. Adler, Phys. Rev. 177 (1969) 2426; J. S. Bell und R. Jackiw, Nuovo Cim. 60 A (1969) 47.

[9] H. Georgi und S. L. Glashow, Phys. Rev. D 6 (1972) 429.

[10] D. Gross und R. Jackiw, Phys. Rev. D 6 (1972) 477; C. Bouchiat, J. Iliopoulos und P. Meyer, Phys. Rev. Lett. 38 B (1972) 519.

[11] P. W. Higgs, Phys. Rev. Lett. 12 (1964) 132, Phys. Rev. 145 (1966) 1156.

[12] ALEPH-, DELPHI-, L3- und OPAL-Kollaborationen, CERN-EP-99-060 (1999).

[13] H. Fusaoka und Y. Koide, Phys. Rev. D 57 (1998) 3986.

[14] N. Cabibbo, Phys. Rev. Lett. 10 (1963) 531; M. Kobayashi und M. Maskawa, Progr. Theor. Phys. 49 (1973) 652.

[15] A. Riotto, CERN-TH-98-204 und hep-ph/9807454 (1998).

[16] S.M. Bilenky, C. Giunti und W. Grimus, Prog. Part. Nucl. Phys. 43 (1999) 1.

[17] P. Langacker (Hrsg.), Precision Tests of the Standard Electroweak Model, World Scientific, Singapur 1995.

[18] R.D. Peccei und H.R. Quinn, Phys. Rev. Lett. 38 (1977) 1440, Phys. Rev. D 16 (1977) 1791.

[19] C.D. Froggatt und H.B. Nielsen, Nucl. Phys. B 147 (1979) 277.

[20] P. Langacker, Phys. Rep. 72 C (1981) 185.

[21] A. Masiero in Grand Unification with and without Supersymmetry and Cosmological Implications, World Scientific, Singapur 1984; G.G. Ross, Grand Unified Theories, Benjamin/Cummings, Menlo Park 1985.

[22] H. Georgi, H.R. Quinn und S. Weinberg, Phys. Rev. Lett. 33 (1974) 451.

[23] H. Arason, D.J. Castaño, B. Kesthelyi, S. Mikaelian, E.J. Piard, P. Ramond und B.D. Wright, Phys. Rev. D 46 (1992) 3945.

[24] U. Amaldi, W. de Boer und H. Fürstenau, Phys. Lett. B 260 (1991) 447.

[25] H. Georgi, Lie Algebras in Particle Physics, Benjamin/Cummings, Reading 1982.

[26] R. Slansky, Phys. Rep. 79 B (1981) 1.

[27] F. Wilczek, Nucl. Phys. Proc. Suppl. 77 (1999) 511.

[28] M. Gell-Mann, P. Ramond und R. Slansky, Rev. Mod. Phys. 50 (1978) 721.

[29] M.L. Mehta, J. Math. Phys. 7 (1966) 1824; M.L. Mehta und P.K. Srivastava, J. Math. Phys. 7 (1966) 1833.

[30] F. Gursey, P. Ramond und P. Sikivie, Phys. Lett. 60 B (1976) 177.

[31] J. Banks und H. Georgi, Phys. Rev. D 14 (1976) 1159; S. Okubo, Phys. Rev. D 16 (1977) 3528.

[32] H. Georgi, Nucl. Phys. B 156 (1979) 126.

[33] H. Georgi und S.L. Glashow, Phys. Rev. Lett. 32 (1974) 438; A.J. Buras, J. Ellis, M.K. Gaillard und D.V. Nanopoulos, Nucl. Phys. B 135 (1978) 66.

[34] M. Machacek, Nucl. Phys. B 159 (1979) 37; J. Ellis, M.K. Gaillard und D.V. Nanopoulos, Phys. Lett. 88 B (1979) 320.

[35] B. Viren für die Super-Kamiokande-Kollaboration, SBHEP-99-1 und hep-ex/9903029 (1999).

[36] H. Georgi und C. Jarlskog, Phys. Lett. 86 B (1979) 297.

[37] L.-F. Li, Phys. Rev. D 9 (1974) 1723.

[38] E. Gildener, Phys. Rev. D 14 (1976) 1667.

[39] F. del Aguila und L. E. Ibanez, Nucl. Phys. B 177 (1981) 60.

[40] H. Georgi in Particles and Fields, Hrsg. C. E. Carlson, AIP Press, New York 1975; H. Fritzsch und P. Minkowski, Ann. Phys. 93 (1975) 193.

[41] S. Rajpoot, Phys. Rev. D 22 (1980) 2244; R. W. Robinett und J. L. Rosner, Phys. Rev. D 26 (1982) 2396; Y. Tosa, G. C. Branco und R. E. Marshak, Phys. Rev. D 28 (1983) 1731; D. Chang, R. N. Mohapatra und M. K. Parida, Phys. Rev. D 30 (1984) 1052; J. M. Gipson und R. E. Marshak, Phys. Rev. D 31 (1985) 1705; D. Chang, R. N. Mohapatra, J. M. Gipson, R. E. Marshak und M. K. Parida, Phys. Rev. D 31 (1985) 1718.

[42] N. G. Deshpande, E. Keith und P. B. Pal, Phys. Rev. D 46 (1992) 2261, Phys. Rev. D 47 (1993) 2892.

[43] V. A. Kuzmin und M. E. Shaposhnikov, Phys. Lett. 92 B (1980) 115.

[44] F. Acampora, G. Amelino-Camelia, F. Buccella, O. Pisanti, L. Rosa und T. Tuzi, Nuovo Cim. 108 A (1995) 375.

[45] J. Pati und A. Salam, Phys. Rev. D 10 (1974) 275.

[46] M. S. Chanowitz, J. Ellis und M. K. Gaillard, Nucl. Phys. B 128 (1977) 506; R. Barbieri, D. V. Nanopoulos, G. Morchio und F. Strocchi, Phys. Lett. 90 B (1980) 91.

[47] H. Georgi und S. L. Glashow, Phys. Rev. D 7 (1973) 245; G. C. Branco und G. Senjanovic, Phys. Rev. D 18 (1978) 162.

[48] M. Magg und C. Wetterich, Phys. Lett. 94 B (1980) 61.

[49] H. Georgi und D. V. Nanopoulos, Phys. Lett. 82 B (1978) 95.

[50] M. S. Turner, astro-ph/9901109 (1999); D. O. Caldwell, UCSB-HEP-99-01 und hep-ph/9902219 (1999); M. Fukugita, G.-C. Liu und N. Sugiyama, KUNS-1596 und hep-ph/9908450 (1999).

[51] M. Gell-Mann, P. Ramond und R. Slansky in Supergravity, Hrsg. P. van Nieuwenhuizen und D. Z. Friedman, North Holland, Amsterdam 1979; T. Yanagida, Prog. Theor. Phys. 64 (1980) 1103.

[52] Y. Achiman und B. Stech, Phys. Lett. 77 B (1978) 389; R. Barbieri und D. V. Nanopoulos, Phys. Lett. 91 B (1980) 369.

[53] Y. Achiman und A. Lukas, Nucl. Phys. B 384 (1992) 78.

[54] B. Pontecorvo, Sov. Phys. JETP 6 (1958) 429, Sov. Phys. JETP 7 (1958) 172.

[55] L. Wolfenstein, Phys. Rev. D 17 (1978) 2369.

[56] S. P. Mikheyev und A. Y. Smirnov, Sov. J. Nucl. Phys. 42 (1985) 441, Nuovo Cim. 9 C (1986) 17.

[57] J. N. Bahcall und R. K. Ulrich, Rev. Mod. Phys. 60 (1988) 297; J. N. Bahcall und M. H. Pinsonneault, Rev. Mod. Phys. 67 (1995) 781.

[58] J. N. Bahcall, P. I. Krastev und A. Y. Smirnov, Phys. Rev. D 58 (1998) 096016.

[59] Y. Fukuda et. al. (Kamiokande-Kollaboration), Phys. Lett. B 335 (1994) 237.

[60] Y. Fukuda et. al. (Super-Kamiokande-Kollaboration), Phys. Lett. B 436 (1998) 33, Phys. Rev. Lett. 81 (1998) 1562.

[61] C. Bemporad et. al. (CHOOZ-Kollaboration), Nucl. Phys. Proc. Suppl. 77 (1999) 159.

[62] K. Eitel et. al. (KARMEN-Kollaboration), Nucl. Phys. Proc. Suppl. 77 (1999) 212.

[63] A. Bazarko, hep-ex/9906003 (1999).

[64] L. J. Hall, Nucl. Phys. B 178 (1981) 75.

[65] M. K. Parida, Phys. Rev. D 57 (1998) 2736.

[66] S. Weinberg, Phys. Lett. 91 B (1980) 51.

[67] D. Lee, R. N. Mohapatra, M. K. Parida und M. Rani, Phys. Rev. D 51 (1995) 229; R. N. Mohapatra und M. K. Parida, Phys. Rev. D 47 (1993) 264.

[68] H. Fritzsch, Phys. Lett. 70 B (1977) 436, Phys. Lett. 73 B (1978) 317, Nucl. Phys. B 155 (1979) 189.

[69] K. Kang, J. Flanz und E. Paschos, Z. Phys. C 55 (1992) 75.

[70] H. Georgi und D. V. Nanopoulos, Phys. Lett. 82 B (1979) 392, Nucl. Phys. B 155 (1979) 52.

[71] K. S. Babu und Q. Shafi, Phys. Rev. D 47 (1993) 5004, Phys. Lett. B 311 (1993) 172.

[72] P. Ramond, R. G. Roberts und G. G. Ross, Nucl. Phys. B 406 (1993) 19.

[73] Z. Berezhiani, INFN-FE-21-95 und hep-ph/9602325 (1996).

[74] Z. Berezhiani und A. Rossi, JHEP 03 (1999) 002.

[75] K. S. Babu und Q. Shafi, Phys. Lett. B 357 (1995) 365; K. S. Babu, J. C. Pati und F. Wilczek, OSU-HEP-98-11 und hep-ph/9812538 (1998).

[76] H. Georgi und D. V. Nanopoulos, Nucl. Phys. B 159 (1979) 16.

[77] G. C. Branco, L. Lavoura und F. Mota, Phys. Rev. D 39 (1989) 3443.

[78] A. Davidson, V. P. Nair und K. C. Wali, Phys. Rev. D 29 (1984) 1504 , Phys. Rev. D 29 (1984) 1513; Y. Achiman und T. Greiner, Nucl. Phys. B 443 (1995) 3.

[79] M. Olechowski und S. Pokorski, Phys. Lett. B 257 (1991) 388.

[80] W. H. Press, S. A. Teukolsky, W. T. Vetterling und B. P. Flannery, Numerical Recipes in Fortran 77, Cambridge University Press, Cambridge 1992.

[81] L. Baudis et. al. (Heidelberg-Moskau-Kollaboration), Phys. Rev. Lett. 83 (1999) 41.

[82] E. W. Kolb und M. S. Turner, The early Universe, Addison-Wesley, Redwood City 1990.

[83] A. D. Sakharov, JETP Lett. 91 B (1967) 24.

[84] G. 't Hooft, Phys. Rev. Lett. 37 (1976) 8.

[85] V. A. Kuzmin, V. A. Rubakov und M. E. Shaposhnikov, Phys. Lett. B 155 (1985) 36.

[86] M. Fukugita und T. Yanagida, Phys. Lett. 174 (1986) 45.

[87] A. Riotto und M. Trodden, CERN-TH-99-04 und hep-ph/9901362 (1999).

[88] C. Jarlskog und F. Yndurain, Nucl. Phys. B 144 (1979) 29; J. F. Donoghue und G. Karl, Phys. Rev. D 24 (1981) 230.

[89] G. Kane und G. Karl, Phys. Rev. D 22 (1980) 2808.

[90] M. B. Gavela, A. Le Yaouanc, L. Oliver, O. Pene und J. C. Raynal, Phys. Rev. D 23 (1981) 1580.

[91] H. Din, G. Girardi und P. Sorba, Phys. Lett. 91 B (1980) 77; J. F. Donoghue, Phys. Lett. 92 B (1980) 99; E. Golowich, Phys. Rev. D 22 (1980) 1148, Phys. Rev. D 24 (1981) 2899.

[92] Y. Tomozawa, Phys. Rev. Lett. 46 (1981) 463; V. S. Berezinsky B. L. Ioffe und Y. I. Kogan, Phys. Lett. 105 B (1981) 33; L. F. Abbott, R. Blankenbecler und M. B. Wise, Phys. Rev. D 23 (1981) 1591.

[93] M. Isgur und M. B. Wise, Phys. Lett. 117 B (1982) 179.

[94] W. Lucha, Fortschr. Phys. 33 (1985) 547.

[95] Y. Hara, Nucl. Phys. B 214 (1983) 167.

[96] J. D. Bjorken und S. D. Drell, Relativistic Quantum Mechanics, McGraw-Hill, New York 1964.

[97] L. F. Abbott und M. B. Wise, Phys. Rev. D 22 (1980) 2208; M. Daniel und J. A. Penarrocha, Nucl. Phys. B 236 (1984) 467.

[98] F. Buccella, G. Miele, L. Rosa, P. Santorelli und T. Tuzi, Phys. Lett. B 233 (1989) 178.

[99] A. J. Buras, TUM-HEP-316-98 und hep-ph/9806471 (1998).

[100] J. Bolz und P. Kroll, Z. Phys. A 356 (1996) 327.

[101] P. Langacker in Inner Space, Outer Space, Hrsg. E. W. Kolb, University of Chicago Press, Chicago 1986.

[102] C. McGrew et. al. (IMB 3-Kollaboration), Phys. Rev. D 59 (1999) 052004.

[103] M. Shiozawa et. al. (Super-Kamiokande-Kollaboration), Phys. Rev. Lett. 81 (1998) 3319; Y. Hayato et. al. (Super-Kamiokande-Kollaboration), Phys. Rev. Lett. 83 (1999) 1529.

[104] C. Berger et. al. (Frejus-Kollaboration), Z. Phys. C 50 (1991) 385, Phys. Lett. B 269 (1991) 227.

[105] W. W. M. Allison et. al. (Soudan 2-Kollaboration), Phys. Lett. B 427 (1998) 217; D. Wall et. al. (Soudan 2-Kollaboration), hep-ex/9910026 (1999).

[106] F. Arneodo et. al. (ICARUS-Kollaboration), Nucl. Phys. Proc. Suppl. 70 (1999) 453.

[107] Y. Nir, IASSNS-HEP-99-96 und hep-ph/9911321 (1999).

[108] G. F. Giudice, hep-ph/9912279 (1999).

[109] L. E. Ibanez, FTUAM-99-37 und hep-ph/9911499 (1999).

[110] M. E. Machacek und M. T. Vaughn, Nucl. Phys. B 222 (1983) 83, Nucl. Phys. B 236 (1984) 221, Nucl. Phys. B 249 (1985) 70.

[111] P. H. Chankowski und Z. Pluciennik, Phys. Lett. B 316 (1993) 312; K. S. Babu, C. N. Leung und J. Pantaleone, Phys. Lett. B 319 (1993) 191.

# Schlu wort

An dieser Stelle mochte ich mich bei all denen bedanken, die mich wahrend der letzten drei Jahre auf die eine oder andere Weise unterstutzt haben.

Zunachst gilt mein Dank Prof. Dr. Yoav Achiman, der dieses Projekt angeregt und betreut hat. Er hat durch sein standiges Interesse, die stete Bereitschaft zu ausgiebigen Diskussionen und zahlreiche physikalische Ideen wesentlich zum Gelingen dieser Arbeit beigetragen. Dank auch den ubrigen Mitgliedern des Prufungsausschusses, Prof. Dr. Peter Kroll als Zweitgutachter der Dissertation sowie Prof. Dr. Jurgen Drees und Dr. Peer Ueberholz.

Dr. Mina Parida war mir wahrend seines Forschungsaufenthaltes in Wuppertal mit seinem Fachwissen eine sehr gro e Hilfe und stets bereit, sich mit meinem Fragen zu beschaftigen. Ebenso danke ich Prof. Dr. Franco Buccella, Dr. Ofelia Pisanti und Dr. Pietro Santorelli fur die aufschlu reichen Diskussionen wahren der Sommerschule auf Capri.

Dank auch allen Kollegen am Institut, insbesondere aber meinen Mitstreitern aus F 10.09. Marcus Richter, Dr. Armin Seyfried, Thorsten Struckmann und Dr. Jochen Viehoff verdanke ich eine uberaus angenehme Arbeitsatmosphare wahrend der vergangenen drei Jahre. Auch die Hilfe von Norbert Eicker in EDV-Dingen sowie von Sabine Hoffmann und Anita Wied aus dem Sekretariat in allen organisatorischen Fragen ist nicht zu unterschatzen.

Meiner Familie und meinem Freundeskreis gebuhrt ebenfalls gro er Dank. Meine Eltern haben mich wahrend meines gesamten Studiums in jeder Weise tatkraftig unterstutzt. Den Freunden, allen voran aber Christine Rompel, sei fur ihre gro e Geduld und Aufmunterung vor allem in der Endphase meiner Promotion gedankt.

Der Deutschen Forschungsgemeinschaft schlie lich bin ich fur die finanzielle Unterstutzung in Form eines Stipendiums im Rahmen des Graduiertenkollegs „Feldtheoretische und numerische Methoden der Elementarteilchen- und Statistischen Physik\" uberaus dankbar.

Carsten Merten
Wuppertal, Dezember 1999